

COMMITTENTE:



PROGETTAZIONE:



**DIRETTRICE FERROVIARIA MESSINA - CATANIA - PALERMO**

**NUOVO COLLEGAMENTO PALERMO - CATANIA**

**U.O. INFRASTRUTTURE SUD**

**PROGETTO DEFINITIVO**

**TRATTA DITTAINO - CATENANUOVA**

**FABBRICATI TECNOLOGICI**

FA03/FA04 - PM Palomba al Km 9+310

Relazione di calcolo - fabbricato IS/PPM

SCALA:

|   |
|---|
| - |
|---|

COMMESSA    LOTTO    FASE    ENTE    TIPO DOC.    OPERA/DISCIPLINA    PROGR.    REV.

RS3E    50    D    78    CL    FA0300    001    A

| Rev. | Descrizione         | Redatto       | Data          | Verificato             | Data          | Approvato    | Data          | Autorizzato | Data |
|------|---------------------|---------------|---------------|------------------------|---------------|--------------|---------------|-------------|------|
| A    | EMISSIONE ESECUTIVA | E. Abbasciano | Dicembre 2019 | A. Iorio<br>L. Fanelli | Dicembre 2019 | F. Spagnuolo | Dicembre 2019 |             |      |
|      |                     |               |               |                        |               |              |               |             |      |
|      |                     |               |               |                        |               |              |               |             |      |
|      |                     |               |               |                        |               |              |               |             |      |

**ITALFERR S.p.A.**  
Gruppo Ferrovie dello Stato Italiane  
Direzione UO Infrastrutture Sud  
Dott. Luigi Donato Tiberti

File: RS3E50D78CLFA0300001A.doc

n. Elab.: 928

Ordine degli Ingegneri Prov. di Napoli n. 10576

## INDICE

|   |           |
|---|-----------|
| <b>1.-. PREMESSA.....</b>   | <b>4</b>  |
| <b>2.-. NORME DI RIFERIMENTO .....</b>                                      | <b>5</b>  |
| <b>3.-. DESCRIZIONE DELLE STRUTTURE .....</b>                               | <b>6</b>  |
| <b>4.-. CARATTERISTICHE GEOTECNICHE DEL TERRENO .....</b>                   | <b>9</b>  |
| 4.1.-. Stratigrafia di calcolo.....   | 9         |
| <b>5.-. CARATTERISTICHE DEI MATERIALI.....</b>                              | <b>10</b> |
| 5.1.-. Opere in calcestruzzo armato.....                                    | 10        |
| 5.1.1.-. <i>Magrone</i> .....   | 10        |
| 5.1.2.-. <i>Struttura in fondazione:</i> .....                              | 10        |
| 5.1.3.-. <i>Struttura in elevazione e solaio in lastre predalles:</i> ..... | 11        |
| 5.2.-. Acciaio per calcestruzzo armato.....                                 | 12        |
| 5.3.-. Copriferro .....   | 12        |
| <b>6.-. ANALISI DEI CARICHI DI PROGETTO.....</b>                            | <b>14</b> |
| 6.1.-. Carichi permanenti .....   | 14        |
| 6.1.1.-. <i>Solaio copertura</i> .....                                      | 14        |
| 6.1.2.-. <i>Facciate e cornicioni:</i> .....                                | 14        |
| 6.2.-. Carichi variabili .....  | 15        |
| 6.3.-. Azioni della neve.....   | 15        |
| 6.4.-. Azioni del vento.....  | 16        |
| 6.5.-. Variazione Termica .....   | 18        |
| 6.6.-. Azione sismica.....  | 18        |
| 6.6.1.-. <i>Vita nominale</i> .....   | 19        |
| 6.6.2.-. <i>Classe d'uso</i> .....  | 20        |
| 6.6.3.-. <i>Periodo di riferimento per l'azione sismica</i> .....           | 21        |
| 6.6.4.-. <i>Azioni di progetto</i> .....                                    | 21        |
| 6.6.5.-. <i>Categoria di sottosuolo e Condizioni topografiche</i> .....     | 23        |
| 6.6.6.-. <i>Classe di duttilità</i> .....                                   | 24        |
| 6.6.7.-. <i>Regolarità</i> .....  | 24        |
| 6.6.8.-. <i>Tipologia strutturale e fattore di struttura</i> .....          | 24        |
| 6.6.9.-. <i>Spettri di risposta</i> .....                                   | 26        |

|              |  |            |
|--------------|--|------------|
| 6.6.10.-.    | Metodo di analisi.....   | 27         |
| 6.6.10.1.-.  | Risposta Modale .....  | 28         |
| 6.6.10.2.-.  | Eccentricità accidentale delle masse (Ecc.X , Ecc.Y).....  | 32         |
| <b>7.-.</b>  | <b>ANALISI DELLA STRUTTURA .....</b>   | <b>34</b>  |
| 7.1.-.       | Codici di calcolo utilizzati.....  | 34         |
| 7.1.1.-.     | Affidabilità del software.....   | 34         |
| 7.2.-.       | Modellazione dell'opera.....   | 34         |
| 7.2.1.-.     | Condizioni di carico e assegnazioni.....   | 36         |
| 7.3.-.       | Combinazioni di carico.....  | 40         |
| 7.3.1.-.     | Modello di calcolo.....  | 40         |
| <b>8.-.</b>  | <b>SOLLECITAZIONI MASSIME .....</b>  | <b>53</b>  |
| <b>9.-.</b>  | <b>VERIFICA ELEMENTI STRUTTURALI .....</b>   | <b>60</b>  |
| 9.1.-.       | Travi elevazione 30x50cm.....  | 60         |
| 9.1.1.-.     | Tabulato di verifica SLU - SLE e taglio – ZONA APPOGGIO.....   | 66         |
| 9.1.2.-.     | Tabulato di verifica SLU - SLE – CAMPATA .....   | 70         |
| 9.2.-.       | Pilastrini (30x60) .....   | 74         |
| 9.2.1.-.     | Tabulato di verifica SLU – SLE e taglio .....  | 80         |
| 9.3.-.       | Travi fondazione.....  | 86         |
| 9.3.1.-.     | Tabulato di verifica SLU – SLE e taglio .....  | 90         |
| <b>10.-.</b> | <b>VERIFICA SOLAIO .....</b>   | <b>95</b>  |
| 10.1.-.      | Premessa .....   | 95         |
| 10.2.-.      | Analisi dei carichi.....   | 95         |
| 10.3.-.      | Calcolo delle massime sollecitazioni agenti.....   | 95         |
| 10.4.-.      | Verifica del solaio.....   | 96         |
| <b>11.-.</b> | <b>INCIDENZA ARMATURE .....</b>  | <b>100</b> |
| <b>12.-.</b> | <b>VERIFICA DEGLI ELEMENTI STRUTTURALI IN TERMINI DI CONTENIMENTO<br/>DEL DANNO AGLI ELEMENTI NON STRUTTURALI (SLO).....</b> | <b>101</b> |
| <b>13.-.</b> | <b>VERIFICA DI CAPACITÀ PORTANTE.....</b>  | <b>103</b> |

## 1.-..PREMESSA

Il presente documento viene emesso nell'ambito della redazione degli elaborati tecnici di progetto definitivo relativo alla tratta a semplice binario Dittaino – Catenanuova del Nuovo Collegamento Palermo – Catania. L'intera tratta Dittaino – Catenanuova ha uno sviluppo complessivo di circa 22,8 km.

La presente relazione di calcolo riguarda il Progetto Definitivo dell'edificio relativo al Fabbricato FA03/FA04, da realizzare nell'ambito del potenziamento infrastrutturale della linea ferroviaria Dittaino - Catenanuova, in corrispondenza della progressiva al 9+310 circa.

## 2.-..NORME DI RIFERIMENTO

Di seguito è riportato l'elenco delle Normative e dei Documenti assunti come riferimento per il progetto delle opere trattate nell'ambito del presente documento:

### Normative e Documenti tecnici generali

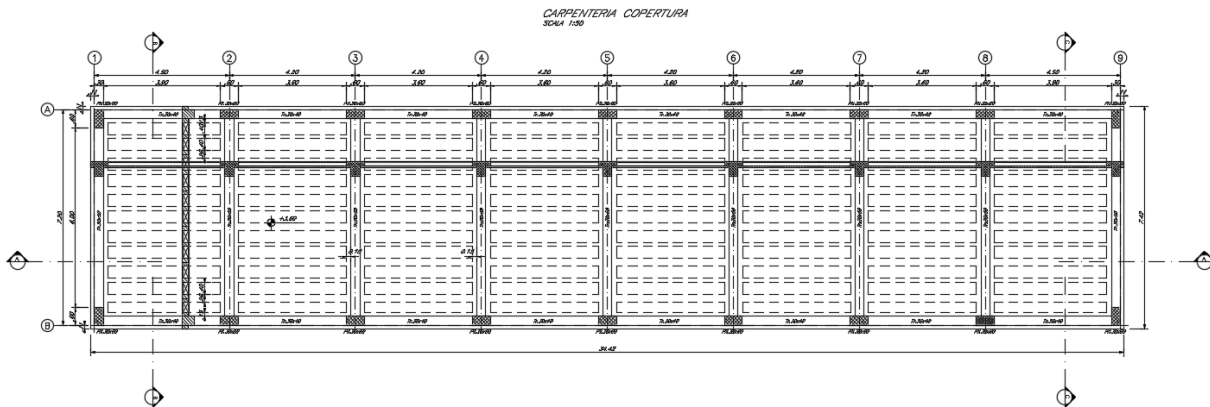
- Rif. [1] Ministero delle Infrastrutture dei Trasporti, DM 14 gennaio 2008 – «Nuove Norme Tecniche per le Costruzioni»
- Rif. [2] Circolare Applicativa n 617 del 2 Febbraio 2009 - «Istruzioni per l'applicazione delle “Nuove norme tecniche per le costruzioni” di cui al D.M. 14 gennaio 2008»
- Rif. [3] UNI 11104: Calcestruzzo: Specificazione, prestazione, produzione e conformità - Istruzioni complementari per l'applicazione della EN 206-1

### Documenti Tecnici RFI e/o di ambito ferroviario

- Rif. [4] Manuale di Progettazione delle Opere Civili: PARTE I / Aspetti Generali (RFI DTC SI MA IFS 001 B– rev 22/12/2017)
- Rif. [5] Manuale di Progettazione delle Opere Civili: PARTE II – Sezione 2 / Ponti e Strutture ( RFI DTC SI PS MA IFS 001 B – rev 22/12/2017)
- Rif. [6] Manuale di Progettazione delle Opere Civili: PARTE II – Sezione 3 / Corpo Stradale (RFI DTC SI CS MA IFS 001 B – rev 22/12/2017)
- Rif. [7] Manuale di Progettazione delle Opere Civili: PARTE II – Sezione 4 / Gallerie (RFI DTC SI GA MA IFS 001 B – rev 22/12/2017)
- Rif. [8] Manuale di Progettazione delle Opere Civili: PARTE II – Sezione 5 / Prescrizioni per i Marciapiedi e le Pensiline delle Stazioni Ferroviarie a servizio dei Viaggiatori (RFI DTC SI CS MA IFS 002 A – rev 30/12/2016)
- Rif. [9] Manuale di Progettazione delle Opere Civili: PARTE II – Sezione 6 / Sagome e Profilo minimo degli ostacoli (RFI DTC SI CS MA IFS 003 B– rev 22/12/2017)
- Rif. [10] Manuale di Progettazione delle Opere Civili: PARTE II – Sezione 7 / Geologia (RFI DTC SI CS GE IFS 001 A – rev 22/12/2017)
- Rif. [11] Regolamento (UE) N. 1299/2014 della Commissione del 18 novembre 2014 relativo alle specifiche tecniche di interoperabilità per il sottosistema “infrastruttura” del sistema ferroviario dell'Unione europea, modificato dal Regolamento di esecuzione (UE) N° 2019/776 della Commissione del 16 maggio 2019;
- Rif. [12] Capitolato Generale Tecnico di Appalto delle Opere Civili (RFIDTCSICSSPIFS005 B - rev 22/12/2017)
- Rif. [13] [N.7]. Eurocodici EN 1991-2: 2003/AC:2010.

### 3.-.DESCRIZIONE DELLE STRUTTURE

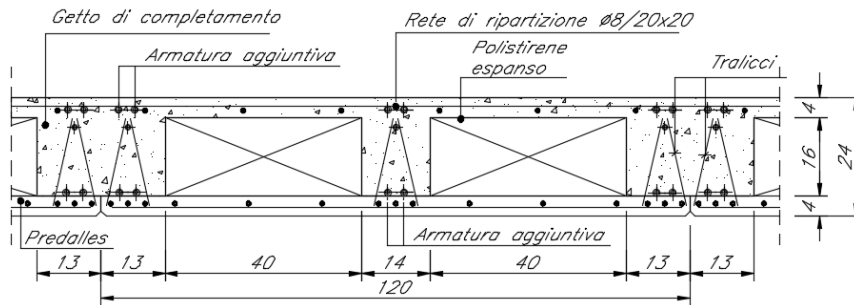
Il fabbricato in oggetto è costituito da una struttura in c.a. su fondazione diretta a travi rovesce. La struttura ha pianta rettangolare di dimensioni L x B = 34.4 x 7.4m, è un telaio spaziale monolivello con copertura piana costituito da 8 campate in direzione longitudinale ed una campata in direzione trasversale di luce pari a 7.2m.



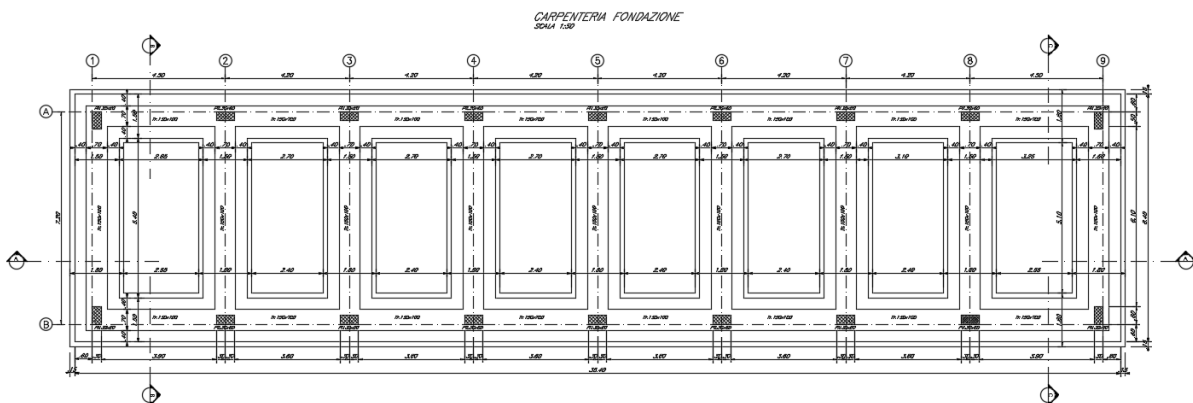
La parte in elevazione è costituita da travi e pilastri in c.a.. In particolare, i pilastri hanno dimensioni in pianta 0.30m x 0.60m, le travi trasversali hanno dimensione 0.30mx 0.50m, quelle longitudinali 0.30m x 0.40m.

Il solaio di copertura, ordito lungo la direzione longitudinale del fabbricato, è del tipo semiprefabbricato a prèdalles, con getto in opera dei travetti e della caldana superiore. Lo spessore totale del solaio di copertura è di 24 cm e comprende 4 cm di prèdalles, 16 cm di nervature e 4 cm di caldana superiore. Le lastre tipo prèdalles sono larghe 120 cm e presentano tre tralicci di irrigidimento ed elementi di alleggerimento delimitanti le nervature intermedie.

SEZIONE SOLAIO  
SCALA 1:10



Le fondazioni del fabbricato saranno del tipo diretto, costituite da un reticolo di travi a T rovesce di altezza 1.00m con suola di base 1.50m e spessore 0.5m.



Le caratteristiche geometriche dell'edificio sono le seguenti:

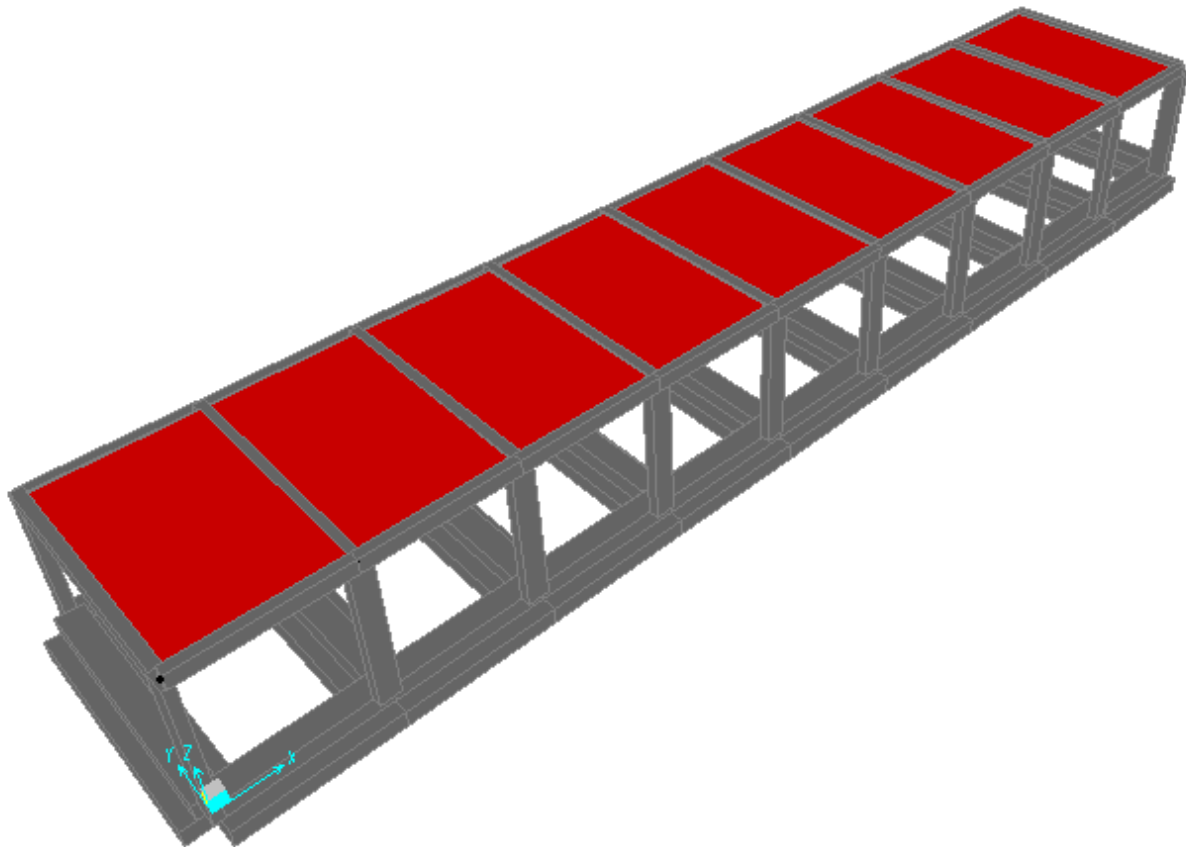
- Lunghezza totale  $L = 34.4 \text{ m}$
- Larghezza totale  $B = 7.4 \text{ m}$
- Quota piano posa fondazioni (filo magrone):  $H_1 = -1.0 \text{ m}$
- Quota piano campagna  $H_2 = -0.25 \text{ m}$
- Quota piano terra:  $H_3 = +0.0 \text{ m}$
- Quota copertura:  $H_4 = +3.6 \text{ m}$

Per quanto concerne la soletta di ripartizione del solaio di calpestio, questa è scollegata dalla struttura portante a mezzo di un giunto.

RELAZIONE DI CALCOLO FABBRICATO IS/PPM

| COMMESSA | LOTTO | CODIFICA | DOCUMENTO    | REV. | FOGLIO   |
|----------|-------|----------|--------------|------|----------|
| RS3E     | 50    | D 78 CL  | FA 03 00 001 | A    | 8 di 111 |

Per maggiori approfondimenti sulle geometrie delle diverse parti dell'opera si rimanda agli elaborati grafici di progetto.





## 4.-..CARATTERISTICHE GEOTECNICHE DEL TERRENO

### 4.1.-..Stratigrafia di calcolo

Per la caratterizzazione geotecnica del terreno si rimanda alla Relazione Geotecnica e sulle Fondazioni.

Dalla scheda stratigrafica si desume la stratigrafia di progetto con i relativi parametri caratteristici:

| STRATIGRAFIA     |                        |
|------------------|------------------------|
| Unità geotecnica | Profondità [m] da p.c. |
| bbc              | 0.0÷6.0                |
| bbi (sabbia)     | 6.0÷11.0               |
| TRVa             | 11.0÷40.0              |

|              | $\gamma$<br>[kN/m <sup>3</sup> ] | $c_u$<br>[kPa]                 | $c'$<br>[kPa] | $\phi'$<br>[°] | $V_s$<br>[m/s] | $G_o$<br>[MPa] | $E_o$<br>[MPa] | $E'_{op,1}$<br>[MPa] | $E'_{op,2}$<br>[MPa] |
|--------------|----------------------------------|--------------------------------|---------------|----------------|----------------|----------------|----------------|----------------------|----------------------|
| bbc          | 19.5                             | 75                             | 0             | 25             | 185÷220        | 65÷90          | 150            | $E_o / 3$            | $E_o / 10$           |
| bbi (sabbia) | 19.5                             | -                              | 0             | 34             | 230            | 100            | 250            | $E_o / 3$            | $E_o / 10$           |
| TRVa         | 21.0                             | 250 $z < 15m$<br>300 $z > 15m$ | 5             | 24             | 300÷600(*)     | 170÷700        | 450-800        | $E_o / 3$            | $E_o / 10$           |

Dove:

$\gamma$  = peso di volume naturale

$c_u$  = resistenza al taglio in condizioni non drenate

$c'$  = coesione drenata

$\phi'$  = angolo di resistenza al taglio

$V_s$  = velocità delle onde di taglio

$G_o$  = modulo di deformazione a taglio iniziale, ovvero a piccole deformazioni

$E_o$  = modulo di deformazione elastico iniziale, ovvero a piccole deformazioni

$E'_{op,1}$  = modulo di deformazione operativo per il calcolo dei cedimenti delle opere di sostegno e delle fondazioni dirette

$E'_{op,2}$  = modulo di deformazione operativo per il calcolo dei cedimenti dei rilevati.

(\*) dalla prova MASW VI02

La falda idrica è cautelativamente considerata sempre a 20m da p.c..

## 5.-. CARATTERISTICHE DEI MATERIALI

E' previsto l'utilizzo dei seguenti materiali dei quali di seguito si riportano le caratteristiche meccaniche:

### 5.1.-. Opere in calcestruzzo armato

Per i calcestruzzi si fa riferimento alle normative UNI EN 206-1 (Specificazione, prestazione, produzione e conformità) e UNI 11104 (Istruzioni complementari per l'applicazione della EN 206-1).

#### 5.1.1.-. Magrone

##### Conglomerato classe di resistenza C12/15 – Rck 15MPa

|                                       |                              |
|---------------------------------------|------------------------------|
| Resistenza caratteristica cubica:     | $R_{ck} = 15 \text{ N/mm}^2$ |
| Resistenza caratteristica cilindrica: | $f_{ck} = 12 \text{ N/mm}^2$ |
| Classe di esposizione:                | X0                           |
| Classe di consistenza slump:          | S3                           |

#### 5.1.2.-. Struttura in fondazione:

##### Conglomerato classe di resistenza C25/30 – Rck 30MPa

|  |                              |                    |
|--|------------------------------|--------------------|
| Modulo di elasticità longitudinale                       | $E_C = 31447$                | [MPa]              |
| Coefficiente di dilatazione termica                      | $\alpha = 10 \times 10^{-6}$ | [C <sup>-1</sup> ] |
| Coefficiente di Poisson                                  | $\nu = 0,20$                 | [-]                |
| Coefficiente parziale di sicurezza                       | $\gamma_c = 1,50$            | [-]                |
| Coefficiente riduttivo per le resistenze di lunga durata | $\alpha_{cc} = 0,85$         | [-]                |
| Resistenza caratteristica cubica a compressione          | $R_{ck} = 30,0$              | [MPa]              |
| Resistenza caratteristica cilindrica a compressione      | $f_{ck} = 24,9$              | [MPa]              |
| Resistenza media cilindrica a compressione               | $f_{cm} = 32,9$              | [MPa]              |
| Resistenza media a trazione semplice                     | $f_{ctm} = 2,56$             | [MPa]              |
| Resistenza caratteristica a trazione semplice            | $f_{ctk} = 1,79$             | [MPa]              |
| Resistenza media a trazione per flessione                | $f_{cfm} = 3,07$             | [MPa]              |
| Resistenza caratteristica a trazione per flessione       | $f_{cfk} = 2,15$             | [MPa]              |
| Resistenza caratteristica tangenziale per aderenza       | $f_{bk} = 4,03$              | [MPa]              |
| Resistenza di calcolo a compressione                     | $f_{cd} = 14,1$              | [MPa]              |
| Resistenza di calcolo a trazione semplice                | $f_{ctd} = 1,19$             | [MPa]              |

|  |   |                   |
|--|---|-------------------|
| Resistenza di calcolo a trazione per flessione     | $f_{cfd} = 1,43$                          | [MPa]             |
| Resistenza di calcolo tangenziale per aderenza     | $f_{bd} = 2,69$                           | [MPa]             |
| Coefficiente sicurezza SLU                         | $\gamma_C = 1,50$                         |                   |
| Resistenza di calcolo a compressione SLU           | $f_{cd} = 0,85 f_{ck} / \gamma_C = 15.87$ | N/mm <sup>2</sup> |
| Resistenza di calcolo a trazione semplice (5%) SLU | $f_{ctd} = 0.7 f_{ctk} / \gamma_C = 1.29$ | N/mm <sup>2</sup> |
| Coefficiente sicurezza SLE                         | $\gamma_C = 1,00$                         |                   |
| combinazione rara                                  | $\sigma_{c,ad} = 0,55 f_{ck} = 13.70$     | N/mm <sup>2</sup> |
| combinazione quasi permanente                      | $\sigma_{c,ad} = 0,40 f_{ck} = 9.96$      | N/mm <sup>2</sup> |

### 5.1.3.-..Struttura in elevazione e solaio in lastre predalles:

#### Conglomerato classe di resistenza C28/35 – Rck 35MPa

|  |                              |                    |
|--|------------------------------|--------------------|
| Modulo di elasticità longitudinale                       | $E_C = 32588$                | [MPa]              |
| Coefficiente di dilatazione termica                      | $\alpha = 10 \times 10^{-6}$ | [C <sup>-1</sup> ] |
| Coefficiente di Poisson                                  | $\nu = 0,20$                 | [-]                |
| Coefficiente parziale di sicurezza                       | $\gamma_c = 1,50$            | [-]                |
| Coefficiente riduttivo per le resistenze di lunga durata | $\alpha_{cc} = 0,85$         | [-]                |
| Resistenza caratteristica cubica a compressione          | $R_{ck} = 35,0$              | [MPa]              |
| Resistenza caratteristica cilindrica a compressione      | $f_{ck} = 29,1$              | [MPa]              |
| Resistenza media cilindrica a compressione               | $f_{cm} = 37,1$              | [MPa]              |
| Resistenza media a trazione semplice                     | $f_{ctm} = 2,83$             | [MPa]              |
| Resistenza caratteristica a trazione semplice            | $f_{ctk} = 1,98$             | [MPa]              |
| Resistenza media a trazione per flessione                | $f_{cfm} = 3,40$             | [MPa]              |
| Resistenza caratteristica a trazione per flessione       | $f_{cfk} = 2,38$             | [MPa]              |
| Resistenza caratteristica tangenziale per aderenza       | $f_{bk} = 4,47$              | [MPa]              |
| Resistenza di calcolo a compressione                     | $f_{cd} = 16,5$              | [MPa]              |
| Resistenza di calcolo a trazione semplice                | $f_{ctd} = 1,32$             | [MPa]              |
| Resistenza di calcolo a trazione per flessione           | $f_{cfd} = 1,59$             | [MPa]              |
| Resistenza di calcolo tangenziale per aderenza           | $f_{bd} = 2,98$              | [MPa]              |

|  |   |                   |
|--|---|-------------------|
| Coefficiente sicurezza SLU                         | $\gamma_C = 1,50$                         |                   |
| Resistenza di calcolo a compressione SLU           | $f_{cd} = 0,85 f_{ck} / \gamma_C = 15.87$ | N/mm <sup>2</sup> |
| Resistenza di calcolo a trazione semplice (5%) SLU | $f_{ctd} = 0.7 f_{ctk} / \gamma_C = 1.29$ | N/mm <sup>2</sup> |

Coefficiente sicurezza SLE  
combinazione rara  
combinazione quasi permanente

$$\gamma_C = 1,00$$

$$\sigma_{c,ad} = 0,55 f_{ck} = 16.00 \text{ N/mm}^2$$

$$\sigma_{c,ad} = 0,45 f_{ck} = 11.64 \text{ N/mm}^2$$

### 5.2.-..Acciaio per calcestruzzo armato

Acciaio per calcestruzzo armato tipo B 450 C secondo DM 08 avente le seguenti caratteristiche:

|  |                          |
|--|--------------------------|
| Modulo di elasticità longitudinale     | $E_s = 210000$ [MPa]     |
| Coefficiente parziale di sicurezza     | $\gamma_s = 1,15$ [-]    |
| Tensione caratteristica di snervamento | $f_{yk} = 450$ [MPa]     |
| Tensione caratteristica di rottura     | $f_{tk} = 540$ [MPa]     |
| Allungamento                           | $A_{gt} \geq 7,50\%$ [-] |
| Resistenza di calcolo                  | $f_{yd} = 391,3$ [MPa]   |

Coefficiente sicurezza SLU  
Resistenza di calcolo SLU  
Tensione di calcolo SLE

$$\gamma_s = 1,15$$

$$f_{yd} = f_{yk} / \gamma_s = 391,30 \text{ N/mm}^2$$

$$\sigma_{y,ad} = 0,80 f_{yk} = 360 \text{ N/mm}^2$$

### 5.3.-..Copriferro

Con riferimento al punto 4.1.6.1.3 delle NTC, al fine della protezione delle armature dalla corrosione il valore minimo dello strato di ricoprimento di calcestruzzo (copriferro) deve rispettare le indicazioni della tabella C4.1.IV della Circolare 2.2.2009, riportata di seguito, in cui sono distinte le tre condizioni ambientali di Tabella 4.1.III delle NTC.

|           |        |            | barre da c.a.<br>elementi a piastra |                        | barre da c.a.<br>altri elementi |                        | cavi da c.a.p<br>elementi a piastra |                        | cavi da c.a.p<br>altri elementi |                        |
|-----------|--------|------------|-------------------------------------|------------------------|---------------------------------|------------------------|-------------------------------------|------------------------|---------------------------------|------------------------|
| $C_{min}$ | $C_o$  | ambiente   | $C \geq C_o$                        | $C_{min} \leq C < C_o$ | $C \geq C_o$                    | $C_{min} \leq C < C_o$ | $C \geq C_o$                        | $C_{min} \leq C < C_o$ | $C \geq C_o$                    | $C_{min} \leq C < C_o$ |
| C25/30    | C35/45 | ordinario  | 15                                  | 20                     | 20                              | 25                     | 25                                  | 30                     | 30                              | 35                     |
| C28/35    | C40/50 | aggressivo | 25                                  | 30                     | 30                              | 35                     | 35                                  | 40                     | 40                              | 45                     |
| C35/45    | C45/55 | molto ag.  | 35                                  | 40                     | 40                              | 45                     | 45                                  | 50                     | 50                              | 50                     |

Tabella 1. Copriferro e condizioni ambientali

Nel caso in esame i copriferri minimi previsti (come da tabella materiali) sono 25 mm per travi

pilastrini e travi di fondazione e 20 mm per le lastre predalles. Poichè la struttura ricade in Classe D'uso III tali valori saranno maggiorati di 10mm. Vanno aggiunte le tolleranze di posa, pari a 5 mm. Si riporta una tabella riepilogativa dei copriferri:

|                                | <i>Ambiente</i>  | <i>Copriferro netto</i> | <i>Tolleranza di posa</i> | <i>Copriferro nominale</i> |
|--------------------------------|------------------|-------------------------|---------------------------|----------------------------|
| <i>Struttura in elevazione</i> | <i>Ordinario</i> | <i>35</i>               | <i>5</i>                  | <i>40</i>                  |
| <i>Lastre prédalles</i>        | <i>Ordinario</i> | <i>30</i>               | <i>5</i>                  | <i>35</i>                  |
| <i>Fondazioni</i>              | <i>Ordinario</i> | <i>35</i>               | <i>5</i>                  | <i>40</i>                  |

*Tabella 2. Copriferro adottato*

La rispondenza dei materiali ai requisiti richiesti sarà valutata mediante le prescritte prove di accettazione.

## 6.-..ANALISI DEI CARICHI DI PROGETTO

I pesi dei materiali utilizzati per le strutture portanti sono conformi alle NTC 2008.

Del peso proprio degli elementi strutturali, tiene conto il programma di calcolo che considera il seguente peso specifico del calcestruzzo armato:

- calcestruzzo armato 25 kN/m<sup>3</sup>

Si riportano di seguito le analisi dei carichi unitari agenti sulla struttura.

I valori delle azioni di seguito indicati sono stati considerati come valori caratteristici nelle verifiche agli stati limite.

### 6.1.-..Carichi permanenti

#### 6.1.1.-..Solaio copertura

##### **G<sub>1</sub> - Peso proprio solaio**

Solaio prédalles (h=0.24m)

soletta:  $25 \text{ kN/m}^3 \times 1.20 \text{ m} \times 0.04 \text{ m} = 1.20 \text{ kN/m}^2$

travetto:  $25 \text{ kN/m}^3 \times 0.40 \text{ m} \times 0.16 \text{ m} = 1.60 \text{ kN/m}^2$

prédalles:  $25 \text{ kN/m}^3 \times 1.20 \text{ m} \times 0.04 \text{ m} = 1.20 \text{ kN/m}^2$

EPS:  $0.3 \text{ kN/m}^3 \times (1.20-0.4) \text{ m} \times 0.16 = 0.0384 \text{ kN/m}^2$

la somma di tali valori è  $4.04 \text{ kN/m}^2$  riferita ad una fascia larga 1.20 m (larghezza singola prédalles), pertanto il carico relativo ad una fascia larga 1.00 m risulta:

$3.37 \text{ kN/m}^2$

##### **G<sub>2</sub> - Sovraccarichi permanenti**

Massetto pendenza:  $16 \times 0.10 = 1.60 \text{ kN/m}^2$

Impermeabilizzazione/impianti/pavimenti:  $1.50 \text{ kN/m}^2$

$3.10 \text{ kN/m}^2$

#### 6.1.2.-..Facciate e cornicioni:

Si considerano tamponature costituite da pannelli prefabbricati di calcestruzzo dello spessore pari a 20 cm (assunti cautelativamente pieni ai fini dell'analisi dei carichi). Si adotta pertanto

un peso proprio superficiale dei pannelli di tamponatura laterale pari a 5.00 kN/m<sup>2</sup>. L'azione viene ripartita in parti uguali tra le travi del solaio di copertura ed il solettone di fondazione. L'assunzione di ripartizione delle azioni dovute alle tamponature in parti uguali tra le travi del solaio di copertura e le strutture di fondazione risulta senz'altro veritiera in termini di distribuzione delle masse inerziali presenti nel manufatto (e conseguentemente in termini di caratteristiche dinamiche della struttura e delle risultanti attese azioni sismiche).

Pareti prefabbricate (0.20\*4.15/2\*25): 10.4 kN/m  
Cornicione: 1.90 kN/m

## 6.2.-.Carichi variabili

### Q<sub>H1</sub> – Sovraccarichi accidentali

Sovraccarico accidentale Cat. H1 0.50 kN/m<sup>2</sup>

## 6.3.-.Azioni della neve

Il carico da neve per superficie unitaria di copertura  $q_s$  viene valutato attraverso l'espressione:

$$q_s = \mu_i \cdot q_{sk} \cdot C_E \cdot C_t$$

dove:

$\mu_i$  è il coefficiente di forma della copertura e che nel caso in esame, trattandosi di copertura piana si assume pari a 0.8;

$q_{sk}$  è il valore caratteristico di riferimento del carico da neve al suolo; in mancanza di adeguate indagini statistiche e specifici studi locali, la norma fornisce un valore minimo di  $q_{sk}$  riferito ad un periodo di ritorno pari a 50 anni. Per la zona III (Catania) e per una quota del suolo sul livello del mare inferiore a 200 m si assume  $q_{sk} = 0.6$  kN/m<sup>2</sup>;

$C_E$  è il coefficiente di esposizione che, per classe di topografia "normale", assume valore unitario;

$C_t$  è il coefficiente termico che tiene conto della riduzione del carico da neve a causa dello scioglimento della stessa, dovuto alla perdita di calore della costruzione. In

assenza di uno specifico e documentato studio, deve essere utilizzato  $C_t = 1$ .

Ne consegue che per la struttura in esame si considera un carico da neve uniforme in copertura pari a:

|                               |                       |
|-------------------------------|-----------------------|
| Zona                          | III                   |
| Altitudine $a_s$              | 170 m                 |
| Area topografica              | normale               |
| Inclinazione falde            | 0°                    |
| $q_{sk}$                      | 0.6 kN/m <sup>2</sup> |
| coeff esposizione $c_E$       | 1.00                  |
| coeff termico $c_t$           | 1.00                  |
| coefficiente di forma $\mu_i$ | 0.80                  |

**carico neve  $q_s = \mu_i * q_{sk} * c_E * c_t = 0.48 \text{ kN/m}^2$**

#### **6.4.-.Azioni del vento**

L'azione del vento viene convenzionalmente considerata un'azione statica agente in direzione orizzontale.

La pressione normale alle superfici investite dal vento è data dall'espressione:

$$p = q_b \cdot c_e \cdot c_p \cdot c_d$$

i cui coefficienti vengono di seguito determinati.

- *pressione cinetica di riferimento  $q_b$*

$$q_b = \frac{1}{2} \cdot \rho \cdot v_b^2 = 0.456 \text{ kN} / \text{m}^2$$

dove:

$\rho$  è la densità dell'aria assunta convenzionalmente costante e pari a 1.25 kg/m<sup>2</sup>;



$v_b$  è la velocità di riferimento del vento (che rappresenta il valore caratteristico a 10 m dal suolo su un terreno di categoria di esposizione II, mediata su 10 minuti e riferita ad un periodo di ritorno di 50 anni).

Nel caso in esame, per zona 4 (Sicilia) ed  $a_s \leq 500$  m si ha  $v_b = v_{b,0} = 28$  m/s;

$$q_b = 0.536 \text{ kN/mq}$$

- *coefficiente di esposizione  $c_e$*

$$c_e(z) = c_e(z_{\min}) \quad \text{per } z < z_{\min}$$

$$c_e(z) = k_r^2 \cdot c_t \cdot \ln(z/z_0) \cdot [7 + c_t \cdot \ln(z/z_0)] \quad \text{per } z \geq z_{\min}$$

Nel caso in esame, essendo in zona 4, classe di rugosità del terreno D e quindi categoria di esposizione del sito II, si ha:

$$k_r = 0.19; \quad z_0 = 0.1 \text{ m}; \quad z_{\min} = 4 \text{ m}; \quad c_t = 1$$

$$z = 4.15 \text{ m} \quad c_e = 1.82$$

- *coefficiente dinamico  $c_d$*

In assenza di considerazioni di dettaglio inerenti i fenomeni di natura aeroelastica e di distacco dei vortici si assume cautelativamente un valore  $c_d = 1$ .

- *coefficiente di forma  $c_p$*

$$c_p = c_{p\text{sopravento}} + c_{p\text{sottovento}}$$

dove:

$c_{p\text{sopravento}}$  è il coefficiente di forma per elementi sopravento assunto pari a +0.8;

$c_{p\text{sottovento}}$  è il coefficiente di forma per elementi sottovento assunto pari a -0.4.

per costruzioni che hanno una parete con aperture di superficie minore di 1/3 di quella totale, la pressione interna si assumerà

$$c_{pi} = \pm 0,2.$$

In sintesi l'azione del vento sarà:

Superfici sopravento: **p= 0.78 kN/m<sup>2</sup>**

Superfici sottovento: **p= 0.39 kN/m<sup>2</sup>**

### Azione tangenziale del vento:

Oltre alla pressione normale va tenuta in conto anche un'azione tangenziale per unità di superficie parallela alla direzione del vento. Tale azione può essere valutata come:

$$p_f = q_b \cdot c_e \cdot c_f$$

dove:

$q_b$  e  $c_e$  sono quelli già definiti per il calcolo della pressione normale da vento;

$c_f$  è il coefficiente d'attrito, funzione della scabrezza della superficie sulla quale il vento esercita l'azione tangente e che per una generica superficie scabra può essere assunto pari a 0.02.

In definitiva  $q_b = 0.975 \text{ kN/m}^2$ , da cui

$$p_{f,max} = 0.095 \text{ kN/m}^2.$$

### **6.5.-..Variazione Termica**

Negli edifici in cui la temperatura non costituisca azione fondamentale per la sicurezza o per l'efficienza funzionale della struttura è consentito tener conto della sola componente uniforme di variazione termica  $\Delta T_u = T - T_0$  pari alla differenza tra la temperatura media attuale T e quella iniziale alla data della costruzione  $T_0$ . Nelle modellazioni sono stati considerati i seguenti carichi termici uniformi:

strutture in c.a. protette  $\Delta T_u = \pm 10^\circ \text{ C}$

strutture in c.a. esposte  $\Delta T_u = \pm 15^\circ \text{ C}$

### **6.6.-..Azione sismica**

Con riferimento alla normativa vigente (NTC-2008), le azioni sismiche di progetto si

definiscono a partire dalla “pericolosità sismica di base” del sito di costruzione.

Essa costituisce l’elemento di conoscenza primario per la determinazione delle azioni sismiche.

La pericolosità sismica è definita in termini di accelerazione orizzontale massima attesa ag in condizioni di campo libero su sito di riferimento rigido con superficie topografica orizzontale (di categoria A quale definita al § 3.2.2), nonché di ordinate dello spettro di risposta elastico in accelerazione ad essa corrispondente  $S_e(T)$ , con riferimento a prefissate probabilità di eccedenza  $P_{VR}$ , come definite nel § 3.2.1, nel periodo di riferimento  $V_R$ , come definito nel § 2.4. Le forme spettrali sono definite, per ciascuna delle probabilità di superamento nel periodo di riferimento  $P_{VR}$ , a partire dai valori dei seguenti parametri su sito di riferimento rigido orizzontale:

ag accelerazione orizzontale massima al sito;

$F_0$  valore massimo del fattore di amplificazione dello spettro in accelerazione orizzontale.

$T_c^*$  periodo di inizio del tratto a velocità costante dello spettro in accelerazione orizzontale.

### 6.6.1.-.Vita nominale

La vita nominale di un’opera strutturale  $V_N$  è intesa come il numero di anni nel quale la struttura, purché soggetta alla manutenzione ordinaria, deve potere essere usata per lo scopo al quale è destinata.

La vita nominale dei diversi tipi di opere è riportata al seguito nella Tab. 2.4.I delle norme tecniche *NTC-2008*.

Tab. 2.4.I – Valori minimi della Vita nominale  $V_N$  di progetto per i diversi tipi di costruzioni

| TIPI DI COSTRUZIONI |   | Valori minimi di $V_N$ (anni) |
|---------------------|---|-------------------------------|
| 1                   | Costruzioni temporanee e provvisorie            | 10                            |
| 2                   | Costruzioni con livelli di prestazioni ordinari | 50                            |
| 3                   | Costruzioni con livelli di prestazioni elevati  | 100                           |

Inoltre, in base alla tabella 2.5.1.1.1-1 del “Manuale di Progettazione delle Opere Civili” Parte II Sezione 2 (rif. RFI DTC SI MA IFS 001 B) si tratta di un’opera nuova su una infrastruttura ferroviaria esistente, pertanto la vita nominale risulta  $V_N = 75$  anni.

| TIPO DI COSTRUZIONE <sup>(1)</sup>   | Vita Nominale $V_N$<br>[Anni] <sup>(2)</sup> |
|--|--|
| OPERE NUOVE SU INFRASTRUTTURE FERROVIARIE PROGETTATE CON LE NORME VIGENTI PRIMA DEL DM 14/01/2008 A VELOCITÀ CONVENZIONALE ( $V < 250$ Km/h) | 50   |
| ALTRE OPERE NUOVE A VELOCITÀ $V < 250$ Km/h  | 75   |
| ALTRE OPERE NUOVE A VELOCITÀ $V \geq 250$ km/h   | 100  |
| OPERE DI GRANDI DIMENSIONI: PONTI E VIADOTTI CON CAMPATE DI LUCE MAGGIORE DI 150 m   | $\geq 100$ <sup>(2)</sup>                    |
| (1) - La stessa $V_N$ si applica anche ad apparecchi di appoggio, coprigiunti e impermeabilizzazione delle stesse opere.                     |  |
| (2) - Da definirsi per il singolo progetto a cura di FERROVIE.   |  |

Tab. 2.5.1.1.1-1 - Vita nominale delle infrastrutture ferroviarie

### 6.6.2.-..Classe d'uso


In presenza di azioni sismiche, con riferimento alle conseguenze di una interruzione di operatività o di un eventuale collasso, le costruzioni sono suddivise in classi d'uso così definite:

**Classe I:** Costruzioni con presenza solo occasionale di persone, edifici agricoli.

**Classe II:** Costruzioni il cui uso preveda normali affollamenti, senza contenuti pericolosi per l'ambiente e senza funzioni pubbliche e sociali essenziali. Industrie con attività non pericolose per l'ambiente. Ponti, opere infrastrutturali, reti viarie non ricadenti in Classe d'uso III o in Classe d'uso IV, reti ferroviarie la cui interruzione non provochi situazioni di emergenza. Dighe il cui collasso non provochi conseguenze rilevanti.

**Classe III:** Costruzioni il cui uso preveda affollamenti significativi. Industrie con attività pericolose per l'ambiente. Reti viarie extraurbane non ricadenti in Classe d'uso IV. Ponti e reti ferroviarie la cui interruzione provochi situazioni di emergenza. Dighe rilevanti per le conseguenze di un loro eventuale collasso.

**Classe IV:** Costruzioni con funzioni pubbliche o strategiche importanti, anche con riferimento alla gestione della protezione civile in caso di calamità. Industrie con attività particolarmente pericolose per l'ambiente. Reti viarie di tipo A o B, di cui al D.M. 5 novembre 2001, n. 6792, "Norme funzionali e geometriche per la costruzione delle strade", e di tipo C quando appartenenti ad itinerari di collegamento tra capoluoghi di provincia non altresì serviti da strade di tipo A o B. Ponti e reti ferroviarie di importanza critica per il mantenimento delle vie di comunicazione, particolarmente dopo un evento sismico. Dighe connesse al funzionamento di

|  |   |                  |             |                     |                           |           |
|--|---|------------------|-------------|---------------------|---------------------------|-----------|
|  | DIRETTRICE FERROVIARIA MESSINA - CATANIA - PALERMO<br>NUOVO COLLEGAMENTO PALERMO - CATANIA<br>PROGETTO DEFINITIVO<br>FA03/FA04 - PM Palomba al Km 9+310 |                  |             |                     |                           |           |
|  | RELAZIONE DI CALCOLO FABBRICATO IS/PPM  | COMMESSA<br>RS3E | LOTTO<br>50 | CODIFICA<br>D 78 CL | DOCUMENTO<br>FA 03 00 001 | REV.<br>A |

acquadotti e a impianti di produzione di energia elettrica.

Il fabbricato rientra per le sue funzioni tra le compresi nella classe d'uso III.

### **6.6.3.-..Periodo di riferimento per l'azione sismica**

Le azioni sismiche su ciascuna costruzione vengono valutate in relazione ad un periodo di riferimento  $V_R$  che si ricava, per ciascun tipo di costruzione, moltiplicandone la vita nominale  $V_N$  per il coefficiente d'uso  $C_U$ . Tale coefficiente è funzione della classe d'uso e nel caso specifico assume valore pari a  $C_U = 1.5$  per la classe d'uso III.

$$V_R = V_N \times C_U = 75 \times 1.5 = 112.5 \text{anni}$$

### **6.6.4.-..Azioni di progetto**

Le azioni di progetto si ricavano, ai sensi delle NTC 08, dalle accelerazioni  $a_g$  e dalle relative forme spettrali.

Le forme spettrali previste dalle NTC 08 sono definite, su sito di riferimento rigido orizzontale, in funzione dei tre parametri:

- $a_g$ : accelerazione orizzontale massima al sito;
- $F_0$ : valore massimo del fattore di amplificazione dello spettro in accelerazione orizzontale;
- $T_C^*$ : periodo di inizio del tratto a velocità costante dello spettro in accelerazione orizzontale.

Le forme spettrali previste dalle NTC 08 sono caratterizzate da prescelte probabilità di superamento e da vite di riferimento. A tal fine occorre fissare:

- la vita di riferimento  $V_R$  della costruzione;
- le probabilità di superamento nella vita di riferimento  $P_{VR}$  associate agli stati limite considerati, per individuare infine, a partire dai dati di pericolosità sismica disponibili, le corrispondenti azioni sismiche.

A tal fine si utilizza come parametro caratterizzante la pericolosità sismica, il periodo di ritorno dell'azione sismica  $T_R$ , espresso in anni. Fissata la vita di riferimento  $V_R$ , i due parametri  $T_R$  e  $P_{VR}$  sono immediatamente esprimibili, l'uno in funzione dell'altro, mediante la seguente espressione:

$$T_R = -V_R / \ln (1-P_{VR}) = -112.5 / \ln (1 -0.1) = 1068 \text{anni}$$

Dalla relazione sismica allegata al progetto si ricavano i seguenti parametri considerando, in funzione della progressiva dell'opera, che la struttura ricade nella parametrizzazione relativa a Ramacca(CT)

### FASE 1. INDIVIDUAZIONE DELLA PERICOLOSITÀ DEL SITO

Ricerca per coordinate

LONGITUDINE: 14.62839      LATITUDINE: 37.57178


Ricerca per comune

REGIONE: Sicilia      PROVINCIA: Catania      COMUNE: Ramacca

Elaborazioni grafiche: Grafici spettri di risposta, Variabilità dei parametri

Elaborazioni numeriche: Tabella parametri

Nodi del reticolo intorno al sito



Controllo sul reticolo:  
 Sito esterno al reticolo  
 Interpolazione su 3 nodi  
 Interpolazione corretta

Interpolazione: superficie rigata

La "Ricerca per comune" utilizza le coordinate ISTAT del comune per identificare il sito. Si sottolinea che all'interno del territorio comunale le azioni sismiche possono essere significativamente diverse da quelle così individuate e si consiglia, quindi, la "Ricerca per coordinate".

INTRO      **FASE 1**      FASE 2      FASE 3

### FASE 2. SCELTA DELLA STRATEGIA DI PROGETTAZIONE

Vita nominale della costruzione (in anni) -  $V_N$ : 75 info

Coefficiente d'uso della costruzione -  $c_U$ : 1.5 info

Valori di progetto

Periodo di riferimento per la costruzione (in anni) -  $V_R$ : 112.5 info

Periodi di ritorno per la definizione dell'azione sismica (in anni) -  $T_R$ : info

Stati limite di esercizio - SLE

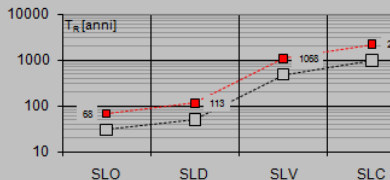
|                       |     |
|-----------------------|-----|
| SLO - $P_{VR} = 81\%$ | 68  |
| SLD - $P_{VR} = 63\%$ | 113 |

Stati limite ultimi - SLU

|                       |      |
|-----------------------|------|
| SLV - $P_{VR} = 10\%$ | 1068 |
| SLC - $P_{VR} = 5\%$  | 2193 |

Elaborazioni: Grafici parametri azione, Grafici spettri di risposta, Tabella parametri azione

Strategia di progettazione



LEGENDA GRAFICO:  
 - - - Strategia per costruzioni ordinarie  
 - - - Strategia scelta

INTRO      FASE 1      **FASE 2**      FASE 3

I valori dei parametri  $a_g$ ,  $F_0$  e  $T_{c^*}$  relativi alla pericolosità sismica su reticolo di riferimento

nell'intervallo di riferimento sono forniti nelle tabelle riportate Norme, in funzione di prefissati valori del periodo di ritorno  $T_R$ . L'accelerazione al sito  $a_g$  è espressa in g/10,  $F_0$  è adimensionale,  $T_C^*$  è espresso in secondi.

I punti del reticolo di riferimento sono definiti in termini di Latitudine e Longitudine ed ordinati a latitudine e longitudine crescenti, facendo variare prima la Longitudine e poi la Latitudine.

Qualora la attuale pericolosità sismica sul reticolo di riferimento non contempli il periodo di ritorno  $T_R$  corrispondente alla  $V_R$  e alla  $P_{VR}$  fissate, il valore del generico parametro  $p$  ( $a_g$ ,  $F_0$  e  $T_C^*$ ) ad esso corrispondente potrà essere ricavato per interpolazione, a partire dai dati relativi ai  $T_R$  previsti nella pericolosità sismica, utilizzando l'espressione seguente:

$$\log(p) = \log(p_1) + \log\left(\frac{p_2}{p_1}\right) \times \log\left(\frac{T_R}{T_{R1}}\right) \times \left[\log\left(\frac{T_{R2}}{T_{R1}}\right)\right]^{-1}$$

Di seguito si riportano i grafici ed i valori dei parametri  $a_g$ ,  $F_0$  e  $T_C^*$  per i periodi di ritorno  $T_R$  associati a ciascuno stato limite:

| SLATO LIMITE | $T_R$<br>[anni] | $a_g$<br>[g] | $F_0$<br>[-] | $T_C^*$<br>[s] |
|--------------|-----------------|--------------|--------------|----------------|
| SLO          | 68              | 0.054        | 2.573        | 0.292          |
| SLD          | 113             | 0.065        | 2.558        | 0.329          |
| SLV          | 1068            | 0.159        | 2.524        | 0.536          |
| SLC          | 2193            | 0.209        | 2.626        | 0.555          |

### 6.6.5.-..Categoria di sottosuolo e Condizioni topografiche

#### Amplificazione stratigrafica

Per sottosuolo di categoria A i coefficienti  $S_s$  e  $C_c$  valgono 1.

Per le categorie di sottosuolo B,C,D ed E i coefficienti  $S_s$  e  $C_c$  possono essere calcolati in funzione dei valori  $f_0$  e  $T_c^*$  relativi al sottosuolo di categoria A, mediante le espressioni fornite nella tab. 3.2.V, nelle quali  $g$  è l'accelerazione di gravità ed il tempo è espresso in secondi.

Nel caso particolare, essendo stata svolta una Analisi di Risposta Sismica Locale, il coefficiente  $S_s$  risulta pari ad 1.78 (per dattegli ulteriori si rimanda alla Relazione sismica del Progetto)

### Condizioni topografiche

Con riferimento alle caratteristiche della superficie topografica inerente l'opera in oggetto, si adotta la seguente categoria topografica:

#### **Categoria topografica T1**

##### **6.6.6.-..Classe di duttilità**

La costruzione oggetto della presente relazione, soggetta all'azione sismica, non dotata di appositi dispositivi dissipativi, è stata progettata considerando un comportamento strutturale dissipativo. Nel comportamento strutturale dissipativo, gli effetti combinati delle azioni sismiche e delle altre azioni sono calcolati tenendo conto delle non linearità di comportamento (di materiale sempre, geometriche quando rilevanti). In particolare è stata adottata la "Classe di duttilità bassa (CD"B")".

##### **6.6.7.-..Regolarità**

La struttura è rispondente a tutti i requisiti di regolarità in pianta ed in elevazione elencati nel §7.2.2 NTC 08.

- Regolare in pianta                      SI
- Regolare in altezza                      SI

##### **6.6.8.-..Tipologia strutturale e fattore di struttura**

###### Tipologia strutturale

La struttura "sismo resistente in calcestruzzo armato" (§7.4.3.1 NTC 08) è classificabile come:

- ◇ Struttura a telaio

###### Fattore di struttura

Agli stati limite ultimi le capacità dissipative delle strutture possono essere considerate attraverso una riduzione delle forze elastiche, tenendo conto in modo semplificato della capacità dissipativa anelastica della struttura, della sua sovraresistenza, dell'incremento del suo periodo proprio a seguito delle plasticizzazioni. In tal caso lo spettro di progetto da utilizzare, sia per le componenti orizzontali, sia per la componente verticale, è lo spettro elastico corrispondente riferito alla probabilità di superamento nel periodo di riferimento  $P_{VR}$



considerata con le ordinate ridotte sostituendo nelle formule del § 3.2.3 - NTC2008  $\eta$  con  $1/q$ , dove  $q$  è il fattore di struttura.

Il valore del fattore di struttura  $q$  da utilizzare per ciascuna direzione dell'azione sismica, dipende dalla tipologia strutturale, dal suo grado di iperstaticità e dai criteri di progettazione adottati e prende in conto le non linearità di materiale. Esso può essere calcolato mediante la seguente espressione:

$$q = q_0 \cdot K_R$$

dove:

$q_0$  è il valore massimo del fattore di struttura

$K_R$  è un fattore che dipende dalle caratteristiche di regolarità in altezza della costruzione.

Un problema importante è la scelta del valore base del coefficiente di struttura  $q_0$ , che risulta legato alla tipologia strutturale ed al livello di duttilità attesa. L'edificio in esame può essere riconducibile ad un sistema a telaio.

Per quanto riguarda il livello di duttilità attesa, si stabilisce di progettare il fabbricato in accordo con un comportamento strutturale dissipativo caratterizzato da Classe di Duttilità Bassa (CD "B").

Pertanto, in base alla Tab. 7.4.I delle NTC 2008, il coefficiente di comportamento  $q_0$  può essere valutato come:

$$q_0 = 3.0 \cdot \frac{\alpha_u}{\alpha_1}$$

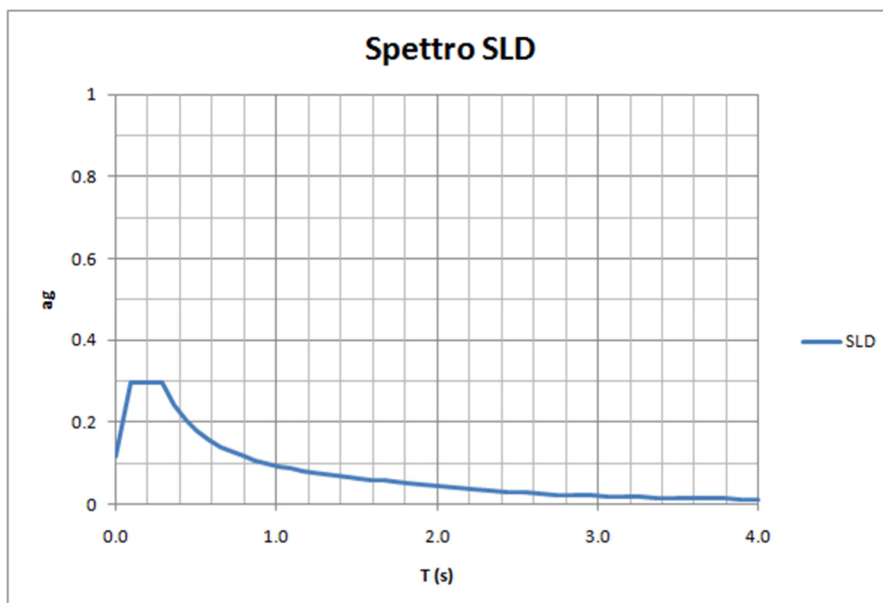
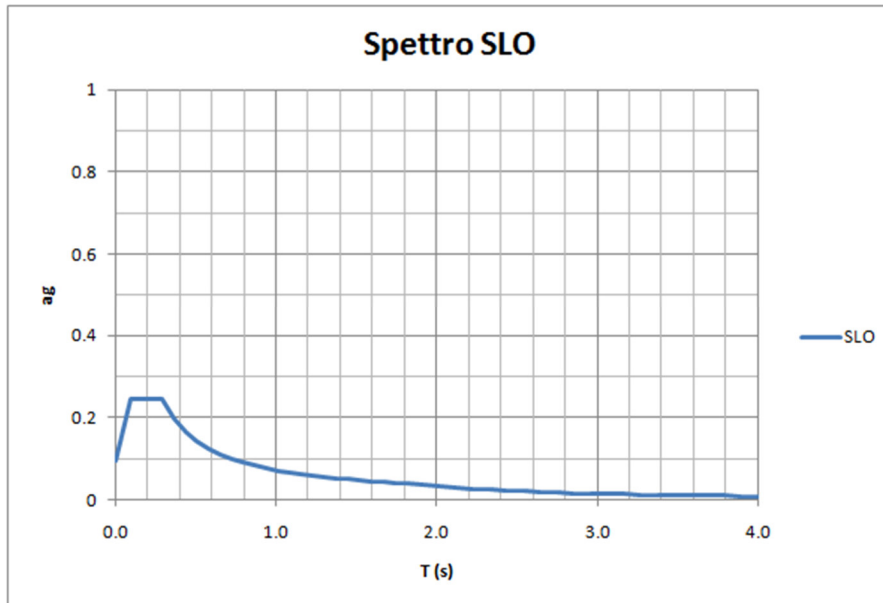
Trattandosi di una struttura a telaio ad un solo piano ed una sola campata in direzione trasversale, in accordo con il § 7.4.3.2 – NTC 2008, si assume:

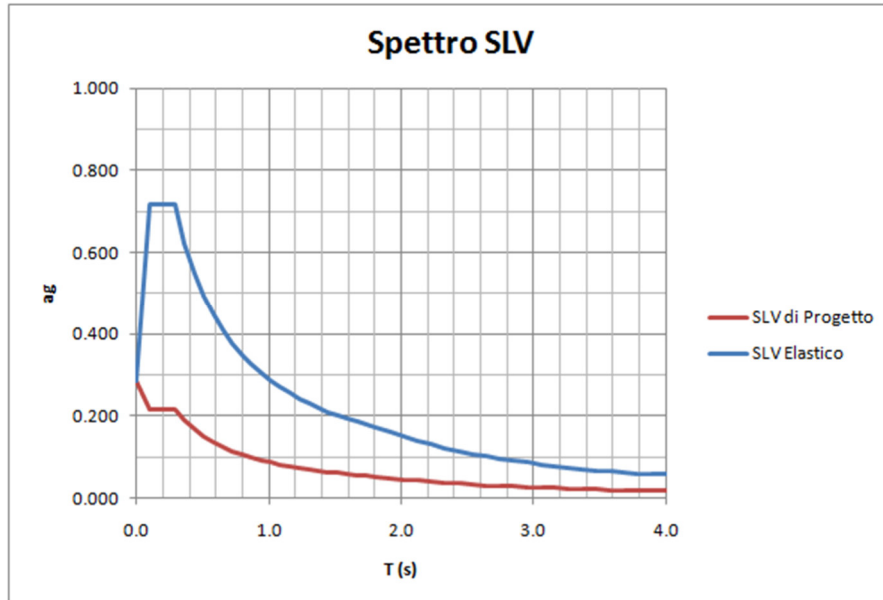
$$\alpha_u / \alpha_1 = 1.1$$

Inoltre, la costruzione risulta **REGOLARE IN PIANTA** in quanto soddisfa il requisito b) riportato al § 7.2.2 – NTC2008.

Essendo, poi, la struttura anche **REGOLARE IN ALTEZZA** si può assumere  $K_R = 1$ . Pertanto il fattore di struttura al quale si farà riferimento per la definizione dello spettro di progetto è  $q = 3.3$ .

### 6.6.9.-..Spettri di risposta





### 6.6.10.-..Metodo di analisi

Gli effetti dell'azione sismica vengono valutati tenendo conto delle masse associate ai carichi gravitazionali dovuti al peso proprio ( $G_1$ ), ai sovraccarichi permanenti ( $G_2$ ) e a un'aliquota ( $\psi_{2j}$ ) dei sovraccarichi accidentali ( $Q_{kj}$ ):

$$G_1 + G_2 + \sum_j \psi_{2j} \cdot Q_{kj}$$

I valori dei coefficienti  $\psi_{2j}$  sono riportati nella Tabella 2.5.I – NTC2008. Nel caso in esame le azioni variabili che possono essere sottoposti ad eccitazione sismica sono:

- sovraccarico accidentale in copertura ( $Q_1$ ):  $\psi_{2j} = 0$
- azione della neve in copertura (SL):  $\psi_{2j} = 0$

Come metodo di analisi per determinare gli effetti dell'azione sismica si è scelto di utilizzare l'analisi dinamica lineare o analisi modale con spettro di risposta, nella quale l'equilibrio è trattato dinamicamente e l'azione sismica è modellata direttamente attraverso lo spettro di progetto.

L'analisi dinamica lineare consiste:

- nella determinazione dei modi di vibrare della costruzione (analisi modale)
- nel calcolo degli effetti dell'azione sismica, rappresentata dallo spettro di risposta di progetto, per ciascuno dei modi di vibrare individuati
- nella combinazione di questi effetti

Come prescritto dalle NTC 2008 al § 7.3.3.1, devono essere considerati tutti i modi di vibrare con massa partecipante significativa. E' opportuno a tal riguardo considerare tutti i modi con massa partecipante superiore al 5% e comunque un numero di modi la cui massa partecipante totale sia superiore all'85%. Per la combinazione degli effetti relativi ai singoli modi, deve essere utilizzata una combinazione quadratica completa (CQC) degli effetti relativi a ciascun modo, secondo quanto definito al § 7.3.3.1 – NTC2008.

La risposta della struttura viene calcolata separatamente per ciascuna delle due componenti dell'azione sismica orizzontale; gli effetti sulla struttura, in termini di sollecitazioni e spostamenti, sono poi combinati applicando le seguenti espressioni (NTC 2008 - § 7.3.5):

$$1.00 \cdot E_x \text{ " + " } 0.30 \cdot E_y$$

$$1.00 \cdot E_y \text{ " + " } 0.30 \cdot E_x$$

#### 6.6.10.1.-.. Risposta Modale

L'analisi a spettro di risposta cerca la risposta più probabile alle equazioni di equilibrio dinamico associate alla risposta della struttura al moto del suolo. L'accelerazione del suolo dovuta ad un terremoto in ogni direzione viene espressa come una curva di spettro di risposta della pseudo-accelerazione spettrale in funzione del periodo della struttura.

Anche se le accelerazioni possono essere specificate in 3 direzioni, viene prodotto un unico risultato positivo per ciascuna quantità in risposta; le quantità in risposta comprendono spostamenti, forze e tensioni. Ciascun risultato calcolato rappresenta una misura statistica della grandezza più probabile di quella particolare quantità in risposta. È da attendersi che la vera risposta sia compresa in un intervallo che va dal valore positivo a quello negativo del valore trovato.

L'analisi a spettro di risposta viene eseguita usando la sovrapposizione dei modi, ricavati

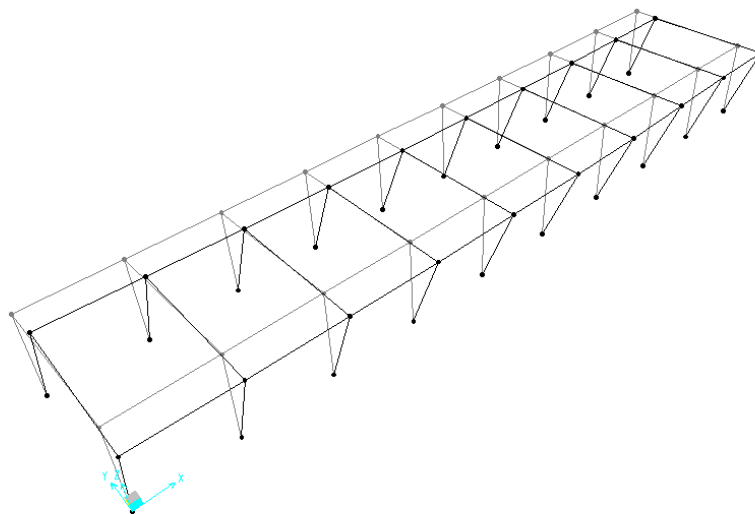
usando l'analisi agli autovettori. Per una data direzione di accelerazione, la risposta modale è calcolata su tutta la struttura per ciascuno dei modi di vibrazione: questi valori modali, per una data quantità in risposta, vengono combinati per produrre un unico risultato positivo per quella data direzione di accelerazione, usando il metodo CQC.

Si riportano nella seguente tabella i risultati dell'analisi modale condotta sulla struttura; in particolare, per i primi 12 modi, sono riepilogati: il periodo della struttura e le masse partecipanti (sia del singolo modo, sia le cumulate) per ciascun grado di libertà:

TABLE: Modal Participating Mass Ratios

| OutputCase | StepType | StepNum  | Period | UX          | UY          | UZ       | SumUX    | SumUY    | SumUZ    | RZ          | SumRZ    |
|------------|----------|----------|--------|-------------|-------------|----------|----------|----------|----------|-------------|----------|
| Text       | Text     | Unitless | Sec    | Unitless    | Unitless    | Unitless | Unitless | Unitless | Unitless | Unitless    | Unitless |
| MODAL      | Mode     | 1        | 0.31   | 0.00        | <b>0.99</b> | 0.00     | 0.00     | 0.99     | 0.00     | 0.69        | 0.69     |
| MODAL      | Mode     | 2        | 0.25   | 0.00        | 0.00        | 0.00     | 0.00     | 0.99     | 0.00     | <b>0.29</b> | 0.97     |
| MODAL      | Mode     | 3        | 0.21   | <b>1.00</b> | 0.00        | 0.00     | 1.00     | 0.99     | 0.00     | 0.02        | 1.00     |
| MODAL      | Mode     | 4        | 0.12   | 0.00        | 0.01        | 0.00     | 1.00     | 1.00     | 0.00     | 0.00        | 1.00     |
| MODAL      | Mode     | 5        | 0.06   | 0.00        | 0.00        | 0.00     | 1.00     | 1.00     | 0.00     | 0.00        | 1.00     |
| MODAL      | Mode     | 6        | 0.05   | 0.00        | 0.00        | 0.00     | 1.00     | 1.00     | 0.00     | 0.00        | 1.00     |
| MODAL      | Mode     | 7        | 0.04   | 0.00        | 0.00        | 0.00     | 1.00     | 1.00     | 0.00     | 0.00        | 1.00     |
| MODAL      | Mode     | 8        | 0.03   | 0.00        | 0.00        | 0.00     | 1.00     | 1.00     | 0.00     | 0.00        | 1.00     |
| MODAL      | Mode     | 9        | 0.03   | 0.00        | 0.00        | 0.00     | 1.00     | 1.00     | 0.00     | 0.00        | 1.00     |
| MODAL      | Mode     | 10       | 0.03   | 0.00        | 0.00        | 0.00     | 1.00     | 1.00     | 0.00     | 0.00        | 1.00     |
| MODAL      | Mode     | 11       | 0.03   | 0.00        | 0.00        | 0.00     | 1.00     | 1.00     | 0.00     | 0.00        | 1.00     |
| MODAL      | Mode     | 12       | 0.02   | 0.00        | 0.00        | 0.81     | 1.00     | 1.00     | 0.81     | 0.00        | 1.00     |

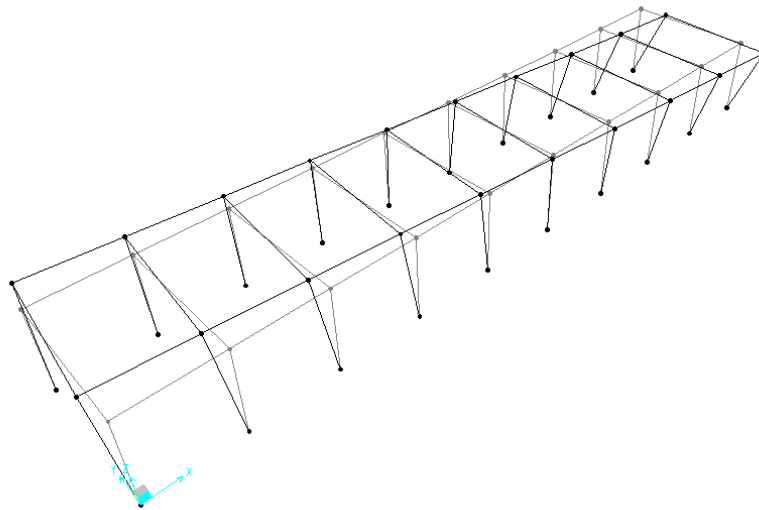
Modo 1 T= 0.31s



RELAZIONE DI CALCOLO FABBRICATO IS/PPM

| COMMESSA | LOTTO | CODIFICA | DOCUMENTO    | REV. | FOGLIO    |
|----------|-------|----------|--------------|------|-----------|
| RS3E     | 50    | D 78 CL  | FA 03 00 001 | A    | 30 di 111 |

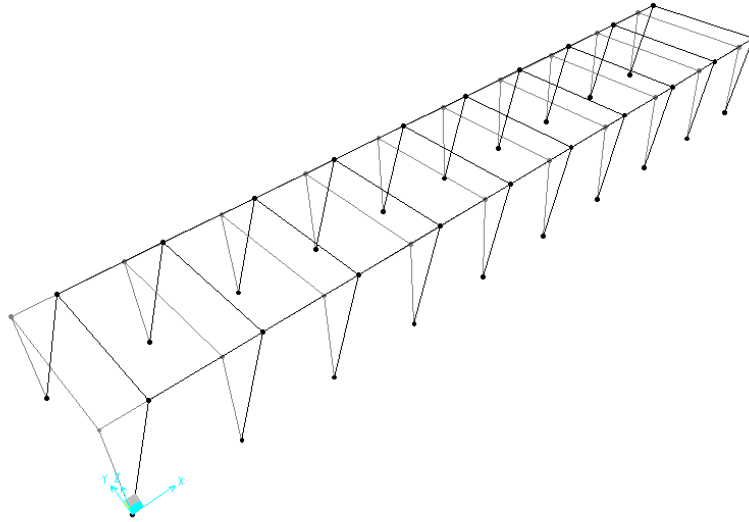
Modo 2  $T = 0.25s$



Modo 3  $T = 0.21 s$

RELAZIONE DI CALCOLO FABBRICATO IS/PPM

| COMMESSA | LOTTO | CODIFICA | DOCUMENTO    | REV. | FOGLIO    |
|----------|-------|----------|--------------|------|-----------|
| RS3E     | 50    | D 78 CL  | FA 03 00 001 | A    | 31 di 111 |



### 6.6.10.2.-.. Eccentricità accidentale delle masse (Ecc.X , Ecc.Y)

Per tener conto della variabilità spaziale del moto sismico, nonché di eventuali incertezze nella localizzazione delle masse, al centro di massa deve essere attribuita un'eccentricità accidentale rispetto alla sua posizione quale deriva dal calcolo. Per gli edifici, gli effetti dell'eccentricità accidentale del centro di massa possono essere determinati mediante l'applicazione di carichi statici costituiti da momenti torcenti di valore pari alla risultante orizzontale della forza agente al piano, moltiplicata per l'eccentricità accidentale del baricentro delle masse rispetto alla sua posizione di calcolo. In assenza di più accurate determinazioni l'eccentricità accidentale in ogni direzione non può essere considerata inferiore a 0.05 volte la dimensione dell'edificio misurata perpendicolarmente alla direzione di applicazione dell'azione sismica.

La forza di taglio alla base  $F_b$  si determina con la formula definita al § 7.3.3.2 – NTC 2008:

$$F_b = S_d(T_1) \cdot W \cdot \lambda / g$$

dove:

$\lambda$  è un fattore di correzione che nel caso in esame può essere assunto pari ad 1

$W$  è il peso totale dell'edificio

$S_d(T_1)$  è l'ordinata dello spettro di progetto per il periodo  $T_1$

$T_1$  è il periodo proprio derivante dall'analisi dinamica modale, relativo al modo di vibrare traslatorio considerato

Dall'analisi modale della struttura si ottengono i seguenti periodi propri, riferiti ai due modi di vibrare traslatori, sono i seguenti:

$$T_x = 0.31 \text{ s} \quad T_y = 0.21 \text{ s}$$

Si determinano quindi le forze di taglio alla base e i corrispondenti momenti torcenti per ciascuna direzione. Si osserva che se il momento torcente è generato dal sisma in direzione x (oppure y) allora anche il sistema di forze equivalente avrà direzione x (oppure y); si riportano di seguito le formule usate per la loro determinazione:

$$M_{tx} = F_b \cdot e_y \quad M_{ty} = F_b \cdot e_x$$



Dopo aver determinato il momento torcente per ciascuna delle due componenti orizzontali dell'azione sismica, si procede con la determinazione di un sistema di forze equivalente a tale momento. Le forze equivalenti sono state individuate in base alla distanza dei pilastri dal centro geometrico degli stessi: le forze sono applicate su ciascun pilastro, alla quota del baricentro delle travi.

$$H_{kx} = M_{tx} \cdot \frac{y_k}{\sum_k y_k^2} \quad H_{ky} = M_{ty} \cdot \frac{x_k}{\sum_k x_k^2}$$

dove:

k indica il numero del pilastro considerato

$H_{kx}$  è la forza in direzione x, data da  $M_{tx}$ , agente sul k-esimo pilastro considerato

$H_{ky}$  è la forza in direzione y, data da  $M_{ty}$ , agente sul k-esimo pilastro considerato

$x_k$  e  $y_k$  sono le distanze dei pilastri dal centro geometrico della struttura

Gli effetti delle forze equivalenti dovute all'eccentricità accidentale, vengono portati in conto nella combinazione sismica, sommandoli all'azione sismica che li origina.

## 7.-..ANALISI DELLA STRUTTURA

### 7.1.-..Codici di calcolo utilizzati

Per il calcolo delle sollecitazioni gravanti sugli elementi strutturali, per i modi di vibrare della struttura e per verifiche di resistenza si è fatto ricorso al codice di calcolo FEM SAP2000 della CSI.

#### 7.1.1.-..Affidabilità del software

La documentazione fornita a corredo dei software contiene una esauriente descrizione delle basi teoriche e degli algoritmi impiegati, l'individuazione dei campi d'impiego, nonché casi prova interamente risolti e commentati.

### 7.2.-..Modellazione dell'opera

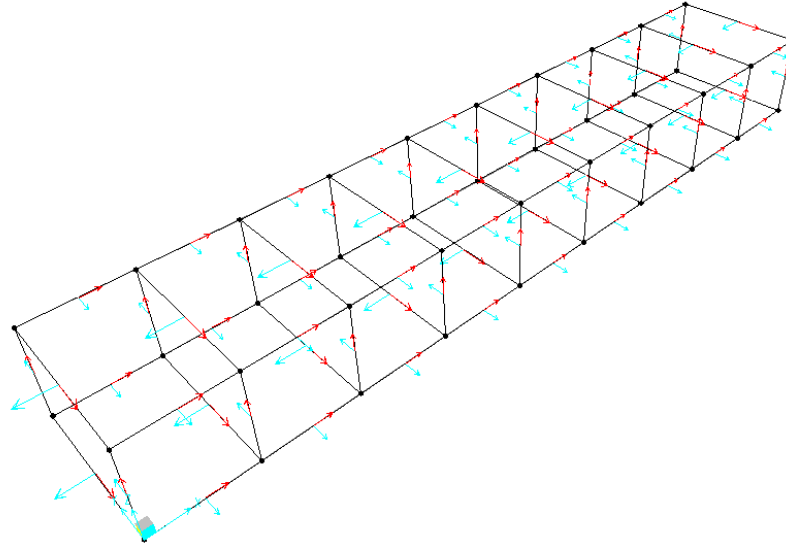
L'edificio in c.a. in oggetto è stato modellato come una struttura a telaio semplice di un piano. Gli elementi strutturali, travi e pilastri, sono stati schematizzati mediante elementi monodimensionali tipo frame. Essi presentano caratteristiche geometriche e meccaniche in accordo con le proprietà reali dei materiali e delle sezioni che li rappresentano. Ciascuna asta è stata posizionata in corrispondenza dell'asse baricentrico degli elementi strutturali e le sono stati assegnati inoltre gli opportuni End Length Offset per tener in conto le compenetrazioni delle aste nei nodi.

La soletta di piano viene modellata tramite elementi bidimensionali.

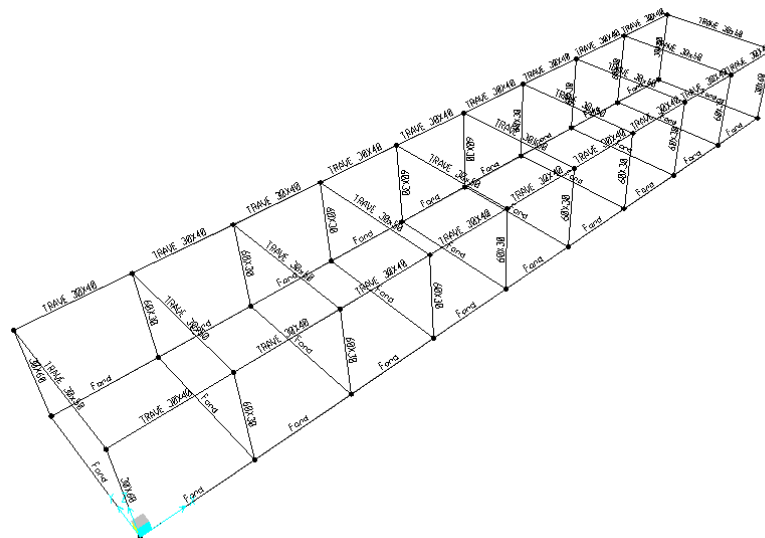
L'analisi degli effetti dovuti all'azione sismica prevede la definizione delle masse strutturali partecipanti all'eccitazione dinamica dovuta al terremoto. Pertanto nel modello le masse strutturali coincidono con i carichi caratteristici permanenti strutturali e non strutturali.

Vengono utilizzati due modelli di calcolo distinti esclusivamente dal vincolo alla base dei pilastri che in un primo modello, utilizzato per l'analisi modale e la verifica geotecnica della portanza delle fondazioni, è impostato con un incastro alla base dei pilastri. Il secondo modello, dove la trave di fondazione ha le sue effettive dimensioni geometriche, è utilizzato per le verifiche strutturali di tutti gli elementi travi e pilastri. In questo secondo modello l'interazione col terreno è assicurata da molle verticali alla Winkler con rigidezza pari a 30000 kN/m<sup>3</sup>

Seguono alcune immagini rappresentative del modello di calcolo:



**Figura 1: assi locali**



**Figura 2: tipologia aste**

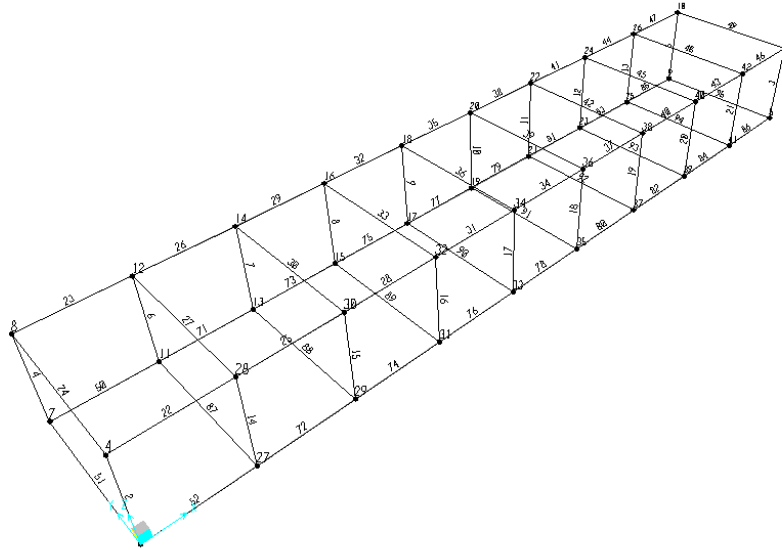


Figura 3: numerazione aste e nodi

### 7.2.1.-..Condizioni di carico e assegnazioni

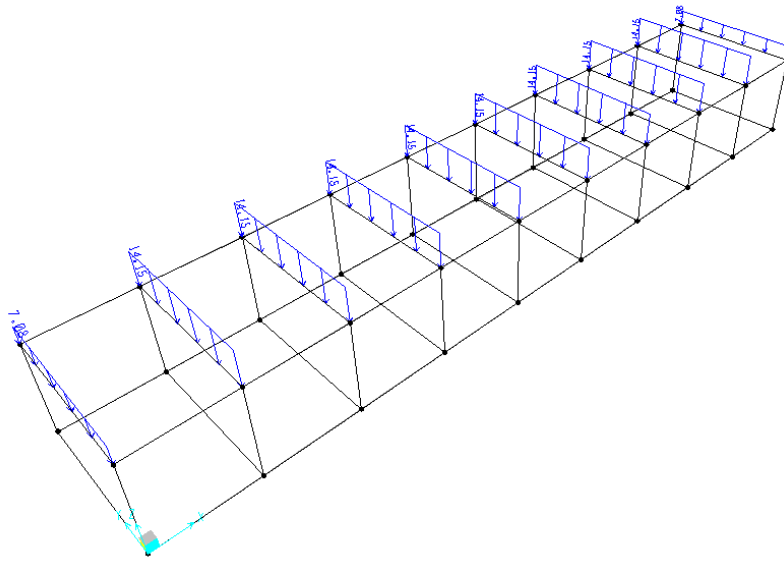
Di seguito si riportano le condizioni elementari di carico:

| Case   | Type        |
|--------|-------------|
| Text   | Text        |
| G1     | LinStatic   |
| MODAL  | LinModal    |
| G2     | LinStatic   |
| QH1    | LinStatic   |
| N      | LinStatic   |
| T      | LinStatic   |
| Vx     | LinStatic   |
| Vy     | LinStatic   |
| Vx-    | LinStatic   |
| Vy-    | LinStatic   |
| SLV-X  | LinRespSpec |
| SLV-Y  | LinRespSpec |
| SLD-X  | LinRespSpec |
| SLD-Y  | LinRespSpec |
| SLO-X  | LinRespSpec |
| SLO-Y  | LinRespSpec |
| E SLVy | LinStatic   |

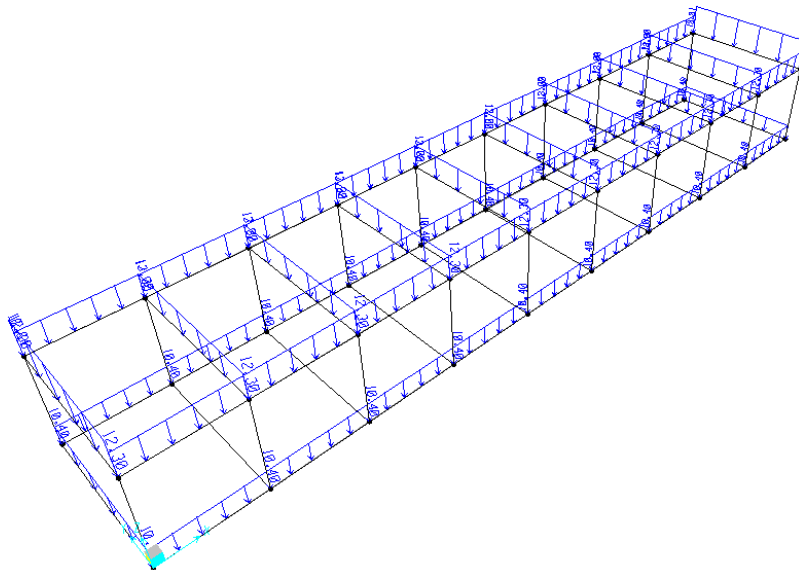
RELAZIONE DI CALCOLO FABBRICATO IS/PPM

| COMMESSA | LOTTO | CODIFICA | DOCUMENTO    | REV. | FOGLIO    |
|----------|-------|----------|--------------|------|-----------|
| RS3E     | 50    | D 78 CL  | FA 03 00 001 | A    | 37 di 111 |

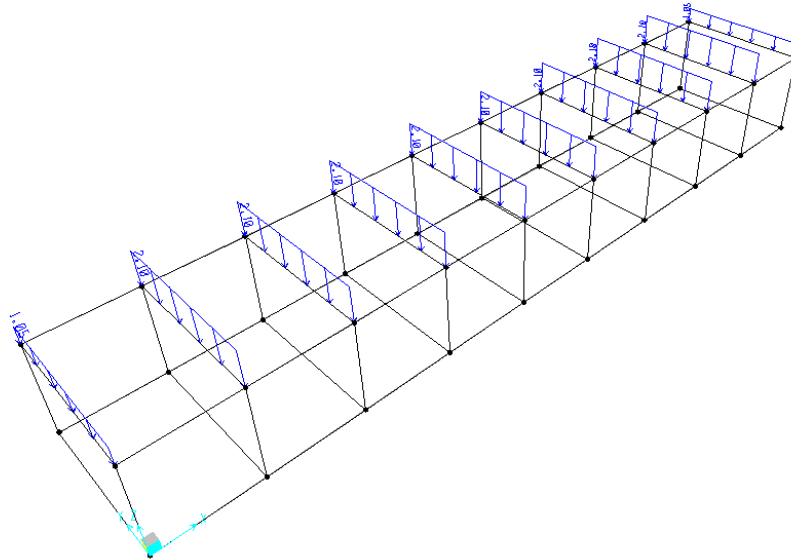
|        |           |
|--------|-----------|
| E SLVx | LinStatic |
| E SLDy | LinStatic |
| E SLDx | LinStatic |
| E SLOy | LinStatic |
| E SLOx | LinStatic |



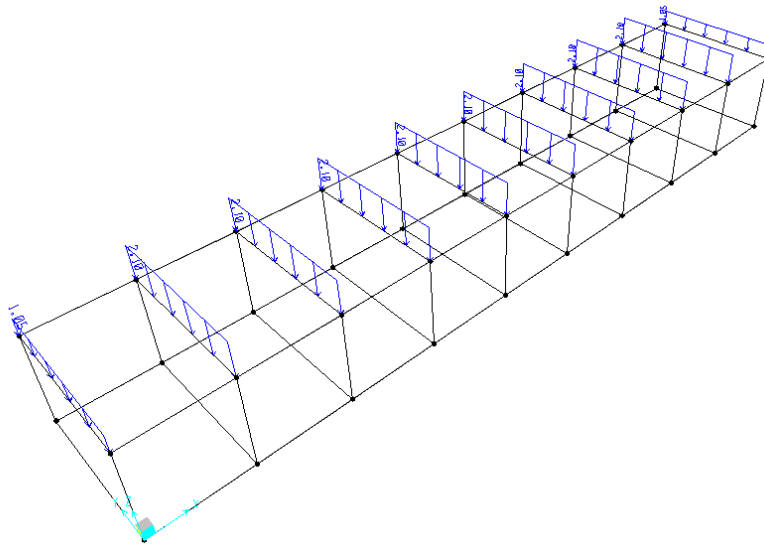
**G1 – Peso solaio**



**G2 – Permanenti non strutturali**



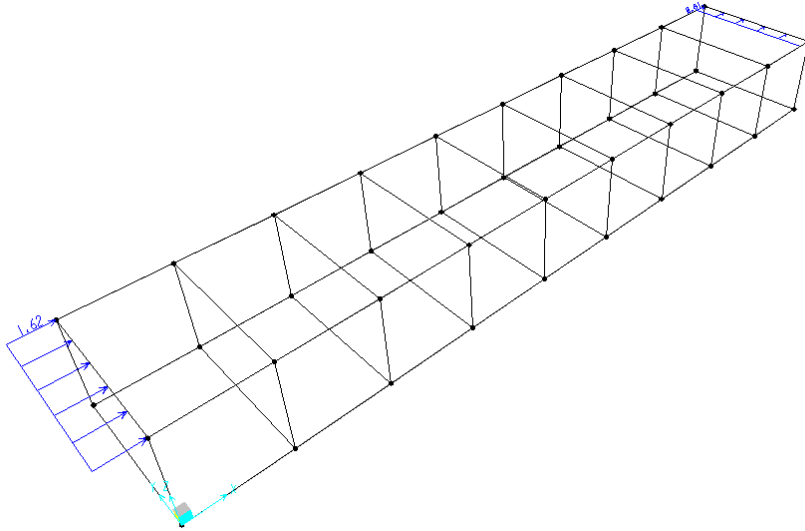
**Q<sub>HI</sub> – Accidentali (Manutenzione)**



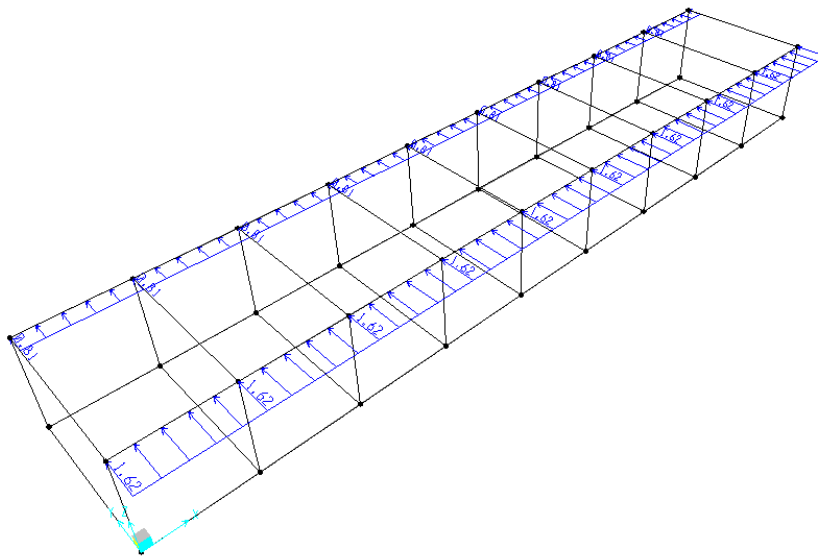
**N – Neve**

RELAZIONE DI CALCOLO FABBRICATO IS/PPM

| COMMESSA | LOTTO | CODIFICA | DOCUMENTO    | REV. | FOGLIO    |
|----------|-------|----------|--------------|------|-----------|
| RS3E     | 50    | D 78 CL  | FA 03 00 001 | A    | 39 di 111 |



**V<sub>x+</sub> – Vento X+**



**V<sub>y+</sub> – Vento Y+**

### 7.3.-..Combinazioni di carico

Ai fini delle verifiche degli stati limite si definiscono le seguenti combinazioni delle azioni (§ 2.5.3 NTC 08):

- Combinazione fondamentale, impiegata per gli stati limite ultimi (SLU):

$$\gamma_{G1} G_1 + \gamma_{G2} G_2 + \gamma_p P + \gamma_{Q1} Q_{K1} + \gamma_{Q2} \psi_{02} Q_{K2} + \gamma_{Q3} \psi_{03} Q_{K3} + \dots$$

- Combinazione caratteristica (rara), impiegata per gli stati limite di esercizio (SLE) irreversibili (verifiche alle tensioni ammissibili di cui al § 2.7 NTC 08):

$$G_1 + G_2 + P + Q_{K1} + \psi_{02} Q_{K2} + \psi_{03} Q_{K3} + \dots$$

- Combinazione frequente, impiegata per gli stati limite di esercizio (SLE) reversibili:

$$G_1 + G_2 + P + \psi_{11} Q_{K1} + \psi_{22} Q_{K2} + \psi_{23} Q_{K3} + \dots$$

- Combinazione quasi permanente (SLE), impiegata per gli effetti a lungo termine:

$$G_1 + G_2 + P + \psi_{21} Q_{K1} + \psi_{22} Q_{K2} + \psi_{23} Q_{K3} + \dots$$

- Combinazione sismica, impiegata per gli stati limite ultimi e di esercizio connessi all'azione sismica E:

$$E + G_1 + G_2 + P + \psi_{21} Q_{K1} + \psi_{22} Q_{K2} + \dots$$

- Combinazione eccezionale, impiegata per gli stati limite ultimi connessi alle azioni eccezionali di progetto:

$$G_1 + G_2 + P + A_d + \psi_{21} Q_{K1} + \psi_{22} Q_{K2} + \dots$$

Le condizioni elementari di carico sono opportunamente combinate per determinare le condizioni più sfavorevoli per ciascun elemento strutturale. Di seguito tutte le combinazioni di carico vengono raggruppate per famiglia di appartenenza. In particolare le celle di una riga contengono i coefficienti moltiplicatori della i-esima combinazione.

Di seguito si riportano, con riferimento al § 7.3 della presente, le combinazioni utilizzate.

#### 7.3.1.-..Modello di calcolo

##### Combinazioni SLU

| n° | ComboName | ComboType  | CaseName | ScaleFactor |
|----|-----------|------------|----------|-------------|
| 1  | SLU_Q1    | Linear Add | G1       | 1,3         |
|    | SLU_Q1    |            | G2       | 1,3         |



RELAZIONE DI CALCOLO FABBRICATO IS/PPM

| COMMESSA | LOTTO | CODIFICA | DOCUMENTO    | REV. | FOGLIO    |
|----------|-------|----------|--------------|------|-----------|
| RS3E     | 50    | D 78 CL  | FA 03 00 001 | A    | 41 di 111 |

|   |          |            |     |      |
|---|----------|------------|-----|------|
|   | SLU_Q1   |            | QH1 | 1,5  |
|   | SLU_Q1   |            | T   | 0,9  |
|   | SLU_Q1   |            | Vx  | 0,9  |
| 2 | SLU_Q2   | Linear Add | G1  | 1,3  |
|   | SLU_Q2   |            | G2  | 1,3  |
|   | SLU_Q2   |            | QH1 | 1,5  |
|   | SLU_Q2   |            | T   | -0,9 |
|   | SLU_Q2   |            | Vx  | 0,9  |
| 3 | SLU_Q3   | Linear Add | G1  | 1,3  |
|   | SLU_Q3   |            | G2  | 1,3  |
|   | SLU_Q3   |            | QH1 | 1,5  |
|   | SLU_Q3   |            | T   | 0,9  |
|   | SLU_Q3   |            | Vx- | 0,9  |
| 4 | SLU_Q4   | Linear Add | G1  | 1,3  |
|   | SLU_Q4   |            | G2  | 1,3  |
|   | SLU_Q4   |            | QH1 | 1,5  |
|   | SLU_Q4   |            | T   | -0,9 |
|   | SLU_Q4   |            | Vx- | 0,9  |
| 5 | SLU_Q5   | Linear Add | G1  | 1,3  |
|   | SLU_Q5   |            | G2  | 1,3  |
|   | SLU_Q5   |            | QH1 | 1,5  |
|   | SLU_Q5   |            | T   | 0,9  |
|   | SLU_Q5   |            | Vy  | 0,9  |
| 6 | SLU_Q6   | Linear Add | G1  | 1,3  |
|   | SLU_Q6   |            | G2  | 1,3  |
|   | SLU_Q6   |            | QH1 | 1,5  |
|   | SLU_Q6   |            | T   | -0,9 |
|   | SLU_Q6   |            | Vy  | 0,9  |
| 7 | SLU_Q7   | Linear Add | G1  | 1,3  |
|   | SLU_Q7   |            | G2  | 1,3  |
|   | SLU_Q7   |            | QH1 | 1,5  |
|   | SLU_Q7   |            | T   | 0,9  |
|   | SLU_Q7   |            | Vy- | 0,9  |
| 8 | SLU_Q8   | Linear Add | G1  | 1,3  |
|   | SLU_Q8   |            | G2  | 1,3  |
|   | SLU_Q8   |            | QH1 | 1,5  |
|   | SLU_Q8   |            | T   | -0,9 |
|   | SLU_Q8   |            | Vy- | 0,9  |
| 9 | SLU_VX1+ | Linear Add | G1  | 1,3  |

RELAZIONE DI CALCOLO FABBRICATO IS/PPM

| COMMESSA | LOTTO | CODIFICA | DOCUMENTO    | REV. | FOGLIO    |
|----------|-------|----------|--------------|------|-----------|
| RS3E     | 50    | D 78 CL  | FA 03 00 001 | A    | 42 di 111 |

|    |          |            |     |      |
|----|----------|------------|-----|------|
|    | SLU_VX1+ |            | G2  | 1,3  |
|    | SLU_VX1+ |            | N   | 0,75 |
|    | SLU_VX1+ |            | T   | 0,9  |
|    | SLU_VX1+ |            | Vx  | 1,5  |
| 10 | SLU_VX1- | Linear Add | G1  | 1,3  |
|    | SLU_VX1- |            | G2  | 1,3  |
|    | SLU_VX1- |            | N   | 0,75 |
|    | SLU_VX1- |            | T   | 0,9  |
|    | SLU_VX1- |            | Vx- | 1,5  |
| 11 | SLU_VX2+ | Linear Add | G1  | 1,3  |
|    | SLU_VX2+ |            | G2  | 1,3  |
|    | SLU_VX2+ |            | N   | 0,75 |
|    | SLU_VX2+ |            | T   | -0,9 |
|    | SLU_VX2+ |            | Vx  | 1,5  |
| 12 | SLU_VX2- | Linear Add | G1  | 1,3  |
|    | SLU_VX2- |            | G2  | 1,3  |
|    | SLU_VX2- |            | N   | 0,75 |
|    | SLU_VX2- |            | T   | -0,9 |
|    | SLU_VX2- |            | Vx- | 1,5  |
| 13 | SLU_VY1+ | Linear Add | G1  | 1,3  |
|    | SLU_VY1+ |            | G2  | 1,3  |
|    | SLU_VY1+ |            | N   | 0,75 |
|    | SLU_VY1+ |            | T   | 0,9  |
|    | SLU_VY1+ |            | Vy  | 1,5  |
| 14 | SLU_VY1- | Linear Add | G1  | 1,3  |
|    | SLU_VY1- |            | G2  | 1,3  |
|    | SLU_VY1- |            | N   | 0,75 |
|    | SLU_VY1- |            | T   | 0,9  |
|    | SLU_VY1- |            | Vy- | 1,5  |
| 15 | SLU_VY2+ | Linear Add | G1  | 1,3  |
|    | SLU_VY2+ |            | G2  | 1,3  |
|    | SLU_VY2+ |            | N   | 0,75 |
|    | SLU_VY2+ |            | T   | -0,9 |
|    | SLU_VY2+ |            | Vy  | 1,5  |
| 16 | SLU_VY2- | Linear Add | G1  | 1,3  |
|    | SLU_VY2- |            | G2  | 1,3  |
|    | SLU_VY2- |            | N   | 0,75 |
|    | SLU_VY2- |            | T   | -0,9 |
|    | SLU_VY2- |            | Vy- | 1,5  |

RELAZIONE DI CALCOLO FABBRICATO IS/PPM

| COMMESSA | LOTTO | CODIFICA | DOCUMENTO    | REV. | FOGLIO    |
|----------|-------|----------|--------------|------|-----------|
| RS3E     | 50    | D 78 CL  | FA 03 00 001 | A    | 43 di 111 |

|               |         |          |          |   |
|---------------|---------|----------|----------|---|
| INVILUP<br>PO | INV_SLU | Envelope | SLU_Q1   | 1 |
|               | INV_SLU |          | SLU_Q2   | 1 |
|               | INV_SLU |          | SLU_Q3   | 1 |
|               | INV_SLU |          | SLU_Q4   | 1 |
|               | INV_SLU |          | SLU_Q5   | 1 |
|               | INV_SLU |          | SLU_Q6   | 1 |
|               | INV_SLU |          | SLU_Q7   | 1 |
|               | INV_SLU |          | SLU_Q8   | 1 |
|               | INV_SLU |          | SLU_VX1- | 1 |
|               | INV_SLU |          | SLU_VX1+ | 1 |
|               | INV_SLU |          | SLU_VX2- | 1 |
|               | INV_SLU |          | SLU_VX2+ | 1 |
|               | INV_SLU |          | SLU_VY1- | 1 |
|               | INV_SLU |          | SLU_VY1+ | 1 |
|               | INV_SLU |          | SLU_VY2- | 1 |
|               | INV_SLU |          | SLU_VY2+ | 1 |

Combinazioni SLE rara

| n° | ComboName | ComboType  | CaseName | ScaleFactor |
|----|-----------|------------|----------|-------------|
| 1  | SLER_Q1   | Linear Add | G1       | 1           |
|    | SLER_Q1   |            | G2       | 1           |
|    | SLER_Q1   |            | QH1      | 1           |
|    | SLER_Q1   |            | T        | 0,6         |
|    | SLER_Q1   |            | N        | 0,5         |
|    | SLER_Q1   |            | Vx       | 0,6         |
| 2  | SLER_Q2   | Linear Add | G1       | 1           |
|    | SLER_Q2   |            | G2       | 1           |
|    | SLER_Q2   |            | QH1      | 1           |
|    | SLER_Q2   |            | T        | 0,6         |
|    | SLER_Q2   |            | N        | 0,5         |
|    | SLER_Q2   |            | Vx-      | 0,6         |
| 3  | SLER_Q3   | Linear Add | G1       | 1           |
|    | SLER_Q3   |            | G2       | 1           |
|    | SLER_Q3   |            | QH1      | 1           |
|    | SLER_Q3   |            | T        | 0,6         |
|    | SLER_Q3   |            | N        | 0,5         |
|    | SLER_Q3   |            | Vy       | 0,6         |
| 4  | SLER_Q4   | Linear Add | G1       | 1           |

RELAZIONE DI CALCOLO FABBRICATO IS/PPM

| COMMESSA | LOTTO | CODIFICA | DOCUMENTO    | REV. | FOGLIO    |
|----------|-------|----------|--------------|------|-----------|
| RS3E     | 50    | D 78 CL  | FA 03 00 001 | A    | 44 di 111 |

|    |             |            |     |      |
|----|-------------|------------|-----|------|
|    | SLER_Q4     |            | G2  | 1    |
|    | SLER_Q4     |            | QH1 | 1    |
|    | SLER_Q4     |            | T   | 0,6  |
|    | SLER_Q4     |            | N   | 0,5  |
|    | SLER_Q4     |            | Vy- | 0,6  |
| 5  | SLER_Q5     | Linear Add | G1  | 1    |
|    | SLER_Q5     |            | G2  | 1    |
|    | SLER_Q5     |            | QH1 | 1    |
|    | SLER_Q5     |            | T   | -0,6 |
|    | SLER_Q5     |            | N   | 0,5  |
|    | SLER_Q5     |            | Vx  | 0,6  |
| 6  | SLER_Q6     | Linear Add | G1  | 1    |
|    | SLER_Q6     |            | G2  | 1    |
|    | SLER_Q6     |            | QH1 | 1    |
|    | SLER_Q6     |            | T   | -0,6 |
|    | SLER_Q6     |            | N   | 0,5  |
|    | SLER_Q6     |            | Vx- | 0,6  |
| 7  | SLER_Q7     | Linear Add | G1  | 1    |
|    | SLER_Q7     |            | G2  | 1    |
|    | SLER_Q7     |            | QH1 | 1    |
|    | SLER_Q7     |            | T   | -0,6 |
|    | SLER_Q7     |            | N   | 0,5  |
|    | SLER_Q7     |            | Vy  | 0,6  |
| 8  | SLER_Q8     | Linear Add | G1  | 1    |
|    | SLER_Q8     |            | G2  | 1    |
|    | SLER_Q8     |            | QH1 | 1    |
|    | SLER_Q8     |            | T   | -0,6 |
|    | SLER_Q8     |            | N   | 0,5  |
|    | SLER_Q8     |            | Vy- | 0,6  |
| 9  | SLER_VX+_T- | Linear Add | G1  | 1    |
|    | SLER_VX+_T- |            | G2  | 1    |
|    | SLER_VX+_T- |            | Vx  | 1    |
|    | SLER_VX+_T- |            | N   | 0,5  |
|    | SLER_VX+_T- |            | T   | -0,6 |
| 10 | SLER_VY+    | Linear Add | G1  | 1    |
|    | SLER_VY+    |            | G2  | 1    |
|    | SLER_VY+    |            | Vy  | 1    |
|    | SLER_VY+    |            | N   | 0,5  |
|    | SLER_VY+    |            | T   | 0,6  |

RELAZIONE DI CALCOLO FABBRICATO IS/PPM

| COMMESSA | LOTTO | CODIFICA | DOCUMENTO    | REV. | FOGLIO    |
|----------|-------|----------|--------------|------|-----------|
| RS3E     | 50    | D 78 CL  | FA 03 00 001 | A    | 45 di 111 |

|               |             |            |          |      |
|---------------|-------------|------------|----------|------|
| 11            | SLER_VX-    | Linear Add | G1       | 1    |
|               | SLER_VX-    |            | G2       | 1    |
|               | SLER_VX-    |            | Vx-      | 1    |
|               | SLER_VX-    |            | N        | 0,5  |
|               | SLER_VX-    |            | T        | 0,6  |
| 12            | SLER_VY-    | Linear Add | G1       | 1    |
|               | SLER_VY-    |            | G2       | 1    |
|               | SLER_VY-    |            | Vy-      | 1    |
|               | SLER_VY-    |            | N        | 0,5  |
|               | SLER_VY-    |            | T        | 0,6  |
| 13            | SLER_VX+    | Linear Add | G1       | 1    |
|               | SLER_VX+    |            | G2       | 1    |
|               | SLER_VX+    |            | Vx       | 1    |
|               | SLER_VX+    |            | N        | 0,5  |
|               | SLER_VX+    |            | T        | 0,6  |
| 14            | SLER_VX-_T- | Linear Add | G1       | 1    |
|               | SLER_VX-_T- |            | G2       | 1    |
|               | SLER_VX-_T- |            | Vx-      | 1    |
|               | SLER_VX-_T- |            | N        | 0,5  |
|               | SLER_VX-_T- |            | T        | -0,6 |
| 15            | SLER_VY+_T- | Linear Add | G1       | 1    |
|               | SLER_VY+_T- |            | G2       | 1    |
|               | SLER_VY+_T- |            | Vy       | 1    |
|               | SLER_VY+_T- |            | N        | 0,5  |
|               | SLER_VY+_T- |            | T        | -0,6 |
| 16            | SLER_VY-_T- | Linear Add | G1       | 1    |
|               | SLER_VY-_T- |            | G2       | 1    |
|               | SLER_VY-_T- |            | Vy-      | 1    |
|               | SLER_VY-_T- |            | N        | 0,5  |
|               | SLER_VY-_T- |            | T        | -0,6 |
| INVILUP<br>PO | INV_SLER    | Envelope   | SLER_Q1  | 1    |
|               | INV_SLER    |            | SLER_Q2  | 1    |
|               | INV_SLER    |            | SLER_Q3  | 1    |
|               | INV_SLER    |            | SLER_Q4  | 1    |
|               | INV_SLER    |            | SLER_Q5  | 1    |
|               | INV_SLER    |            | SLER_Q6  | 1    |
|               | INV_SLER    |            | SLER_Q7  | 1    |
|               | INV_SLER    |            | SLER_Q8  | 1    |
|               | INV_SLER    |            | SLER_VX- | 1    |

RELAZIONE DI CALCOLO FABBRICATO IS/PPM

| COMMESSA | LOTTO | CODIFICA | DOCUMENTO    | REV. | FOGLIO    |
|----------|-------|----------|--------------|------|-----------|
| RS3E     | 50    | D 78 CL  | FA 03 00 001 | A    | 46 di 111 |

|          |  |             |   |
|----------|--|-------------|---|
| INV_SLER |  | SLER_VX-_T- | 1 |
| INV_SLER |  | SLER_VX+    | 1 |
| INV_SLER |  | SLER_VX+_T- | 1 |
| INV_SLER |  | SLER_VY-    | 1 |
| INV_SLER |  | SLER_VY-_T- | 1 |
| INV_SLER |  | SLER_VY+    | 1 |
| INV_SLER |  | SLER_VY+_T- | 1 |

Combinazioni SLE frequente

| n°            | ComboName | ComboType  | CaseName | ScaleFactor |
|---------------|-----------|------------|----------|-------------|
| 1             | SLEF_Vx+  | Linear Add | G1       | 1           |
|               | SLEF_Vx+  |            | G2       | 1           |
|               | SLEF_Vx+  |            | Vx       | 0,2         |
| 2             | SLEF_Vy+  | Linear Add | G1       | 1           |
|               | SLEF_Vy+  |            | G2       | 1           |
|               | SLEF_Vy+  |            | Vy       | 0,2         |
| 3             | SLEF_Vx-  | Linear Add | G1       | 1           |
|               | SLEF_Vx-  |            | G2       | 1           |
|               | SLEF_Vx-  |            | Vx-      | 0,2         |
| 4             | SLEF_Vy-  | Linear Add | G1       | 1           |
|               | SLEF_Vy-  |            | G2       | 1           |
|               | SLEF_Vy-  |            | Vy-      | 0,2         |
| 5             | SLEF_N    | Linear Add | G1       | 1           |
|               | SLEF_N    |            | G2       | 1           |
|               | SLEF_N    |            | N        | 0,2         |
| 6             | SLEF_T    | Linear Add | G1       | 1           |
|               | SLEF_T    |            | G2       | 1           |
|               | SLEF_T    |            | T        | 0,5         |
| INVILUP<br>PO | INV_SLEF  | Envelope   | SLEF_N   | 1           |
|               | INV_SLEF  |            | SLEF_T   | 1           |
|               | INV_SLEF  |            | SLEF_Vx- | 1           |
|               | INV_SLEF  |            | SLEF_Vx+ | 1           |
|               | INV_SLEF  |            | SLEF_Vy- | 1           |
|               | INV_SLEF  |            | SLEF_Vy+ | 1           |

Combinazioni SLE quasi permanente

| n° | ComboName | ComboType  | CaseName | ScaleFactor |
|----|-----------|------------|----------|-------------|
| 1  | SLEQP     | Linear Add | G1       | 1           |
|    | SLEQP     |            | G2       | 1           |

Combinazioni SLV

| n° | ComboName | ComboType  | CaseName | ScaleFactor |
|----|-----------|------------|----------|-------------|
| 1  | SLV_X1    | Linear Add | G1       | 1           |
|    | SLV_X1    |            | G2       | 1           |
|    | SLV_X1    |            | SLV-X    | 1           |
|    | SLV_X1    |            | SLV-Y    | 0,3         |
|    | SLV_X1    |            | E SLVx   | -1          |
|    | SLV_X1    |            | E SLVy   | -0,3        |
| 2  | SLV_X2    | Linear Add | G1       | 1           |
|    | SLV_X2    |            | G2       | 1           |
|    | SLV_X2    |            | SLV-X    | -1          |
|    | SLV_X2    |            | SLV-Y    | 0,3         |
|    | SLV_X2    |            | E SLVx   | 1           |
|    | SLV_X2    |            | E SLVy   | -0,3        |
| 3  | SLV_X3    | Linear Add | G1       | 1           |
|    | SLV_X3    |            | G2       | 1           |
|    | SLV_X3    |            | SLV-X    | 1           |
|    | SLV_X3    |            | SLV-Y    | -0,3        |
|    | SLV_X3    |            | E SLVx   | -1          |
|    | SLV_X3    |            | E SLVy   | 0,3         |
| 4  | SLV_X4    | Linear Add | G1       | 1           |
|    | SLV_X4    |            | G2       | 1           |
|    | SLV_X4    |            | SLV-X    | -1          |
|    | SLV_X4    |            | SLV-Y    | -0,3        |
|    | SLV_X4    |            | E SLVx   | 1           |
|    | SLV_X4    |            | E SLVy   | 0,3         |
| 5  | SLV_Y1    | Linear Add | G1       | 1           |
|    | SLV_Y1    |            | G2       | 1           |
|    | SLV_Y1    |            | SLV-X    | 0,3         |
|    | SLV_Y1    |            | SLV-Y    | 1           |
|    | SLV_Y1    |            | E SLVx   | -0,3        |
|    | SLV_Y1    |            | E SLVy   | -1          |

RELAZIONE DI CALCOLO FABBRICATO IS/PPM

| COMMESSA | LOTTO | CODIFICA | DOCUMENTO    | REV. | FOGLIO    |
|----------|-------|----------|--------------|------|-----------|
| RS3E     | 50    | D 78 CL  | FA 03 00 001 | A    | 48 di 111 |

|    |        |            |        |      |
|----|--------|------------|--------|------|
| 6  | SLV_Y2 | Linear Add | G1     | 1    |
|    | SLV_Y2 |            | G2     | 1    |
|    | SLV_Y2 |            | SLV-X  | -0,3 |
|    | SLV_Y2 |            | SLV-Y  | 1    |
|    | SLV_Y2 |            | E SLVx | 0,3  |
|    | SLV_Y2 |            | E SLVy | -1   |
| 7  | SLV_Y3 | Linear Add | G1     | 1    |
|    | SLV_Y3 |            | G2     | 1    |
|    | SLV_Y3 |            | SLV-X  | 0,3  |
|    | SLV_Y3 |            | SLV-Y  | -1   |
|    | SLV_Y3 |            | E SLVx | -0,3 |
|    | SLV_Y3 |            | E SLVy | 1    |
| 8  | SLV_Y4 | Linear Add | G1     | 1    |
|    | SLV_Y4 |            | G2     | 1    |
|    | SLV_Y4 |            | SLV-X  | -0,3 |
|    | SLV_Y4 |            | SLV-Y  | -1   |
|    | SLV_Y4 |            | E SLVx | 0,3  |
|    | SLV_Y4 |            | E SLVy | 1    |
| 9  | SLV_X5 | Linear Add | G1     | 1    |
|    | SLV_X5 |            | G2     | 1    |
|    | SLV_X5 |            | SLV-X  | 1    |
|    | SLV_X5 |            | SLV-Y  | 0,3  |
|    | SLV_X5 |            | E SLVy | 0,3  |
|    | SLV_X5 |            | E SLVx | 1    |
| 10 | SLV_X6 | Linear Add | G1     | 1    |
|    | SLV_X6 |            | G2     | 1    |
|    | SLV_X6 |            | SLV-X  | -1   |
|    | SLV_X6 |            | SLV-Y  | 0,3  |
|    | SLV_X6 |            | E SLVy | 0,3  |
|    | SLV_X6 |            | E SLVx | -1   |
| 11 | SLV_X7 | Linear Add | G1     | 1    |
|    | SLV_X7 |            | G2     | 1    |
|    | SLV_X7 |            | SLV-X  | 1    |
|    | SLV_X7 |            | SLV-Y  | -0,3 |
|    | SLV_X7 |            | E SLVy | -0,3 |
|    | SLV_X7 |            | E SLVx | 1    |
| 12 | SLV_X8 | Linear Add | G1     | 1    |
|    | SLV_X8 |            | G2     | 1    |
|    | SLV_X8 |            | SLV-X  | -1   |



RELAZIONE DI CALCOLO FABBRICATO IS/PPM

| COMMESSA | LOTTO | CODIFICA | DOCUMENTO    | REV. | FOGLIO    |
|----------|-------|----------|--------------|------|-----------|
| RS3E     | 50    | D 78 CL  | FA 03 00 001 | A    | 49 di 111 |

|    |         |            |        |      |
|----|---------|------------|--------|------|
|    | SLV_X8  |            | SLV-Y  | -0,3 |
|    | SLV_X8  |            | E SLVy | -0,3 |
|    | SLV_X8  |            | E SLVx | -1   |
| 13 | SLV_Y5  | Linear Add | G1     | 1    |
|    | SLV_Y5  |            | G2     | 1    |
|    | SLV_Y5  |            | SLV-X  | 0,3  |
|    | SLV_Y5  |            | SLV-Y  | 1    |
|    | SLV_Y5  |            | E SLVy | 1    |
|    | SLV_Y5  |            | E SLVx | 0,3  |
| 14 | SLV_Y6  | Linear Add | G1     | 1    |
|    | SLV_Y6  |            | G2     | 1    |
|    | SLV_Y6  |            | SLV-X  | -0,3 |
|    | SLV_Y6  |            | SLV-Y  | 1    |
|    | SLV_Y6  |            | E SLVy | 1    |
|    | SLV_Y6  |            | E SLVx | -0,3 |
| 15 | SLV_Y7  | Linear Add | G1     | 1    |
|    | SLV_Y7  |            | G2     | 1    |
|    | SLV_Y7  |            | SLV-X  | 0,3  |
|    | SLV_Y7  |            | SLV-Y  | -1   |
|    | SLV_Y7  |            | E SLVy | -1   |
|    | SLV_Y7  |            | E SLVx | 0,3  |
| 16 | SLV_Y8  | Linear Add | G1     | 1    |
|    | SLV_Y8  |            | G2     | 1    |
|    | SLV_Y8  |            | SLV-X  | -0,3 |
|    | SLV_Y8  |            | SLV-Y  | -1   |
|    | SLV_Y8  |            | E SLVy | -1   |
|    | SLV_Y8  |            | E SLVx | -0,3 |
| 17 | SLV_X9  | Linear Add | G1     | 1    |
|    | SLV_X9  |            | G2     | 1    |
|    | SLV_X9  |            | SLV-X  | 1    |
|    | SLV_X9  |            | SLV-Y  | 0,3  |
|    | SLV_X9  |            | E SLVy | -0,3 |
|    | SLV_X9  |            | E SLVx | 1    |
| 18 | SLV_X10 | Linear Add | G1     | 1    |
|    | SLV_X10 |            | G2     | 1    |
|    | SLV_X10 |            | SLV-X  | -1   |
|    | SLV_X10 |            | SLV-Y  | 0,3  |
|    | SLV_X10 |            | E SLVy | -0,3 |
|    | SLV_X10 |            | E SLVx | -1   |

RELAZIONE DI CALCOLO FABBRICATO IS/PPM

| COMMESSA | LOTTO | CODIFICA | DOCUMENTO    | REV. | FOGLIO    |
|----------|-------|----------|--------------|------|-----------|
| RS3E     | 50    | D 78 CL  | FA 03 00 001 | A    | 50 di 111 |

|    |         |            |        |      |
|----|---------|------------|--------|------|
| 19 | SLV_X11 | Linear Add | G1     | 1    |
|    | SLV_X11 |            | G2     | 1    |
|    | SLV_X11 |            | SLV-X  | 1    |
|    | SLV_X11 |            | SLV-Y  | -0,3 |
|    | SLV_X11 |            | E SLVy | 0,3  |
|    | SLV_X11 |            | E SLVx | 1    |
| 20 | SLV_X12 | Linear Add | G1     | 1    |
|    | SLV_X12 |            | G2     | 1    |
|    | SLV_X12 |            | SLV-X  | -1   |
|    | SLV_X12 |            | SLV-Y  | -0,3 |
|    | SLV_X12 |            | E SLVy | 0,3  |
|    | SLV_X12 |            | E SLVx | -1   |
| 21 | SLV_X13 | Linear Add | G1     | 1    |
|    | SLV_X13 |            | G2     | 1    |
|    | SLV_X13 |            | SLV-X  | 1    |
|    | SLV_X13 |            | SLV-Y  | 0,3  |
|    | SLV_X13 |            | E SLVy | 0,3  |
|    | SLV_X13 |            | E SLVx | -1   |
| 22 | SLV_X14 | Linear Add | G1     | 1    |
|    | SLV_X14 |            | G2     | 1    |
|    | SLV_X14 |            | SLV-X  | -1   |
|    | SLV_X14 |            | SLV-Y  | 0,3  |
|    | SLV_X14 |            | E SLVy | 0,3  |
|    | SLV_X14 |            | E SLVx | 1    |
| 23 | SLV_X15 | Linear Add | G1     | 1    |
|    | SLV_X15 |            | G2     | 1    |
|    | SLV_X15 |            | SLV-X  | 1    |
|    | SLV_X15 |            | SLV-Y  | -0,3 |
|    | SLV_X15 |            | E SLVy | -0,3 |
|    | SLV_X15 |            | E SLVx | -1   |
| 24 | SLV_X16 | Linear Add | G1     | 1    |
|    | SLV_X16 |            | G2     | 1    |
|    | SLV_X16 |            | SLV-X  | -1   |
|    | SLV_X16 |            | SLV-Y  | -0,3 |
|    | SLV_X16 |            | E SLVy | -0,3 |
|    | SLV_X16 |            | E SLVx | 1    |
| 25 | SLV_Y9  | Linear Add | G1     | 1    |
|    | SLV_Y9  |            | G2     | 1    |
|    | SLV_Y9  |            | SLV-X  | 0,3  |

RELAZIONE DI CALCOLO FABBRICATO IS/PPM

| COMMESSA | LOTTO | CODIFICA | DOCUMENTO    | REV. | FOGLIO    |
|----------|-------|----------|--------------|------|-----------|
| RS3E     | 50    | D 78 CL  | FA 03 00 001 | A    | 51 di 111 |

|    |         |            |        |      |
|----|---------|------------|--------|------|
|    | SLV_Y9  |            | SLV-Y  | 1    |
|    | SLV_Y9  |            | E SLVy | -1   |
|    | SLV_Y9  |            | E SLVx | 0,3  |
| 26 | SLV_Y10 | Linear Add | G1     | 1    |
|    | SLV_Y10 |            | G2     | 1    |
|    | SLV_Y10 |            | SLV-X  | -0,3 |
|    | SLV_Y10 |            | SLV-Y  | 1    |
|    | SLV_Y10 |            | E SLVy | -1   |
|    | SLV_Y10 |            | E SLVx | -0,3 |
| 27 | SLV_Y11 | Linear Add | G1     | 1    |
|    | SLV_Y11 |            | G2     | 1    |
|    | SLV_Y11 |            | SLV-X  | 0,3  |
|    | SLV_Y11 |            | SLV-Y  | -1   |
|    | SLV_Y11 |            | E SLVy | 1    |
|    | SLV_Y11 |            | E SLVx | 0,3  |
| 28 | SLV_Y12 | Linear Add | G1     | 1    |
|    | SLV_Y12 |            | G2     | 1    |
|    | SLV_Y12 |            | SLV-X  | -0,3 |
|    | SLV_Y12 |            | SLV-Y  | -1   |
|    | SLV_Y12 |            | E SLVy | 1    |
|    | SLV_Y12 |            | E SLVx | -0,3 |
| 29 | SLV_Y13 | Linear Add | G1     | 1    |
|    | SLV_Y13 |            | G2     | 1    |
|    | SLV_Y13 |            | SLV-X  | 0,3  |
|    | SLV_Y13 |            | SLV-Y  | 1    |
|    | SLV_Y13 |            | E SLVy | 1    |
|    | SLV_Y13 |            | E SLVx | -0,3 |
| 30 | SLV_Y14 | Linear Add | G1     | 1    |
|    | SLV_Y14 |            | G2     | 1    |
|    | SLV_Y14 |            | SLV-X  | -0,3 |
|    | SLV_Y14 |            | SLV-Y  | 1    |
|    | SLV_Y14 |            | E SLVy | 1    |
|    | SLV_Y14 |            | E SLVx | 0,3  |
| 31 | SLV_Y15 | Linear Add | G1     | 1    |
|    | SLV_Y15 |            | G2     | 1    |
|    | SLV_Y15 |            | SLV-X  | 0,3  |
|    | SLV_Y15 |            | SLV-Y  | -1   |
|    | SLV_Y15 |            | E SLVy | -1   |
|    | SLV_Y15 |            | E SLVx | -0,3 |

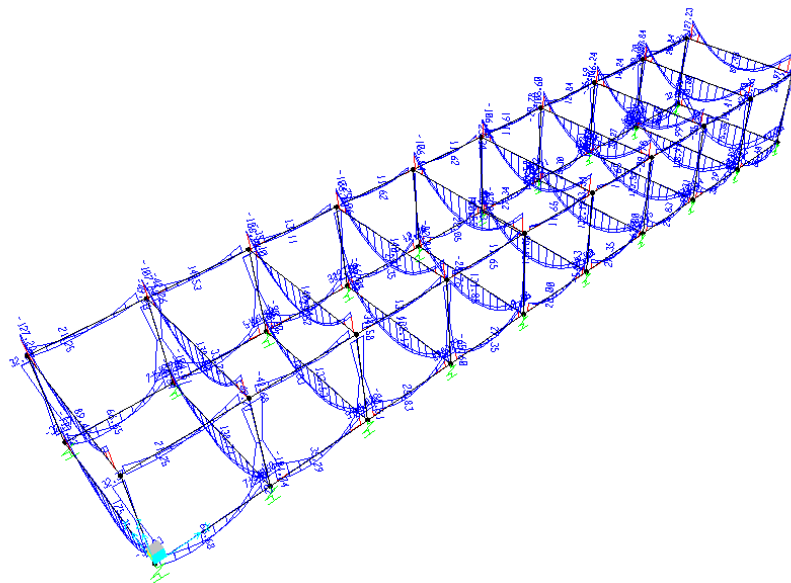
RELAZIONE DI CALCOLO FABBRICATO IS/PPM

| COMMESSA | LOTTO | CODIFICA | DOCUMENTO    | REV. | FOGLIO    |
|----------|-------|----------|--------------|------|-----------|
| RS3E     | 50    | D 78 CL  | FA 03 00 001 | A    | 52 di 111 |

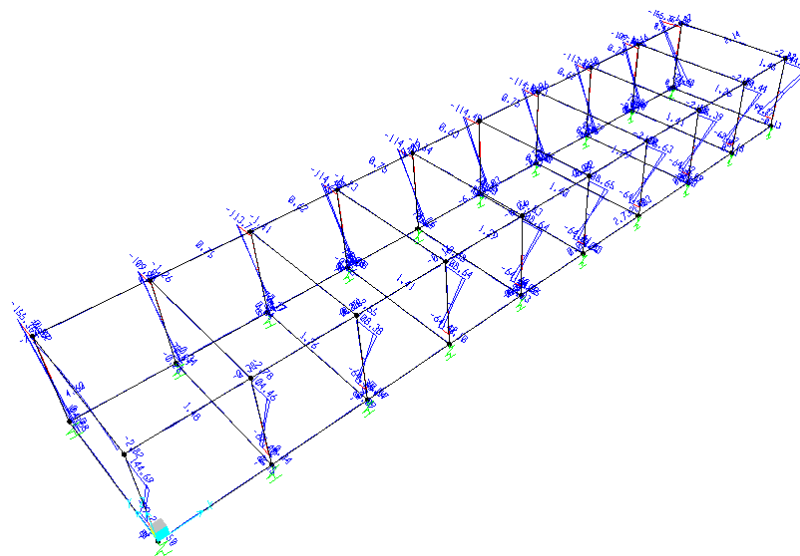
|           |         |            |         |      |
|-----------|---------|------------|---------|------|
| 32        | SLV_Y16 | Linear Add | G1      | 1    |
|           | SLV_Y16 |            | G2      | 1    |
|           | SLV_Y16 |            | SLV-X   | -0,3 |
|           | SLV_Y16 |            | SLV-Y   | -1   |
|           | SLV_Y16 |            | E SLVy  | -1   |
|           | SLV_Y16 |            | E SLVx  | 0,3  |
| INVILUPPO | INV_SLV | Envelope   | SLV_X1  | 1    |
|           | INV_SLV |            | SLV_X10 | 1    |
|           | INV_SLV |            | SLV_X11 | 1    |
|           | INV_SLV |            | SLV_X12 | 1    |
|           | INV_SLV |            | SLV_X13 | 1    |
|           | INV_SLV |            | SLV_X14 | 1    |
|           | INV_SLV |            | SLV_X15 | 1    |
|           | INV_SLV |            | SLV_X16 | 1    |
|           | INV_SLV |            | SLV_X2  | 1    |
|           | INV_SLV |            | SLV_X3  | 1    |
|           | INV_SLV |            | SLV_X4  | 1    |
|           | INV_SLV |            | SLV_X5  | 1    |
|           | INV_SLV |            | SLV_X6  | 1    |
|           | INV_SLV |            | SLV_X7  | 1    |
|           | INV_SLV |            | SLV_X8  | 1    |
|           | INV_SLV |            | SLV_X9  | 1    |
|           | INV_SLV |            | SLV_Y1  | 1    |
|           | INV_SLV |            | SLV_Y10 | 1    |
|           | INV_SLV |            | SLV_Y11 | 1    |
|           | INV_SLV |            | SLV_Y13 | 1    |
|           | INV_SLV |            | SLV_Y14 | 1    |
|           | INV_SLV |            | SLV_Y15 | 1    |
|           | INV_SLV |            | SLV_Y16 | 1    |
|           | INV_SLV |            | SLV_Y2  | 1    |
|           | INV_SLV |            | SLV_Y3  | 1    |
|           | INV_SLV |            | SLV_Y4  | 1    |
|           | INV_SLV |            | SLV_Y5  | 1    |
|           | INV_SLV |            | SLV_Y6  | 1    |
| INV_SLV   |         | SLV_Y7     | 1       |      |
| INV_SLV   |         | SLV_Y8     | 1       |      |
| INV_SLV   |         | SLV_Y9     | 1       |      |
| INV_SLV   |         | SLV_Y12    | 1       |      |

## 8.-..SOLLECITAZIONI MASSIME

Di seguito si riportano, per il modello di calcolo, la rappresentazione grafica delle principali caratteristiche di sollecitazione a mezzo di diagrammi di involucro associati alle famiglie di combinazioni dei carichi.



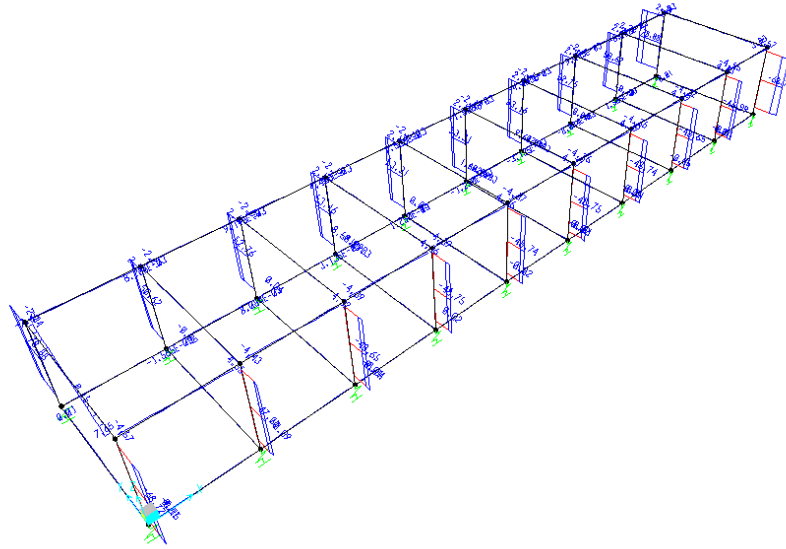
**Momento M3 - Involuppo SLU**



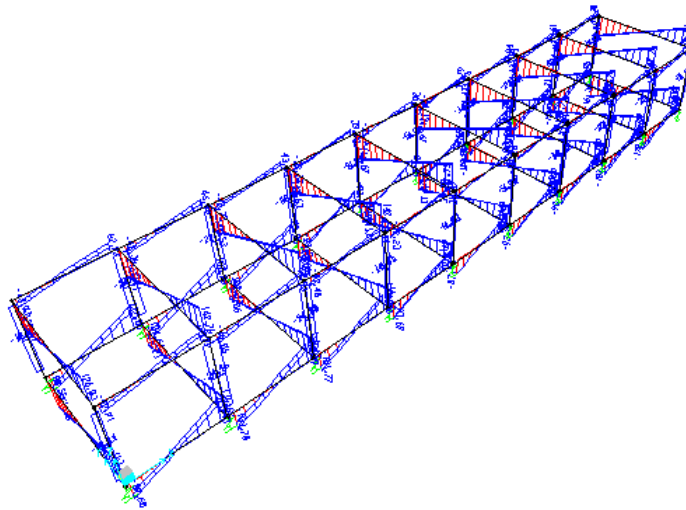
**Momento M2 - Involuppo SLU**

RELAZIONE DI CALCOLO FABBRICATO IS/PPM

| COMMESSA | LOTTO | CODIFICA | DOCUMENTO    | REV. | FOGLIO    |
|----------|-------|----------|--------------|------|-----------|
| RS3E     | 50    | D 78 CL  | FA 03 00 001 | A    | 54 di 111 |



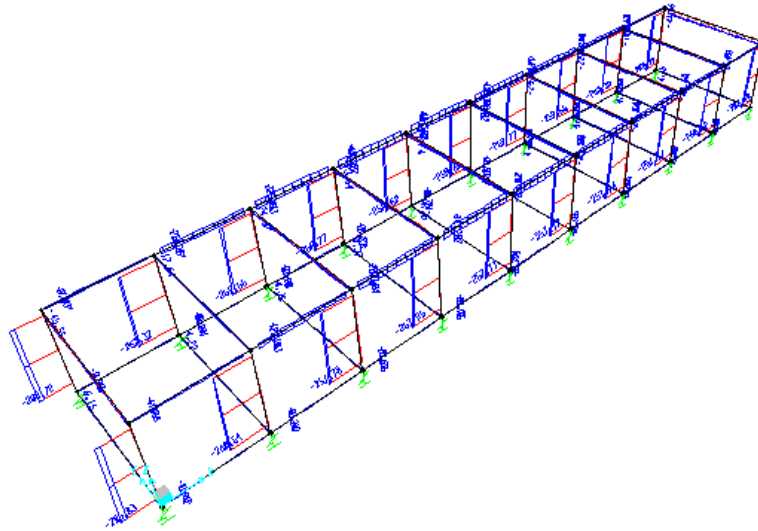
**Taglio V3 - Involuppo SLU**



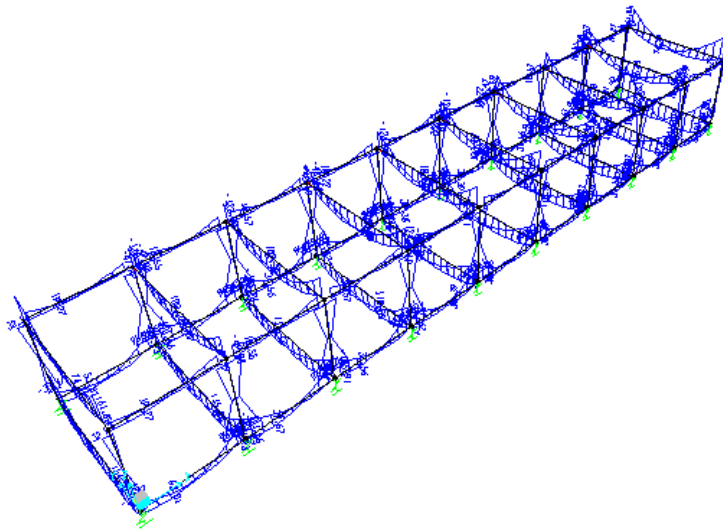
**Taglio V2 - Involuppo SLU**

RELAZIONE DI CALCOLO FABBRICATO IS/PPM

| COMMESSA | LOTTO | CODIFICA | DOCUMENTO    | REV. | FOGLIO    |
|----------|-------|----------|--------------|------|-----------|
| RS3E     | 50    | D 78 CL  | FA 03 00 001 | A    | 55 di 111 |



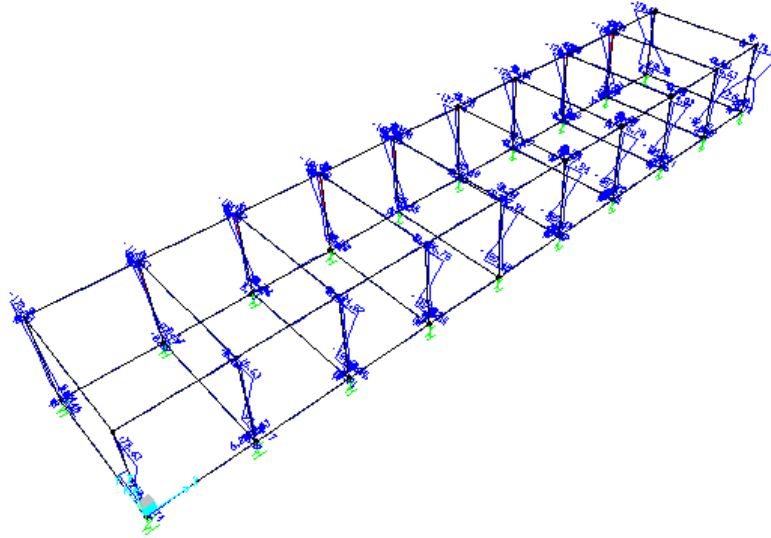
**Sforzo Normale N - Involuppo SLU**



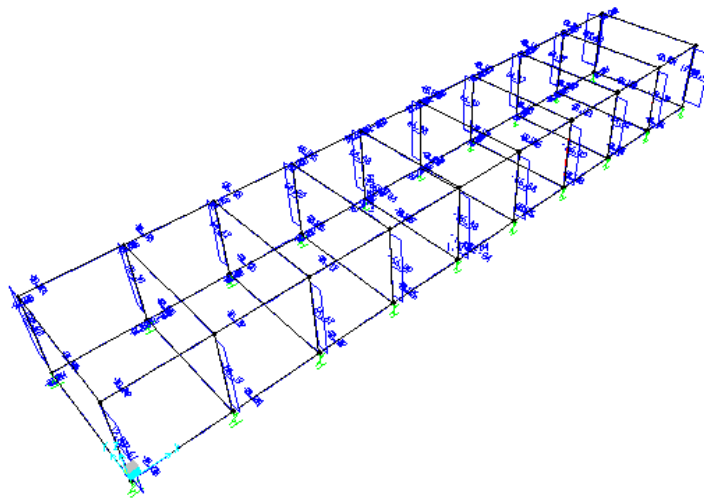
**Momento M3 - Involuppo SLV**

RELAZIONE DI CALCOLO FABBRICATO IS/PPM

| COMMESSA | LOTTO | CODIFICA | DOCUMENTO    | REV. | FOGLIO    |
|----------|-------|----------|--------------|------|-----------|
| RS3E     | 50    | D 78 CL  | FA 03 00 001 | A    | 56 di 111 |



**Momento M2 - Involuppo SLV**

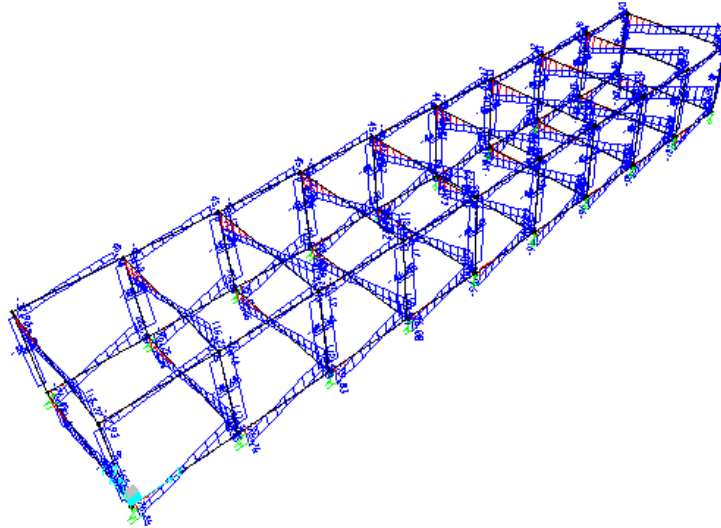


**Taglio V3 - Involuppo SLV**

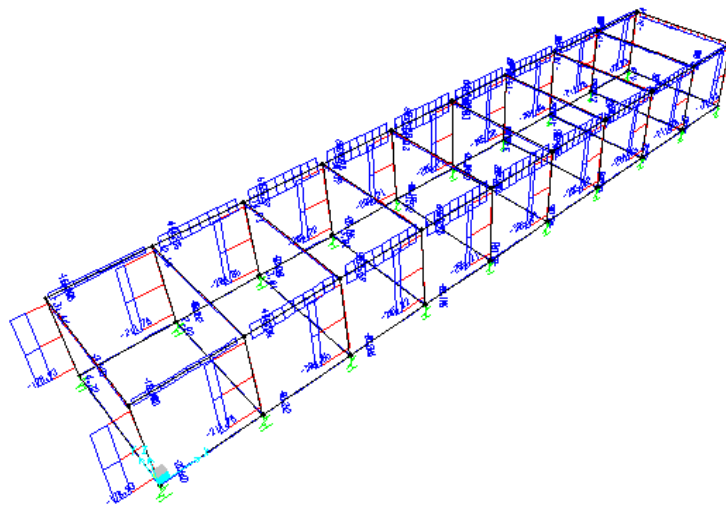


RELAZIONE DI CALCOLO FABBRICATO IS/PPM

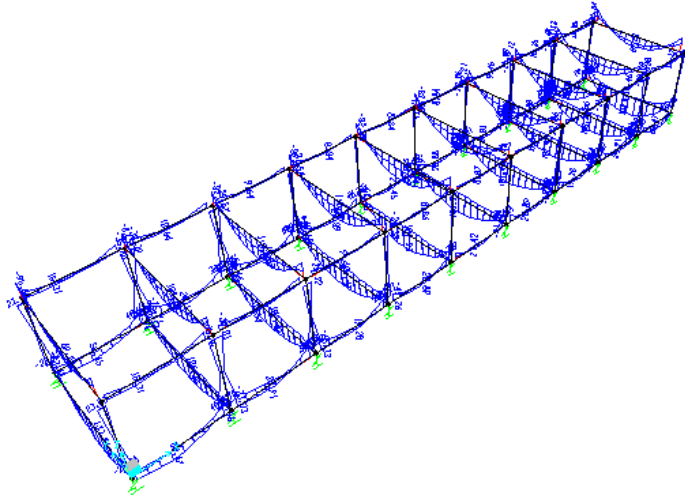
| COMMESSA | LOTTO | CODIFICA | DOCUMENTO    | REV. | FOGLIO    |
|----------|-------|----------|--------------|------|-----------|
| RS3E     | 50    | D 78 CL  | FA 03 00 001 | A    | 57 di 111 |



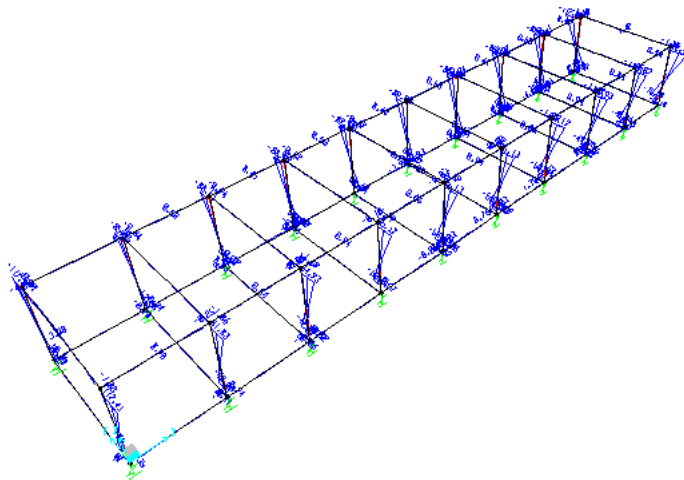
**Taglio V2 - Involuppo SLV**



**Sforzo Normale N - Involuppo SLV**



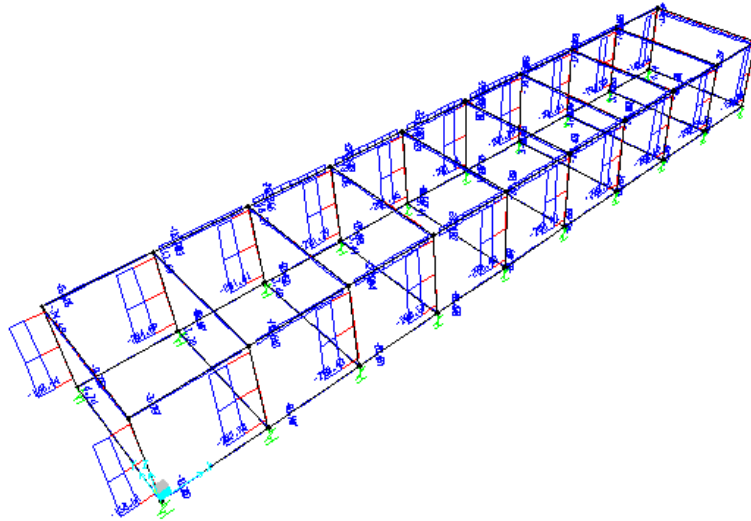
**Momento M3 - Involuppo SLER**



**Momento M2 - Involuppo SLER**

RELAZIONE DI CALCOLO FABBRICATO IS/PPM

| COMMESSA | LOTTO | CODIFICA | DOCUMENTO    | REV. | FOGLIO    |
|----------|-------|----------|--------------|------|-----------|
| RS3E     | 50    | D 78 CL  | FA 03 00 001 | A    | 59 di 111 |



**Sforzo Normale N - Involuppo SLER**

## 9.-..VERIFICA ELEMENTI STRUTTURALI

### 9.1.-..Travi elevazione 30x50cm

| Frame | Station | OutputCase | CaseType    | StepType | P   | V2   | V3 | T    | M2   | M3   | FrameElem | ElemStation |
|-------|---------|------------|-------------|----------|-----|------|----|------|------|------|-----------|-------------|
| Text  | m       | Text       | Text        | Text     | KN  | KN   | KN | KN-m | KN-m | KN-m | Text      | m           |
| 27    | 0.15    | INV_SLV    | Combination | Min      | -10 | -118 | 0  | 0    | 0    | -121 | 27-1      | 0.15        |
| 27    | 2.98    | INV_SLV    | Combination | Max      | -8  | 2    | 0  | 0    | 0    | 106  | 27-1      | 2.98        |
| 27    | 0.15    | INV_SLU    | Combination | Min      | -14 | -145 | 0  | 0    | 0    | -102 | 27-1      | 0.15        |
| 27    | 3.45    | INV_SLU    | Combination | Max      | -7  | 0    | 0  | 0    | 0    | 145  | 27-1      | 3.45        |
| 27    | 0.15    | INV_SLER   | Combination | Min      | -11 | -113 | 0  | 0    | 0    | -79  | 27-1      | 0.15        |
| 27    | 3.45    | INV_SLER   | Combination | Max      | -4  | 0    | 0  | 0    | 0    | 113  | 27-1      | 3.45        |
| 27    | 0.15    | INV_SLEF   | Combination | Min      | -9  | -103 | 0  | 0    | 0    | -68  | 27-1      | 0.15        |
| 27    | 3.45    | INV_SLEF   | Combination | Max      | -8  | 0    | 0  | 0    | 0    | 103  | 27-1      | 3.45        |
| 27    | 6.75    | SLEQP      | Combination |          | -9  | 102  | 0  | 0    | 0    | -66  | 27-1      | 6.75        |
| 27    | 3.45    | SLEQP      | Combination |          | -9  | 0    | 0  | 0    | 0    | 102  | 27-1      | 3.45        |

In funzione delle sollecitazioni si è dimensionata opportunamente l'armatura longitudinale della trave perimetrale tipo:

#### 1) Zone d'appoggio:

- Armatura superiore 5  $\Phi$  20
- Armatura inferiore 3  $\Phi$  20

#### 2) Campata:

- Armatura superiore 3  $\Phi$  20
- Armatura inferiore 5  $\Phi$  20

In aggiunta, fuori calcolo, andranno disposti 2  $\Phi$  12 come ferri di parete.

#### a) Verifica a flessione semplice:

Le verifiche di resistenza a flessione allo SLU (NTC2008 – 4.1.2.1.2.4) per le sezioni di appoggio e di campata sono state condotte con il supporto del software RC-SEC (che svolge in automatico anche il rispetto dei quantitativi minimi di norma) considerando le sollecitazioni riportate nei prospetti precedenti.

#### b) Verifica a taglio:

Al fine di escludere la formazione di meccanismi inelastici dovuti al taglio, le sollecitazioni di taglio di calcolo  $V_{Ed}$  si ottengono sommando il contributo dovuto ai carichi gravitazionali agenti sulla trave, considerata incernierata agli estremi, alle sollecitazioni di taglio corrispondenti alla formazione di cerniere plastiche nella trave e prodotte dai momenti resistenti (ultimi) delle due sezioni di plasticizzazione (generalmente quelle di estremità) amplificati del fattore di sovra resistenza  $\gamma_{Rd}$  assunto pari a 1.1 per CDB.

Deve risultare (NTC2008 – 4.1.2.1.3.2):

$$V_{Rd} > V_d$$

dove:

$V_d$  = Valore di calcolo del taglio agente;

$V_{Rd} = \min (V_{Rsd}, V_{Rcd})$

Con riferimento all'armatura trasversale, la resistenza di calcolo a "taglio trazione" si calcola con:

$$V_{Rsd} = 0.9 \cdot d \cdot \frac{A_{sw}}{s} \cdot f_{yd} \cdot (\text{ctg} \alpha + \text{ctg} \theta) \cdot \sin \alpha$$

Con riferimento al calcestruzzo d'anima, la resistenza di calcolo a "taglio compressione" si calcola con:

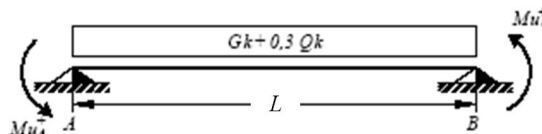
$$V_{Rcd} = 0.9 \cdot d \cdot b_w \cdot \alpha_c \cdot f'_{cd} \cdot (\text{ctg} \alpha + \text{ctg} \theta) / (1 + \text{ctg}^2 \theta)$$

dove:

$\alpha$  : Angolo d'inclinazione dell'armatura trasversale rispetto all'asse dell'elemento;

$\theta$  : Angolo d'inclinazione dei puntoni in calcestruzzo rispetto all'asse dell'elemento.

• **1° Schema:**

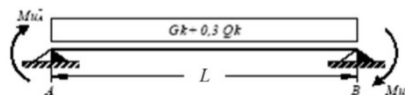


Il taglio è variabile linearmente lungo la trave ed è pari a:

$$V_A = \gamma_{Rd} \frac{Mu^+_A + Mu^+_B}{l_{trave}} + \frac{(G_k + 0,3Q_k) \cdot l_{trave}}{2}$$

$$V_B = \gamma_{Rd} \frac{Mu^+_A + Mu^+_B}{l_{trave}} - \frac{(G_k + 0,3Q_k) \cdot l_{trave}}{2}$$

• **2° Schema:**



Il taglio è variabile linearmente lungo la trave ed è pari a:

$$V_A = \gamma_{Rd} \frac{Mu^-_A + Mu^-_B}{l_{trave}} + \frac{(G_k + 0,3Q_k) \cdot l_{trave}}{2}$$

$$V_B = \gamma_{Rd} \frac{Mu^-_A + Mu^-_B}{l_{trave}} - \frac{(G_k + 0,3Q_k) \cdot l_{trave}}{2}$$

Si riporta di seguito un prospetto riepilogativo con i valori delle sollecitazioni taglianti ottenute seguendo la metodologia descritta e riportata negli schemi precedenti:

| Determinazione taglio di calcolo |       |      |                      |                      |                      |                      |
|----------------------------------|-------|------|----------------------|----------------------|----------------------|----------------------|
| Base                             | 0.30  | m    | $M_{uA}^{(+)}$ [kNm] | $M_{uB}^{(-)}$ [kNm] | $M_{uA}^{(-)}$ [kNm] | $M_{uB}^{(+)}$ [kNm] |
| Altezza                          | 0.50  | m    | 148.00               | -238.00              | -238.00              | 148.00               |
| $L_{trave}$                      | 6.90  | m    | 1° Schema            |                      | 2° Schema            |                      |
| $G_k$                            | 27.20 | kN/m | $V_A$ [kN]           | $V_B$ [kN]           | $V_A$ [kN]           | $V_B$ [kN]           |
| $\gamma_Q$                       | 0.30  |      | 141.03               | -46.65               | 17.96                | -169.72              |
| $Q_k$                            | 0.00  | kN/m |                      |                      |                      |                      |
| $\gamma_{Rd}$                    | 1.10  |      |                      |                      |                      |                      |

Si adotteranno nelle zone d'appoggio, per un tratto pari ad 0,80 m dal pilastro, staffe  $\Phi 10 / 10$  cm, mentre nelle zone centrali di campata rimanenti staffe  $\Phi 10/20$  cm.

c) Verifica limitazioni armatura:

Resta da verificare che l'armatura determinata in funzione delle sollecitazioni agenti rispetti le limitazioni riportate nel punto 7.4.6.2.1 delle NTC2008:

- almeno due barre di diametro non inferiore a 14 mm devono essere presenti superiormente e inferiormente per tutta la lunghezza della trave;
- in ogni sezione della trave, il rapporto geometrico  $\rho$  relativo all'armatura tesa, indipendentemente dal fatto che l'armatura tesa sia quella al lembo superiore della sezione  $A_s$  o quella al lembo inferiore della sezione  $A_i$ , deve essere compreso entro i seguenti limiti:

$$\frac{1,4}{f_{yk}} < \rho < \rho_{comp} + \frac{3,5}{f_{yk}}$$

dove:

$\rho$  è il rapporto geometrico relativo all'armatura tesa pari ad  $A_s/(b \cdot h)$  oppure ad  $A_i/(b \cdot h)$ ;

$\rho_{comp}$  è il rapporto geometrico relativo all'armatura compressa;

$f_{yk}$  è la tensione caratteristica di snervamento dell'acciaio (in MPa).

- l'armatura compressa non deve essere mai inferiore ad un quarto di quella tesa:

$$\rho_{comp} \geq 0.25 \rho$$

- nelle zone critiche della trave, inoltre, deve essere:

$$\rho_{comp} \geq 0.5 \rho$$

Le zone critiche si estendono, per CD"B", per una lunghezza pari a 1,5 volte l'altezza della sezione della trave, misurata a partire dalla faccia del nodo trave-pilastro o da entrambi i lati a partire dalla sezione di prima plasticizzazione.

- Nelle zone critiche devono essere previste staffe di contenimento. La prima staffa di contenimento deve distare non più di 5 cm dalla sezione a filo pilastro; le successive devono essere disposte ad un passo non superiore alla minore tra le grandezze seguenti:
  - un quarto dell'altezza utile della sezione trasversale;
  - 225 mm (per CD"B");
  - 8 volte il diametro minimo delle barre longitudinali considerate ai fini delle verifiche (per CD"B");
  - 24 volte il diametro delle armature trasversali.
 Per staffa di contenimento si intende una staffa rettangolare, circolare o a spirale, di diametro minimo 6 mm, con ganci a 135° prolungati per almeno 10 diametri alle due estremità. I ganci devono essere assicurati alle barre longitudinali.

Devono inoltre essere rispettati i limiti previsti per le travi in calcestruzzo in zona non sismica (punto 4.1.6.1.1 delle NTC2008):

- l'area dell'armatura longitudinale in zona tesa non deve essere inferiore a

$$A_{s,\min} = 0,26 \frac{f_{ctm}}{f_{yk}} b_t \cdot d$$

e comunque non minore di  $0,0013 b_t \cdot d$

dove:

$b_t$  rappresenta la larghezza media della zona tesa;

$d$  è l'altezza utile della sezione;

$f_{ctm}$  è il valore medio della resistenza a trazione assiale;

$f_{yk}$  è il valore caratteristico della resistenza a trazione dell'armatura ordinaria.

- negli appoggi di estremità all'intradosso deve essere disposta un'armatura efficacemente ancorata, calcolata per uno sforzo di trazione pari al taglio;
- al di fuori delle zone di sovrapposizione, l'area di armatura tesa o compressa non deve superare individualmente  $A_{s,\max} = 0,04 A_c$ , essendo  $A_c$  l'area della sezione trasversale di calcestruzzo.
- le travi devono prevedere armatura trasversale costituita da staffe con sezione complessiva non inferiore ad  $A_{st} = 1,5 b \text{ mm}^2/\text{m}$  essendo  $b$  lo spessore minimo dell'anima in millimetri, con un minimo di tre staffe al metro e comunque passo non superiore a 0,8 volte l'altezza utile della sezione;
- in ogni caso almeno il 50% dell'armatura necessaria per il taglio deve essere costituita da staffe.

Per le travi dell'edificio l'armatura a taglio è costituita solamente da staffe.  
Si riscontra, pertanto, che l'armatura della trave rispetta i limiti prescritti dalle NTC2008.

#### d) Verifiche agli stati limite di esercizio - SLE

Le verifiche nei confronti degli stati limite di esercizio degli elementi strutturali si effettuano in termini di:

- verifica di fessurazione;
- verifica delle tensioni di esercizio.

#### **Verifiche alle tensioni**

La verifica delle tensioni in esercizio consiste nel controllare il rispetto dei limiti tensionali previsti per il calcestruzzo e per l'acciaio per ciascuna delle combinazioni di carico caratteristiche "Rara" e "Quasi Permanente"; i valori tensionali nei materiali sono valutati secondo le note teorie di analisi delle sezioni in c.a. in campo elastico e con calcestruzzo "non reagente" adottando come limiti di riferimento, trattandosi nel caso in specie di opere Ferroviarie, quelli indicati nel documento "Specifica per la progettazione e l'esecuzione dei ponti ferroviari e di altre opere minori sotto binario RFI DTC INC PO SP IFS 001 A del 21-12-11", ovvero:

##### Strutture in c.a.

##### Tensioni di compressione del calcestruzzo

Devono essere rispettati i seguenti limiti per le tensioni di compressione nel calcestruzzo:

- per combinazione di carico caratteristica (rara):  $0,55 f_{ck}$ ;
- per combinazioni di carico quasi permanente:  $0,40 f_{ck}$ ;
- per spessori minori di 5 cm, le tensioni normali limite di esercizio sono ridotte del 30%.

##### Tensioni di trazione nell'acciaio

Per le armature ordinarie, la massima tensione di trazione sotto la combinazione di carico caratteristica (rara) non deve superare  $0,75 f_{yk}$ .

Per il caso in esame risulta in particolare :

##### Calcestruzzo:

$$\sigma_{\text{cmax QP}} = (0,40 f_{ck}) = \mathbf{11.2} \text{ MPa} \quad (\text{Combinazione di Carico Quasi Permanente})$$

$$\sigma_{\text{cmax R}} = (0,55 f_{ck}) = \mathbf{15.4} \text{ MPa} \quad (\text{Combinazione di Carico Caratteristica - Rara})$$

##### Acciaio:



$\sigma_s \max = (0,75 f_{yk}) = \mathbf{338}$  MPa      Combinazione di Carico  
Caratteristica(Rara)

### Verifiche a fessurazione

La verifica di fessurazione consiste nel controllare l'ampiezza dell'apertura delle fessure sotto combinazione di carico frequente e combinazione quasi permanente. Essendo la struttura a contatto col terreno si considerano condizioni ambientali aggressive; le armature di acciaio ordinario sono ritenute poco sensibili [NTC – Tabella 4.1.IV]

In relazione all'aggressività ambientale e alla sensibilità dell'acciaio, l'apertura limite delle fessure è riportato nel prospetto seguente:

**Tabella 1 – Criteri di scelta dello stato limite di fessurazione e Condizioni Ambientali**

| Gruppi di esigenza | Condizioni ambientali | Combinazione di azione | Armatura           |            |                |            |
|--------------------|-----------------------|------------------------|--------------------|------------|----------------|------------|
|                    |                       |                        | Sensibile          |            | Poco sensibile |            |
|                    |                       |                        | Stato limite       | wd         | Stato limite   | wd         |
| a                  | Ordinarie             | frequente              | ap. fessure        | $\leq w_2$ | ap. fessure    | $\leq w_3$ |
|                    |                       | quasi permanente       | ap. fessure        | $\leq w_1$ | ap. fessure    | $\leq w_2$ |
| b                  | Aggressive            | frequente              | ap. fessure        | $\leq w_1$ | ap. fessure    | $\leq w_2$ |
|                    |                       | quasi permanente       | decompressione     | -          | ap. fessure    | $\leq w_1$ |
| c                  | Molto Aggressive      | frequente              | formazione fessure | -          | ap. fessure    | $\leq w_1$ |
|                    |                       | quasi permanente       | decompressione     | -          | ap. fessure    | $\leq w_1$ |

Tabella 4.1.III – Descrizione delle condizioni ambientali

| CONDIZIONI AMBIENTALI | CLASSE DI ESPOSIZIONE             |
|-----------------------|-----------------------------------|
| Ordinarie             | X0, XC1, XC2, XC3, XF1            |
| Aggressive            | XC4, XD1, XS1, XA1, XA2, XF2, XF3 |
| Molto aggressive      | XD2, XD3, XS2, XS3, XA3, XF4      |

Risultando:

$w_1 = 0.2$  mm

$w_2 = 0.3$  mm

$w_3 = 0.4$  mm

Alle prescrizioni normative presenti in NTC si sostituiscono in tal caso quelle fornite dal "Manuale di Progettazione delle Opere Civili" secondo cui la verifica nei confronti dello stato limite di apertura delle fessure va effettuata utilizzando le sollecitazioni derivanti dalla combinazione caratteristica (rara).

Per strutture in condizioni ambientali aggressive o molto aggressive, qual è il caso delle strutture in esame così come identificate nel par. 4.1.2.2.4.2 del DM 14.1.2008, per tutte le strutture a permanente contatto con il terreno e per le zone non ispezionabili di tutte le strutture, l'apertura convenzionale delle fessure dovrà risultare:

– Combinazione Caratteristica (Rara)       $\delta_f \leq w_1 = 0.2$  mm

Riguardo infine il valore di calcolo delle fessure da confrontare con i valori limite fissati dalla

norma, si è utilizzata la procedura del D.M. 9 gennaio 1996, in accordo a quanto previsto al punto " C4.1.2.2.4.6 Verifica allo stato limite di fessurazione" della Circolare n.617/09.

### 9.1.1.-..Tabulato di verifica SLU - SLE e taglio – ZONA APPOGGIO

#### DATI GENERALI SEZIONE RETTANGOLARE DI PILASTRO IN C.A.

NOME SEZIONE: trave appoggio

(Percorso File: Z:\0147 Sicilia\LAVORO\Provvisori\04\_Verifiche\Strutture\PM Palomba - FA02 1+160\trave appoggio.sez)

|                               |                               |
|-------------------------------|-------------------------------|
| Descrizione Sezione:          |                               |
| Metodo di calcolo resistenza: | Stati Limite Ultimi           |
| Normativa di riferimento:     | N.T.C.                        |
| Tipologia sezione:            | Sezione predefinita di Trave  |
| Forma della sezione:          | Rettangolare                  |
| Percorso sollecitazione:      | A Sforzo Norm. costante       |
| Condizioni Ambientali:        | Poco aggressive               |
| Riferimento Sforzi assegnati: | Assi x,y principali d'inerzia |
| Riferimento alla sismicità:   | Zona sismica (CD'B')          |
| Posizione sezione nell'asta:  | In zona critica               |

#### CARATTERISTICHE DI RESISTENZA DEI MATERIALI IMPIEGATI

|                        |   |                     |
|------------------------|---|---------------------|
| CALCESTRUZZO -         | Classe:                                       | C28/35              |
|                        | Resistenza compress. di progetto fcd:         | 15.86 MPa           |
|                        | Resistenza compress. ridotta fcd':            | 7.930 MPa           |
|                        | Deform. unitaria max resistenza ec2:          | 0.0020              |
|                        | Deformazione unitaria ultima ecu:             | 0.0035              |
|                        | Diagramma tensioni-deformaz.:                 | Parabola-Rettangolo |
|                        | Modulo Elastico Normale Ec:                   | 32308.0 MPa         |
|                        | Resis. media a trazione fctm:                 | 2.760 MPa           |
|                        | Coeff.Omogen. S.L.E.:                         | 15.00               |
|                        | Sc limite S.L.E. comb. Rare:                  | 15.400 MPa          |
|                        | Sc limite S.L.E. comb. Frequenti:             | 15.400 MPa          |
|                        | Ap.Fessure limite S.L.E. comb. Frequenti:     | 0.200 mm            |
|                        | Sc limite S.L.E. comb. Q.Permanenti:          | 11.200 MPa          |
|                        | Ap.Fess.limite S.L.E. comb. Q.Perm.:          | 0.200 mm            |
| ACCIAIO -              | Tipo:   | B450C               |
|                        | Resist. caratt. a snervamento fyk:            | 450.00 MPa          |
|                        | Resist. caratt. a rottura ftk:                | 450.00 MPa          |
|                        | Resist. a snerv. di progetto fyd:             | 391.30 MPa          |
|                        | Resist. ultima di progetto ftd:               | 391.30 MPa          |
|                        | Deform. ultima di progetto Epu:               | 0.068               |
|                        | Modulo Elastico Ef:                           | 200000.0 MPa        |
|                        | Diagramma tensioni-deformaz.:                 | Bilineare finito    |
|                        | Coeff. Aderenza istant. $\beta_1 \beta_2$ :   | 1.00                |
|                        | Coeff. Aderenza differito $\beta_1 \beta_2$ : | 0.50                |
| Comb.Rare - Sf Limite: | 337.50 MPa                                    |                     |

#### CARATTERISTICHE GEOMETRICHE ED ARMATURE SEZIONE

|                                |      |                         |
|--------------------------------|------|-------------------------|
| Base:                          | 30.0 | cm                      |
| Altezza:                       | 50.0 | cm                      |
| Barre inferiori:               | 3Ø20 | (9.4 cm <sup>2</sup> )  |
| Barre superiori:               | 5Ø20 | (15.7 cm <sup>2</sup> ) |
| Coprif.Inf.(dal baric. barre): | 6.0  | cm                      |
| Coprif.Sup.(dal baric. barre): | 6.0  | cm                      |

RELAZIONE DI CALCOLO FABBRICATO IS/PPM

| COMMESSA | LOTTO | CODIFICA | DOCUMENTO    | REV. | FOGLIO    |
|----------|-------|----------|--------------|------|-----------|
| RS3E     | 50    | D 78 CL  | FA 03 00 001 | A    | 67 di 111 |

Coprif.Lat. (dal baric.barre): 6.0 cm

#### CALCOLO DI RESISTENZA - SFORZI PER OGNI COMBINAZIONE ASSEGNATA

N Sforzo normale [kN] applicato nel baricentro (posit. se di compress.)  
Mx Momento flettente [kNm] intorno all'asse x baric. della sezione con verso positivo se tale da comprimere il lembo sup. della sezione  
Vy Taglio [kN] in direzione parallela all'asse Y del riferim. generale  
MT Momento torcente [kN m]

| N°Comb. | N      | Mx      | Vy     | MT   |
|---------|--------|---------|--------|------|
| 1       | -10.00 | -121.00 | 118.00 | 0.00 |
| 2       | -14.00 | -102.00 | 145.00 | 0.00 |
| 3       | 0.00   | 1.00    | 0.00   | 0.00 |
| 4       | 0.00   | 0.10    | 169.72 | 0.00 |

#### COMB. RARE (S.L.E.) - SFORZI PER OGNI COMBINAZIONE ASSEGNATA

N Sforzo normale [kN] applicato nel baricentro (positivo se di compress.)  
Mx Coppia [kNm] applicata all'asse x baricentrico (tra parentesi il Momento di fessurazione) con verso positivo se tale da comprimere il lembo superiore della sezione

| N°Comb. | N      | Mx     |
|---------|--------|--------|
| 1       | -11.00 | -79.00 |

#### COMB. FREQUENTI (S.L.E.) - SFORZI PER OGNI COMBINAZIONE ASSEGNATA

N Sforzo normale [kN] applicato nel baricentro (positivo se di compress.)  
Mx Coppia [kNm] applicata all'asse x baricentrico (tra parentesi il Momento di fessurazione) con verso positivo se tale da comprimere il lembo superiore della sezione

| N°Comb. | N     | Mx              |
|---------|-------|-----------------|
| 1       | -9.00 | -68.00 (-50.69) |

#### COMB. QUASI PERMANENTI (S.L.E.) - SFORZI PER OGNI COMBINAZIONE ASSEGNATA

N Sforzo normale [kN] applicato nel baricentro (positivo se di compress.)  
Mx Coppia [kNm] applicata all'asse x baricentrico (tra parentesi il Momento di fessurazione) con verso positivo se tale da comprimere il lembo superiore della sezione

| N°Comb. | N     | Mx              |
|---------|-------|-----------------|
| 1       | -9.00 | -66.00 (-50.68) |

#### RISULTATI DEL CALCOLO

##### Sezione verificata per tutte le combinazioni assegnate

Copriferro netto minimo barre longitudinali: 5.0 cm  
Interferro netto minimo barre longitudinali: 2.5 cm  
Copriferro netto minimo staffe: 4.0 cm

#### VERIFICHE DI RESISTENZA IN PRESSO-TENSO FLESSIONE ALLO STATO LIMITE ULTIMO

Ver S = combinazione verificata / N = combin. non verificata  
N Sforzo normale baricentrico assegnato [kN] (positivo se di compressione)  
Mx Momento flettente assegnato [kNm] riferito all'asse x baricentrico  
N Ult Sforzo normale alla massima resistenza [kN] nella sezione (positivo se di compress.)  
Mx rd Momento resistente ultimo [kNm] riferito all'asse x baricentrico

RELAZIONE DI CALCOLO FABBRICATO IS/PPM

| COMMESSA | LOTTO | CODIFICA | DOCUMENTO    | REV. | FOGLIO    |
|----------|-------|----------|--------------|------|-----------|
| RS3E     | 50    | D 78 CL  | FA 03 00 001 | A    | 68 di 111 |

Mis.Sic. Misura sicurezza = rapporto vettoriale tra (N rd,Mx rd) e (N,Mx)  
Verifica positiva se tale rapporto risulta  $\geq 1.000$   
Yn Ordinata [cm] dell'asse neutro alla massima resistenza nel sistema di rif. X,Y,O sez.  
x/d Rapp. di duttilità (travi e solette)[§ 4.1.2.1.2.1 NTC]: deve essere  $< 0.45$   
C.Rid. Coeff. di riduz. momenti in travi continue [formula (4.1.1)NTC]

| N°Comb | Ver | N      | Mx      | N rd   | Mx rd   | Mis.Sic. | Yn   | x/d  | C.Rid. |            |
|--------|-----|--------|---------|--------|---------|----------|------|------|--------|------------|
| 1      | S   | -10.00 | -121.00 | -10.03 | -239.19 | 1.981    | 9.4  | 0.21 | 0.71   | 15.7 (4.7) |
| 2      | S   | -14.00 | -102.00 | -14.06 | -238.46 | 2.347    | 9.4  | 0.21 | 0.71   | 15.7 (4.7) |
| 3      | S   | 0.00   | 1.00    | -0.12  | 148.40  | 148.403  | 43.3 | 0.15 | 0.70   | 9.4 (4.7)  |
| 4      | S   | 0.00   | 0.10    | -0.12  | 148.40  | 1484.030 | 43.3 | 0.15 | 0.70   | 9.4 (4.7)  |

**DEFORMAZIONI UNITARIE ALLO STATO LIMITE ULTIMO**

ec max Deform. unit. massima del conglomerato a compressione  
Yc max Ordinata in cm della fibra corrisp. a ec max (sistema rif. X,Y,O sez.)  
es min Deform. unit. minima nell'acciaio (negativa se di trazione)  
Ys min Ordinata in cm della barra corrisp. a es min (sistema rif. X,Y,O sez.)  
es max Deform. unit. massima nell'acciaio (positiva se di compressione)  
Ys max Ordinata in cm della barra corrisp. a es max (sistema rif. X,Y,O sez.)

| N°Comb | ec max  | Yc max | es min  | Ys min | es max   | Ys max |
|--------|---------|--------|---------|--------|----------|--------|
| 1      | 0.00350 | 0.0    | 0.00128 | 6.0    | -0.01280 | 44.0   |
| 2      | 0.00350 | 0.0    | 0.00127 | 6.0    | -0.01289 | 44.0   |
| 3      | 0.00350 | 50.0   | 0.00036 | 44.0   | -0.01956 | 6.0    |
| 4      | 0.00350 | 50.0   | 0.00036 | 44.0   | -0.01956 | 6.0    |

**LARGHEZZA MINIMA hc [cm] DEL PILASTRO DI APPOGGIO PER EVITARE LO SCORRIMENTO DELLE BARRE [eq(7.4.26) NTC]**

Diametro barre superiori: 20 mm  
Ro: 0.0105 % area tesa barre superiori  
Ro': 0.0063 % area barre inferiori compresse  
v 0.00-0.50 sforzo assiale normalizzato nel pilastro =  $N/(fcd \cdot Ac)$

|              | hc(v=0.00) | hc(v=0.05) | hc(v=0.10) | hc(v=0.15) | hc(v=0.20) | hc(v=0.25) | hc(v=0.30) | hc(v=0.40) | hc(v=0.50) |
|--------------|------------|------------|------------|------------|------------|------------|------------|------------|------------|
| Nodo interno | 50         | 48         | 46         | 44         | 43         | 41         | 40         | 37         | 35         |
| Nodo esterno | 38         | 37         | 36         | 34         | 33         | 32         | 31         | 29         | 28         |

**ARMATURE A TAGLIO E/O TORSIONE DI INVILUPPO PER LE COMBINAZIONI ASSEGNATE**

Diametro staffe: 10 mm  
Passo staffe: 10.0 cm [Passo massimo di normativa = 11.0 cm]  
N.Bracci staffe: 2  
Area staffe/m : 15.7 cm<sup>2</sup>/m [Area Staffe Minima NTC = 4.5 cm<sup>2</sup>/m]

**VERIFICHE A TAGLIO E DUTTILITA'**

Ver S = comb.verificata a taglio-tors./ N = comb. non verificata  
Ved Taglio agente [kN] uguale al taglio Vy di comb. (sollecit. retta)  
Vrd Taglio resistente [kN] in assenza di staffe [formula (4.1.23)NTC]  
Vcd Taglio compressione resistente [kN] lato conglomerato [formula (4.1.28)NTC]  
Vvd Taglio trazione resistente [kN] assorbito dalle staffe [formula (4.1.27)NTC]  
bw/d Larghezza minima [cm] sezione misurata parallelam. all'asse neutro | Altezza utile sezione  
Ctg Cotangente dell'angolo di inclinazione dei puntoni di conglomerato  
Acw Coefficiente maggiorativo della resistenza a taglio per compressione

RELAZIONE DI CALCOLO FABBRICATO IS/PPM

| COMMESSA | LOTTO | CODIFICA | DOCUMENTO    | REV. | FOGLIO    |
|----------|-------|----------|--------------|------|-----------|
| RS3E     | 50    | D 78 CL  | FA 03 00 001 | A    | 69 di 111 |

Owd Rapporto meccanico di armatura staffe+legature nelle due direzioni: eq. (7.4.30)NTC  
(il suo prodotto per il fattore Alfa di efficienza deve risultare superiore al secondo membro della (7.4.30)NTC)  
(tra parentesi è indicato il rapporto meccanico complessivo minimo di normativa)

| N°Comb | Ver | Ved    | Vrd   | Vcd    | Vwd    | bw  d      | Ctg   | Acw   | Owd |
|--------|-----|--------|-------|--------|--------|------------|-------|-------|-----|
| 1      | S   | 118.00 | 0.00  | 324.87 | 608.51 | 30.0  44.0 | 2.500 | 1.000 | 3.0 |
| 2      | S   | 145.00 | 0.00  | 324.87 | 608.51 | 30.0  44.0 | 2.500 | 1.000 | 3.7 |
| 3      | S   | 0.00   | 71.97 | 471.05 | 243.40 | 30.0  44.0 | 1.000 | 1.000 | 0.0 |
| 4      | S   | 169.72 | 71.97 | 324.87 | 608.51 | 30.0  44.0 | 2.500 | 1.000 | 4.4 |

**COMBINAZIONI RARE IN ESERCIZIO - VERIFICA MASSIME TENSIONI NORMALI**

Ver S = combinazione verificata / N = combin. non verificata  
Sc max Massima tensione di compress.(+) nel conglom. in fase fessurata ([Mpa]  
Yc max Ordinata in cm della fibra corrisp. a Sc max (sistema rif. X,Y,O)  
Sc min Minima tensione di compress.(+) nel conglom. in fase fessurata ([Mpa]  
Yc min Ordinata in cm della fibra corrisp. a Sc min (sistema rif. X,Y,O)  
Sf min Minima tensione di trazione (-) nell'acciaio [Mpa]  
Ys min Ordinata in cm della barra corrisp. a Sf min (sistema rif. X,Y,O)  
Dw Eff. Spessore di conglomerato [cm] in zona tesa considerata aderente alle barre  
Ac eff. Area di congl. [cm<sup>2</sup>] in zona tesa aderente alle barre (verifica fess.)  
As eff. Area Barre tese di acciaio [cm<sup>2</sup>] ricadente nell'area efficace(verifica fess.)  
D barre Distanza in cm tra le barre tese efficaci.  
(D barre = 0 indica spaziatura superiore a 5(c+Ø/2) e nel calcolo di fess. si usa la (C4.1.11)NTC/(7.14)EC2)

| N°Comb | Ver | Sc max | Yc max | Sc min | Yc min | Sf min | Ys min | Dw Eff. | Ac Eff. | As Eff. | D barre |
|--------|-----|--------|--------|--------|--------|--------|--------|---------|---------|---------|---------|
| 1      | S   | 5.77   | 0.0    | 0.00   | 17.2   | -135.2 | 6.0    | 10.9    | 328     | 15.7    | 4.5     |

**COMBINAZIONI RARE IN ESERCIZIO - VERIFICA APERTURA FESSURE (NTC/EC2)**

Ver Esito verifica  
e1 Minima deformazione unitaria (trazione: segno -) nel calcestruzzo in sez. fessurata  
e2 Massima deformazione unitaria (compress.: segno +) nel calcestruzzo in sez. fessurata  
K2 = 0.5 per flessione;  $=(e1 + e2)/(2 \cdot e2)$  in trazione eccentrica per la (7.13)EC2 e la (C4.1.11)NTC  
Kt fattore di durata del carico di cui alla (7.9) dell'EC2  
e sm Deformazione media acciaio tra le fessure al netto di quella del cls. Tra parentesi il valore minimo = 0.6 Ss/Es  
srm Distanza massima in mm tra le fessure  
wk Apertura delle fessure in mm fornito dalla (7.8)EC2 e dalla (C4.1.7)NTC. Tra parentesi è indicato il valore limite.  
M fess. Momento di prima fessurazione [kNm]

| N°Comb | Ver | e1       | e2      | K2   | Kt   | e sm                | srm | wk           | M Fess. |
|--------|-----|----------|---------|------|------|---------------------|-----|--------------|---------|
| 1      | S   | -0.00083 | 0.00043 | 0.50 | 0.60 | 0.000451 (0.000405) | 241 | 0.109 (0.20) | -50.66  |

**COMBINAZIONI FREQUENTI IN ESERCIZIO - VERIFICA MASSIME TENSIONI NORMALI**

| N°Comb | Ver | Sc max | Yc max | Sc min | Yc min | Sf min | Ys min | Dw Eff. | Ac Eff. | As Eff. | D barre |
|--------|-----|--------|--------|--------|--------|--------|--------|---------|---------|---------|---------|
| 1      | S   | 4.97   | 0.0    | 0.00   | 17.2   | -116.2 | 6.0    | 10.9    | 328     | 15.7    | 4.5     |

**COMBINAZIONI FREQUENTI IN ESERCIZIO - VERIFICA APERTURA FESSURE (NTC/EC2)**

| N°Comb | Ver | e1       | e2      | K2   | Kt   | e sm                | srm | wk           | M Fess. |
|--------|-----|----------|---------|------|------|---------------------|-----|--------------|---------|
| 1      | S   | -0.00071 | 0.00037 | 0.50 | 0.60 | 0.000357 (0.000349) | 241 | 0.086 (0.20) | -50.69  |

**COMBINAZIONI QUASI PERMANENTI IN ESERCIZIO - VERIFICA MASSIME TENSIONI NORMALI**

| N°Comb | Ver | Sc max | Yc max | Sc min | Yc min | Sf min | Ys min | Dw Eff. | Ac Eff. | As Eff. | D barre |
|--------|-----|--------|--------|--------|--------|--------|--------|---------|---------|---------|---------|
|--------|-----|--------|--------|--------|--------|--------|--------|---------|---------|---------|---------|

RELAZIONE DI CALCOLO FABBRICATO IS/PPM

| COMMESSA | LOTTO | CODIFICA | DOCUMENTO    | REV. | FOGLIO    |
|----------|-------|----------|--------------|------|-----------|
| RS3E     | 50    | D 78 CL  | FA 03 00 001 | A    | 70 di 111 |

1 S 4.82 0.0 0.00 17.2 -112.9 6.0 10.9 328 15.7 4.5

**COMBINAZIONI QUASI PERMANENTI IN ESERCIZIO - VERIFICA APERTURA FESSURE (NTC/EC2)**

| N°Comb | Ver | e1       | e2      | K2   | Kt   | e sm                | srm | wk           | M Fess. |
|--------|-----|----------|---------|------|------|---------------------|-----|--------------|---------|
| 1      | S   | -0.00069 | 0.00036 | 0.50 | 0.40 | 0.000415 (0.000339) | 241 | 0.100 (0.20) | -50.68  |

**9.1.2.-..Tabulato di verifica SLU - SLE – CAMPATA**

**DATI GENERALI SEZIONE RETTANGOLARE DI PILASTRO IN C.A.**

NOME SEZIONE: trave campata

(Percorso File: Z:\0147 Sicilia\LAVORO\Provvisori\04\_Verifiche\Strutture\PM Palomba - FA02 1+160\trave campata.sez)

|                               |                               |
|-------------------------------|-------------------------------|
| Descrizione Sezione:          |                               |
| Metodo di calcolo resistenza: | Stati Limite Ultimi           |
| Normativa di riferimento:     | N.T.C.                        |
| Tipologia sezione:            | Sezione predefinita di Trave  |
| Forma della sezione:          | Rettangolare                  |
| Percorso sollecitazione:      | A Sforzo Norm. costante       |
| Condizioni Ambientali:        | Poco aggressive               |
| Riferimento Sforzi assegnati: | Assi x,y principali d'inerzia |
| Riferimento alla sismicità:   | Zona sismica (CD'B')          |
| Posizione sezione nell'asta:  | Non in zona critica           |

**CARATTERISTICHE DI RESISTENZA DEI MATERIALI IMPIEGATI**

|                                      |   |                     |
|--------------------------------------|---|---------------------|
| CALCESTRUZZO -                       | Classe:                                   | C28/35              |
|                                      | Resistenza compress. di progetto fcd:     | 15.86 MPa           |
|                                      | Resistenza compress. ridotta fcd':        | 7.930 MPa           |
|                                      | Deform. unitaria max resistenza ec2:      | 0.0020              |
|                                      | Deformazione unitaria ultima ecu:         | 0.0035              |
|                                      | Diagramma tensioni-deformaz.:             | Parabola-Rettangolo |
|                                      | Modulo Elastico Normale Ec:               | 32308.0 MPa         |
|                                      | Resis. media a trazione fctm:             | 2.760 MPa           |
|                                      | Coeff.Omogen. S.L.E.:                     | 15.00               |
|                                      | Sc limite S.L.E. comb. Rare:              | 15.400 MPa          |
|                                      | Sc limite S.L.E. comb. Frequenti:         | 15.400 MPa          |
|                                      | Ap.Fessure limite S.L.E. comb. Frequenti: | 0.200 mm            |
|                                      | Sc limite S.L.E. comb. Q.Permanenti:      | 11.200 MPa          |
| Ap.Fess.limite S.L.E. comb. Q.Perm.: | 0.200 mm                                  |                     |
| ACCIAIO -                            | Tipo:                                     | B450C               |
|                                      | Resist. caratt. a snervamento fyk:        | 450.00 MPa          |
|                                      | Resist. caratt. a rottura ftk:            | 450.00 MPa          |
|                                      | Resist. a snerv. di progetto fyd:         | 391.30 MPa          |
|                                      | Resist. ultima di progetto ftd:           | 391.30 MPa          |
| Deform. ultima di progetto Epu:      | 0.068                                     |                     |

RELAZIONE DI CALCOLO FABBRICATO IS/PPM

| COMMESSA | LOTTO | CODIFICA | DOCUMENTO    | REV. | FOGLIO    |
|----------|-------|----------|--------------|------|-----------|
| RS3E     | 50    | D 78 CL  | FA 03 00 001 | A    | 71 di 111 |

|   |                  |     |
|---|------------------|-----|
| Modulo Elastico Ef:                                 | 200000.0         | MPa |
| Diagramma tensioni-deformaz.:                       | Bilineare finito |     |
| Coeff. Aderenza istant. $\beta_1 \cdot \beta_2$ :   | 1.00             |     |
| Coeff. Aderenza differito $\beta_1 \cdot \beta_2$ : | 0.50             |     |
| Comb.Rare - Sf Limite:                              | 337.50           | MPa |

**CARATTERISTICHE GEOMETRICHE ED ARMATURE SEZIONE**

|                                |      |                         |
|--------------------------------|------|-------------------------|
| Base:                          | 30.0 | cm                      |
| Altezza:                       | 50.0 | cm                      |
| Barre inferiori:               | 5Ø20 | (15.7 cm <sup>2</sup> ) |
| Barre superiori:               | 3Ø20 | (9.4 cm <sup>2</sup> )  |
| Coprif.Inf.(dal baric. barre): | 6.0  | cm                      |
| Coprif.Sup.(dal baric. barre): | 6.0  | cm                      |
| Coprif.Lat. (dal baric.barre): | 6.0  | cm                      |

**CALCOLO DI RESISTENZA - SFORZI PER OGNI COMBINAZIONE ASSEGNATA**

|    |  |  |  |  |
|----|--|--|--|--|
| N  | Sforzo normale [kN] applicato nel baricentro (posit. se di compress.)  |  |  |  |
| Mx | Momento flettente [kNm] intorno all'asse x baric. della sezione con verso positivo se tale da comprimere il lembo sup. della sezione |  |  |  |
| Vy | Taglio [kN] in direzione parallela all'asse Y del riferim. generale  |  |  |  |
| MT | Momento torcente [kN m]  |  |  |  |

| N°Comb. | N     | Mx     | Vy   | MT   |
|---------|-------|--------|------|------|
| 1       | -8.00 | 106.00 | 2.00 | 0.00 |
| 2       | -7.00 | 145.00 | 0.00 | 0.00 |

**COMB. RARE (S.L.E.) - SFORZI PER OGNI COMBINAZIONE ASSEGNATA**

|    |   |  |
|----|---|--|
| N  | Sforzo normale [kN] applicato nel baricentro (positivo se di compress.)   |  |
| Mx | Coppia [kNm] applicata all'asse x baricentrico (tra parentesi il Momento di fessurazione) con verso positivo se tale da comprimere il lembo superiore della sezione |  |

| N°Comb. | N     | Mx     |
|---------|-------|--------|
| 1       | -4.00 | 113.00 |

**COMB. FREQUENTI (S.L.E.) - SFORZI PER OGNI COMBINAZIONE ASSEGNATA**

|    |   |  |
|----|---|--|
| N  | Sforzo normale [kN] applicato nel baricentro (positivo se di compress.)   |  |
| Mx | Coppia [kNm] applicata all'asse x baricentrico (tra parentesi il Momento di fessurazione) con verso positivo se tale da comprimere il lembo superiore della sezione |  |

| N°Comb. | N     | Mx             |
|---------|-------|----------------|
| 1       | -8.00 | 103.00 (50.94) |

**COMB. QUASI PERMANENTI (S.L.E.) - SFORZI PER OGNI COMBINAZIONE ASSEGNATA**

|    |   |  |
|----|---|--|
| N  | Sforzo normale [kN] applicato nel baricentro (positivo se di compress.)   |  |
| Mx | Coppia [kNm] applicata all'asse x baricentrico (tra parentesi il Momento di fessurazione) con verso positivo se tale da comprimere il lembo superiore della sezione |  |

| N°Comb. | N     | Mx             |
|---------|-------|----------------|
| 1       | -9.00 | 102.00 (50.89) |

**RISULTATI DEL CALCOLO**





RELAZIONE DI CALCOLO FABBRICATO IS/PPM

| COMMESSA | LOTTO | CODIFICA | DOCUMENTO    | REV. | FOGLIO    |
|----------|-------|----------|--------------|------|-----------|
| RS3E     | 50    | D 78 CL  | FA 03 00 001 | A    | 73 di 111 |

|   |   |      |      |        |        |      |      |       |       |     |
|---|---|------|------|--------|--------|------|------|-------|-------|-----|
| 1 | S | 2.00 | 0.00 | 324.87 | 304.25 | 30.0 | 44.0 | 2.500 | 1.000 | 0.1 |
| 2 | S | 0.00 | 0.00 | 471.05 | 121.70 | 30.0 | 44.0 | 1.000 | 1.000 | 0.0 |

**COMBINAZIONI RARE IN ESERCIZIO - VERIFICA MASSIME TENSIONI NORMALI**

|         |  |
|---------|--|
| Ver     | S = combinazione verificata / N = combin. non verificata   |
| Sc max  | Massima tensione di compress.(+) nel conglom. in fase fessurata ([Mpa]   |
| Yc max  | Ordinata in cm della fibra corrisp. a Sc max (sistema rif. X,Y,O)  |
| Sc min  | Minima tensione di compress.(+) nel conglom. in fase fessurata ([Mpa]  |
| Yc min  | Ordinata in cm della fibra corrisp. a Sc min (sistema rif. X,Y,O)  |
| Sf min  | Minima tensione di trazione (-) nell'acciaio [Mpa]   |
| Ys min  | Ordinata in cm della barra corrisp. a Sf min (sistema rif. X,Y,O)  |
| Dw Eff. | Spessore di conglomerato [cm] in zona tesa considerata aderente alle barre   |
| Ac eff. | Area di congl. [cm <sup>2</sup> ] in zona tesa aderente alle barre (verifica fess.)  |
| As eff. | Area Barre tese di acciaio [cm <sup>2</sup> ] ricadente nell'area efficace(verifica fess.)   |
| D barre | Distanza in cm tra le barre tese efficaci.<br>(D barre = 0 indica spaziatura superiore a 5(c+Ø/2) e nel calcolo di fess. si usa la (C4.1.11)NTC/(7.14)EC2) |

| N°Comb | Ver | Sc max | Yc max | Sc min | Yc min | Sf min | Ys min | Dw Eff. | Ac Eff. | As Eff. | D barre |
|--------|-----|--------|--------|--------|--------|--------|--------|---------|---------|---------|---------|
| 1      | S   | 8.31   | 50.0   | 0.00   | 32.6   | -189.9 | 44.0   | 10.9    | 326     | 15.7    | 4.5     |

**COMBINAZIONI RARE IN ESERCIZIO - VERIFICA APERTURA FESSURE (NTC/EC2)**

|         |   |
|---------|---|
| Ver     | Esito verifica  |
| e1      | Minima deformazione unitaria (trazione: segno -) nel calcestruzzo in sez. fessurata                                 |
| e2      | Massima deformazione unitaria (compress.: segno +) nel calcestruzzo in sez. fessurata                               |
| K2      | = 0.5 per flessione; =(e1 + e2)/(2*e2) in trazione eccentrica per la (7.13)EC2 e la (C4.1.11)NTC                    |
| Kt      | fattore di durata del carico di cui alla (7.9) dell'EC2   |
| e sm    | Deformazione media acciaio tra le fessure al netto di quella del cls. Tra parentesi il valore minimo = 0.6 Ss/Es    |
| srm     | Distanza massima in mm tra le fessure   |
| wk      | Apertura delle fessure in mm fornito dalla (7.8)EC2 e dalla (C4.1.7)NTC. Tra parentesi è indicato il valore limite. |
| M fess. | Momento di prima fessurazione [kNm]   |

| N°Comb | Ver | e1       | e2      | K2   | Kt   | e sm                | srm | wk           | M Fess. |
|--------|-----|----------|---------|------|------|---------------------|-----|--------------|---------|
| 1      | S   | -0.00116 | 0.00062 | 0.50 | 0.60 | 0.000727 (0.000570) | 240 | 0.175 (0.20) | 51.13   |

**COMBINAZIONI FREQUENTI IN ESERCIZIO - VERIFICA MASSIME TENSIONI NORMALI**

| N°Comb | Ver | Sc max | Yc max | Sc min | Yc min | Sf min | Ys min | Dw Eff. | Ac Eff. | As Eff. | D barre |
|--------|-----|--------|--------|--------|--------|--------|--------|---------|---------|---------|---------|
| 1      | S   | 7.55   | 50.0   | 0.00   | 32.7   | -174.4 | 44.0   | 10.9    | 327     | 15.7    | 4.5     |

**COMBINAZIONI FREQUENTI IN ESERCIZIO - VERIFICA APERTURA FESSURE (NTC/EC2)**

| N°Comb | Ver | e1       | e2      | K2   | Kt   | e sm                | srm | wk           | M Fess. |
|--------|-----|----------|---------|------|------|---------------------|-----|--------------|---------|
| 1      | S   | -0.00107 | 0.00057 | 0.50 | 0.60 | 0.000648 (0.000523) | 241 | 0.156 (0.20) | 50.94   |

**COMBINAZIONI QUASI PERMANENTI IN ESERCIZIO - VERIFICA MASSIME TENSIONI NORMALI**

| N°Comb | Ver | Sc max | Yc max | Sc min | Yc min | Sf min | Ys min | Dw Eff. | Ac Eff. | As Eff. | D barre |
|--------|-----|--------|--------|--------|--------|--------|--------|---------|---------|---------|---------|
| 1      | S   | 7.47   | 50.0   | 0.00   | 32.7   | -173.0 | 44.0   | 10.9    | 327     | 15.7    | 4.5     |

**COMBINAZIONI QUASI PERMANENTI IN ESERCIZIO - VERIFICA APERTURA FESSURE (NTC/EC2)**

| N°Comb | Ver | e1       | e2      | K2   | Kt   | e sm                | srm | wk           | M Fess. |
|--------|-----|----------|---------|------|------|---------------------|-----|--------------|---------|
| 1      | S   | -0.00106 | 0.00056 | 0.50 | 0.40 | 0.000716 (0.000519) | 241 | 0.172 (0.20) | 50.89   |

## 9.2.-.Pilastrì (30x60)

| Frame | Station | OutputCase | CaseType    | StepType | P    | V2  | V3  | T    | M2   | M3   | FrameElem | ElemStation |
|-------|---------|------------|-------------|----------|------|-----|-----|------|------|------|-----------|-------------|
| Text  | m       | Text       | Text        | Text     | KN   | KN  | KN  | KN-m | KN-m | KN-m | Text      | m           |
| 14    | 0       | INV_SLV    | Combination | Min      | -214 | -42 | -54 | -1   | -99  | -103 | 14-1      | 0           |
| 14    | 0       | INV_SLV    | Combination | Max      | -176 | 45  | 1   | 1    | 24   | 108  | 14-1      | 0           |
| 14    | 0       | INV_SLU    | Combination | Min      | -265 | -20 | -38 | 0    | -55  | -51  | 14-1      | 0           |
| 14    | 0       | INV_SLU    | Combination | Max      | -256 | 26  | -29 | 0    | -36  | 61   | 14-1      | 0           |
| 14    | 0       | INV_SLER   | Combination | Min      | -206 | -13 | -30 | 0    | -43  | -34  | 14-1      | 0           |
| 14    | 0       | INV_SLER   | Combination | Max      | -112 | 18  | -13 | 0    | -18  | 41   | 14-1      | 0           |
| 14    | 0       | INV_SLEF   | Combination | Min      | -197 | -11 | -27 | 0    | -39  | -28  | 14-1      | 0           |
| 14    | 4.05    | INV_SLEF   | Combination | Max      | -177 | 2   | -26 | 0    | 70   | 15   | 14-1      | 4.05        |
| 14    | 4.05    | SLEQP      | Combination |          | -177 | 2   | -26 | 0    | 69   | -5   | 14-1      | 4.05        |
| 14    | 0       | SLEQP      | Combination |          | -195 | 2   | -26 | 0    | -37  | 2    | 14-1      | 0           |

Preliminarmente alla verifica di resistenza dei pilastrì allo SLU è necessario valutare la stabilità degli elementi snelli. Tali verifiche devono essere condotte attraverso un'analisi del secondo ordine che tenga conto degli effetti flessionali delle azioni assiali sulla configurazione deformata degli elementi stessi. In via approssimativa gli effetti del secondo ordine in pilastrì singoli possono essere trascurati se la snellezza  $\lambda$  non supera il valore limite (4.1.2.1.7-NTC2008):

$$\lambda_{lim} = 15.4 \cdot \frac{C}{\sqrt{v}}$$

dove:

$v = N_{Ed} / (A_c \cdot f_{cd})$

è l'azione assiale adimensionale;

$C = 1.7 - r_m$

dipende dalla distribuzione dei momenti del primo ordine;

$r_m = M_{01} / M_{02}$

è il rapporto tra i momenti flettenti del primo ordine alle due estremità del pilastrì (con  $M_{02} \geq M_{01}$ ).

E' stata valutata la snellezza  $\lambda$  del pilastrì nel piano (YZ) e nel piano ortogonale (XZ):

$\lambda = L_o / i$

dove:

$L_o = \beta L$

lunghezza di libera inflessione

$\beta = 1$

coefficiente di vincolo per asta incastrata al piede

L

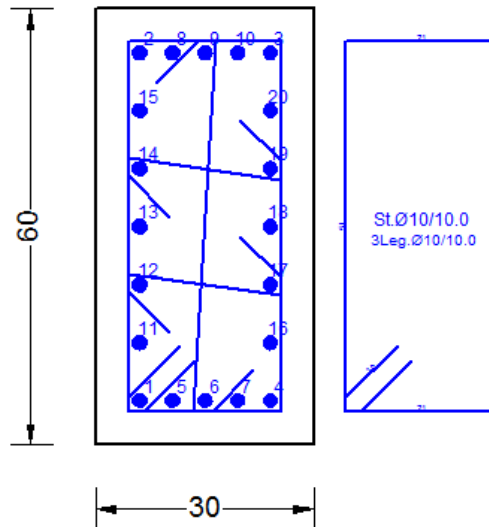
luce netta del pilastrì

Si riporta di seguito una tabella riepilogativa con il confronto tra snellezza di calcolo dei pilastrì e snellezza limite, facendo riferimento alle combinazioni di carico più gravose sul pilastrì più caricato dallo sforzo assiale massimo e dai momenti flettenti massimi.

### Verifica stabilità elementi snelli

| Combo | Asse   | N [kN] | h [m] | b [m]           | $A_c$ [m <sup>2</sup> ] | $f_{cd}$ [kN/m <sup>2</sup> ] | v          | $M_{02}$ [kNm] | $M_{01}$ [kNm] | $R_{ck}$       | n° frame       |
|-------|--------|--------|-------|-----------------|-------------------------|-------------------------------|------------|----------------|----------------|----------------|----------------|
| SLU_Q | X      | 265    | 0.60  | 0.30            | 0.18                    | 15.86                         | 92.826     | -49.00         | 33.00          | 35             | 14             |
|       | Y      | 265    | 0.60  | 0.30            | 0.18                    |                               | 92.826     | -55.00         | 108.00         |                |                |
| Combo | L [cm] | $r_m$  | C     | $\lambda_{lim}$ | $\beta$                 | $l_o$ (cm)                    | $i_x$ (cm) | $i_y$ (cm)     | $\lambda_{yz}$ | $\lambda_{xz}$ | Esito verifica |
| SLU_Q | 4.3    | -0.67  | 2.37  | 3.79            | 1                       | 4                             | 8.66       |                | 0.50           |                | OK             |
|       |        | -1.96  | 3.66  | 5.86            | 1                       | 4                             |            | 17.32          |                | 0.25           | OK             |

- Verifica di resistenza allo SLU



1) Lato corto:

- Armatura superiore 5  $\Phi$  20
- Armatura inferiore 5  $\Phi$  20

2) Lato lungo:

- Armatura superiore 5  $\Phi$  20
- Armatura inferiore 5  $\Phi$  20

➤ Verifica a presso-flessione:

Le verifiche di resistenza a flessione e pressoflessione allo SLU (NTC2008 – 4.1.2.1.2.4; - 7.4.4.2) per le sezioni di base dei pilastri sono state condotte con il supporto del software RC-SEC considerando le sollecitazioni riportate nei prospetti precedenti:

➤ Verifica a taglio:

Al fine di escludere la formazione di meccanismi inelastici o fragili dovuti al taglio, per quanto concerne la verifica a taglio del pilastro si utilizza il valore massimo tra il taglio di calcolo dedotto dall'output del modello di calcolo e quello che si ottiene dalla condizione di equilibrio del pilastro soggetto all'azione dei momenti resistenti nelle sezioni di estremità superiore  $M^s_{C,Rd}$  ed inferiore  $M^i_{C,Rd}$  secondo l'espressione:

$$V_{Ed} = \gamma_{Rd} \cdot \frac{M_{C,Rd}^s + M_{C,Rd}^i}{l_p}$$

dove:

$\gamma_{Rd} = 1.10$  per strutture in CD"B";

### Determinazione taglio di calcolo pilastro

|               |        | asse forte         |                    | asse debole        |                    |
|---------------|--------|--------------------|--------------------|--------------------|--------------------|
|               |        | $M_{C,Rd}^s$ [kNm] | $M_{C,Rd}^i$ [kNm] | $M_{C,Rd}^s$ [kNm] | $M_{C,Rd}^i$ [kNm] |
| $L_{pil}$     | 4.30 m | 188.00             | 188.00             | 182.00             | 182.00             |
| $\gamma_{Rd}$ | 1.10   | asse forte         |                    | asse debole        |                    |
|               |        | $V_{Ed}$ [kN]      |                    | $V_{Ed}$ [kN]      |                    |
|               |        | 96.19              |                    | 93.12              |                    |

Si adotteranno staffe  $\Phi 10 / 10$  cm alle estremità superiore e inferiore (lunghezza 1 m) del pilastro e staffe  $\Phi 10 / 15$  cm per la zona centrale del pilastro, rispettando ampiamente le prescrizioni relative ai dettagli costruttivi degli elementi in c.a. proposti dalle NTC-2018 al punto 4.1.6.

#### ➤ Verifica limitazioni armatura:

Resta da verificare che l'armatura determinata in funzione delle sollecitazioni agenti rispetti le limitazioni riportate nel punto 7.4.6.2.2 delle NTC2008:

- Per tutta la lunghezza del pilastro l'interasse tra le barre non deve essere superiore a 25 cm;
- Nella sezione corrente del pilastro, la percentuale geometrica  $\rho$  di armatura longitudinale, con  $\rho$  rapporto tra l'area dell'armatura longitudinale e l'area della sezione del pilastro, deve essere compresa entro i seguenti limiti:

$$1\% < \rho < 4\%$$

$$\rho = A_l / (bH) = 64.05 / (40 \cdot 50) = 3.2\%$$

- Nelle zone critiche devono essere rispettate le condizioni seguenti: le barre disposte sugli angoli della sezione devono essere contenute dalle staffe; almeno una barra ogni due, di quelle disposte sui lati, deve essere trattenuta da staffe interne o legature; le barre non fissate si devono trovare a meno di 20 cm da una barra fissata per CDB.
- Il diametro delle staffe di contenimento e legature deve essere non inferiore a 6 mm ed il loro passo deve essere non superiore alla più piccola delle quantità seguenti:

- 1/2 del lato minore della sezione trasversale per CDB;
- 175 mm (per CD"B");
- 8 volte il diametro minimo delle barre longitudinali che collegano (per CD"B")
- Si devono disporre staffe in un quantitativo minimo non inferiore a:

$$\frac{A_{st}}{s} = 0.08 \frac{f_{cd} \cdot b_{st}}{f_{yd}}$$

Le staffe orizzontali presenti lungo l'altezza del nodo devono verificare la seguente condizione

$$\frac{n_{st} \cdot A_{st}}{i \cdot b_j} \geq 0.05 \frac{f_{ck}}{f_{yk}}$$

Nella quale  $n_{st}$  e  $A_{st}$  sono rispettivamente il numero di bracci e l'area della sezione trasversale della barra della singola staffa orizzontale,  $i$  è l'interasse, e  $b_j$  è la larghezza utile del nodo determinata come segue:

- se la trave ha una larghezza  $b_w$  superiore a quella del pilastro  $b_c$ , allora  $b_j$  è il valore minimo fra  $b_w$  e  $b_c + h_c/2$ , essendo  $h_c$  la dimensione della sezione della colonna parallela alla trave;
- se la trave ha una larghezza  $b_w$  inferiore a quella del pilastro  $b_c$ , allora  $b_j$  è il valore minimo fra  $b_c$  e  $b_w + h_c/2$ .

Devono inoltre essere rispettati i limiti riportati al punto 4.1.6.1.2 delle NTC2008:

- Nel caso di elementi sottoposti a prevalente sforzo normale, le barre parallele all'asse devono avere diametro maggiore od uguale a 12 mm. Inoltre la loro area non deve essere inferiore a :

$$A_{s,min} = (0.10 \cdot \frac{N_{Ed}}{f_{yd}})$$

e comunque non minore di 0.003  $A_c$ ;

dove:

$N_{Ed}$  rappresenta lo sforzo di compressione assiale di calcolo;

$A_c$  è l'area di calcestruzzo;

$f_{yd}$  è il valore della resistenza di calcolo dell'armatura.

Si riscontra, pertanto, che l'armatura dei pilastri rispetta i limiti prescritti dalle NTC2008.

- Verifiche agli stati limite di esercizio - SLE

Le verifiche nei confronti degli stati limite di esercizio degli elementi strutturali si effettuano in

termini di:

- verifica di fessurazione;
- verifica delle tensioni di esercizio.

### **Verifiche alle tensioni**

La verifica delle tensioni in esercizio consiste nel controllare il rispetto dei limiti tensionali previsti per il calcestruzzo e per l'acciaio per ciascuna delle combinazioni di carico caratteristiche "Rara" e "Quasi Permanente"; i valori tensionali nei materiali sono valutati secondo le note teorie di analisi delle sezioni in c.a. in campo elastico e con calcestruzzo "non reagente" adottando come limiti di riferimento, trattandosi nel caso in specie di opere Ferroviarie, quelli indicati nel documento "Specifiche per la progettazione e l'esecuzione dei ponti ferroviari e di altre opere minori sotto binario RFI DTC INC PO SP IFS 001 A del 21-12-11", ovvero:

#### Strutture in c.a.

##### Tensioni di compressione del calcestruzzo

Devono essere rispettati i seguenti limiti per le tensioni di compressione nel calcestruzzo:

- per combinazione di carico caratteristica (rara):  $0,55 f_{ck}$ ;
- per combinazioni di carico quasi permanente:  $0,40 f_{ck}$ ;
- per spessori minori di 5 cm, le tensioni normali limite di esercizio sono ridotte del 30%.

##### Tensioni di trazione nell'acciaio

Per le armature ordinarie, la massima tensione di trazione sotto la combinazione di carico caratteristica (rara) non deve superare  $0,75 f_{yk}$ .

Per il caso in esame risulta in particolare :

#### Calcestruzzo:

$$\sigma_{\text{cmax QP}} = (0,40 f_{ck}) = \mathbf{11.2} \text{ MPa} \quad (\text{Combinazione di Carico Quasi Permanente})$$

$$\sigma_{\text{cmax R}} = (0,55 f_{ck}) = \mathbf{15.4} \text{ MPa} \quad (\text{Combinazione di Carico Caratteristica - Rara})$$

#### Acciaio:

$$\sigma_{s \text{ max}} = (0,75 f_{yk}) = \mathbf{338} \text{ MPa} \quad \text{Combinazione di Carico Caratteristica(Rara)}$$

### **Verifiche a fessurazione**

La verifica di fessurazione consiste nel controllare l'ampiezza dell'apertura delle fessure sotto combinazione di carico frequente e combinazione quasi permanente. Essendo la struttura a contatto col terreno si considerano condizioni ambientali aggressive; le armature di acciaio ordinario sono ritenute poco sensibili [NTC – Tabella 4.1.IV]

In relazione all'aggressività ambientale e alla sensibilità dell'acciaio, l'apertura limite delle fessure è riportato nel prospetto seguente:

## Tabella 2 – Criteri di scelta dello stato limite di fessurazione e Condizioni Ambientali

| Gruppi di esigenza | Condizioni ambientali | Combinazione di azione | Armatura           |            |                |            |
|--------------------|-----------------------|------------------------|--------------------|------------|----------------|------------|
|                    |                       |                        | Sensibile          |            | Poco sensibile |            |
|                    |                       |                        | Stato limite       | wd         | Stato limite   | wd         |
| a                  | Ordinarie             | frequente              | ap. fessure        | $\leq w_2$ | ap. fessure    | $\leq w_3$ |
|                    |                       | quasi permanente       | ap. fessure        | $\leq w_1$ | ap. fessure    | $\leq w_2$ |
| b                  | Aggressive            | frequente              | ap. fessure        | $\leq w_1$ | ap. fessure    | $\leq w_2$ |
|                    |                       | quasi permanente       | decompressione     | -          | ap. fessure    | $\leq w_1$ |
| c                  | Molto Aggressive      | frequente              | formazione fessure | -          | ap. fessure    | $\leq w_1$ |
|                    |                       | quasi permanente       | decompressione     | -          | ap. fessure    | $\leq w_1$ |

Tabella 4.1.III – Descrizione delle condizioni ambientali

| CONDIZIONI AMBIENTALI | CLASSE DI ESPOSIZIONE             |
|-----------------------|-----------------------------------|
| Ordinarie             | X0, XC1, XC2, XC3, XF1            |
| Aggressive            | XC4, XD1, XS1, XA1, XA2, XF2, XF3 |
| Molto aggressive      | XD2, XD3, XS2, XS3, XA3, XF4      |

Risultando:

$$w_1 = 0.2 \text{ mm}$$

$$w_2 = 0.3 \text{ mm}$$

$$w_3 = 0.4 \text{ mm}$$

Alle prescrizioni normative presenti in NTC si sostituiscono in tal caso quelle fornite dal "Manuale di Progettazione delle Opere Civili" secondo cui la verifica nei confronti dello stato limite di apertura delle fessure va effettuata utilizzando le sollecitazioni derivanti dalla combinazione caratteristica (rara).

Per strutture in condizioni ambientali aggressive o molto aggressive, qual è il caso delle strutture in esame così come identificate nel par. 4.1.2.2.4.2 del DM 14.01.2008, per tutte le strutture a permanente contatto con il terreno e per le zone non ispezionabili di tutte le strutture, l'apertura convenzionale delle fessure dovrà risultare:

$$- \text{ Combinazione Caratteristica (Rara)} \quad \delta_f \leq w_1 = 0.2 \text{ mm}$$

Riguardo infine il valore di calcolo delle fessure da confrontare con i valori limite fissati dalla norma, si è utilizzata la procedura del D.M. 9 gennaio 1996, in accordo a quanto previsto al punto "C4.1.2.2.4.6 Verifica allo stato limite di fessurazione" della Circolare n.617/09.

Di seguito si riportano le tensioni di esercizio determinate in corrispondenza della combinazione che produce il valore di tensione più gravoso distinguendo tra combinazioni rare e quasi permanenti. Dalle tabelle seguenti, nelle quali accanto a ciascun valore di tensione

viene indicato il corrispondente valore limite, si evince che le verifiche delle tensioni di esercizio risultano soddisfatte.

### 9.2.1.-...Tabulato di verifica SLU – SLE e taglio

#### DATI GENERALI SEZIONE RETTANGOLARE DI PILASTRO IN C.A.

NOME SEZIONE: pilastro30x60\_2

(Percorso File: Z:\0147 Sicilia\AVORO\Provvisori\04\_Verifiche\Strutture\PM Palomba - FA02 1+160\pilastro30x60\_2.sez)

|                               |  |
|-------------------------------|--|
| Descrizione Sezione:          |  |
| Metodo di calcolo resistenza: | Stati Limite Ultimi                          |
| Normativa di riferimento:     | N.T.C.                                       |
| Tipologia sezione:            | Pilastro rettangolare ad armatura simmetrica |
| Percorso sollecitazione:      | A Sforzo Norm. costante                      |
| Condizioni Ambientali:        | Poco aggressive                              |
| Riferimento Sforzi assegnati: | Assi x,y principali d'inerzia                |
| Riferimento alla sismicità:   | Zona sismica (CD'B')                         |
| Posizione sezione nell'asta:  | In zona critica                              |

#### CARATTERISTICHE DI RESISTENZA DEI MATERIALI IMPIEGATI

|                                      |   |                     |
|--------------------------------------|---|---------------------|
| CALCESTRUZZO -                       | Classe:                                       | C28/35              |
|                                      | Resistenza compress. di progetto fcd:         | 15.86 MPa           |
|                                      | Resistenza compress. ridotta fcd':            | 7.930 MPa           |
|                                      | Deform. unitaria max resistenza ec2:          | 0.0020              |
|                                      | Deformazione unitaria ultima ecu:             | 0.0035              |
|                                      | Diagramma tensioni-deformaz.:                 | Parabola-Rettangolo |
|                                      | Modulo Elastico Normale Ec:                   | 32308.0 MPa         |
|                                      | Resis. media a trazione fctm:                 | 2.760 MPa           |
|                                      | Coeff.Omogen. S.L.E.:                         | 15.00               |
|                                      | Sc limite S.L.E. comb. Rare:                  | 15.400 MPa          |
|                                      | Sc limite S.L.E. comb. Frequenti:             | 15.400 MPa          |
|                                      | Ap.Fessure limite S.L.E. comb. Frequenti:     | 0.200 mm            |
|                                      | Sc limite S.L.E. comb. Q.Permanenti:          | 11.200 MPa          |
| Ap.Fess.limite S.L.E. comb. Q.Perm.: | 0.200 mm                                      |                     |
| ACCIAIO -                            | Tipo:   | B450C               |
|                                      | Resist. caratt. a snervamento fyk:            | 450.00 MPa          |
|                                      | Resist. caratt. a rottura ftk:                | 450.00 MPa          |
|                                      | Resist. a snerv. di progetto fyd:             | 391.30 MPa          |
|                                      | Resist. ultima di progetto ftd:               | 391.30 MPa          |
|                                      | Deform. ultima di progetto Epu:               | 0.068               |
|                                      | Modulo Elastico Ef:                           | 200000.0 MPa        |
|                                      | Diagramma tensioni-deformaz.:                 | Bilineare finito    |
|                                      | Coeff. Aderenza istant. $\beta_1*\beta_2$ :   | 1.00                |
|                                      | Coeff. Aderenza differito $\beta_1*\beta_2$ : | 0.50                |
| Comb.Rare - Sf Limite:               | 337.50 MPa                                    |                     |

#### CARATTERISTICHE GEOMETRICHE ED ARMATURE SEZIONE

|                               |      |    |
|-------------------------------|------|----|
| Base:                         | 30.0 | cm |
| Altezza:                      | 60.0 | cm |
| N°totale barre:               | 20   |    |
| Diametro barre:               | 20   | mm |
| Copriferro (dal baric.barre): | 6.0  | cm |

Coordinate Barre nei vertici

|         |        |        |
|---------|--------|--------|
| N°Barra | X [cm] | Y [cm] |
|---------|--------|--------|



RELAZIONE DI CALCOLO FABBRICATO IS/PPM

| COMMESSA | LOTTO | CODIFICA | DOCUMENTO    | REV. | FOGLIO    |
|----------|-------|----------|--------------|------|-----------|
| RS3E     | 50    | D 78 CL  | FA 03 00 001 | A    | 81 di 111 |

|   |      |       |
|---|------|-------|
| 1 | -9.0 | -24.0 |
| 2 | -9.0 | 24.0  |
| 3 | 9.0  | 24.0  |
| 4 | 9.0  | -24.0 |

**DATI GENERAZIONI LINEARI DI BARRE**

|              |   |
|--------------|---|
| N°Gen.       | Numero assegnato alla singola generazione lineare di barre            |
| N°Barra Ini. | Numero della barra iniziale cui si riferisce la generazione           |
| N°Barra Fin. | Numero della barra finale cui si riferisce la generazione             |
| N°Barre      | Numero di barre generate equidistanti cui si riferisce la generazione |
| Ø            | Diametro in mm delle barre della generazione                          |

| N°Gen. | N°Barra Ini. | N°Barra Fin. | N°Barre | Ø  |
|--------|--------------|--------------|---------|----|
| 1      | 1            | 4            | 3       | 20 |
| 2      | 2            | 3            | 3       | 20 |
| 3      | 1            | 2            | 5       | 20 |
| 4      | 4            | 3            | 5       | 20 |

**ARMATURE A TAGLIO**

|                          |                                    |    |
|--------------------------|------------------------------------|----|
| Diametro staffe:         | 10                                 | mm |
| Passo staffe e legature: | 10.0                               | cm |
| Staffe:                  | Una sola staffa chiusa perimetrale |    |
| N° Legature in dir. X:   | 2                                  |    |
| N° Legature in dir. Y:   | 1                                  |    |

**Coordinate Barre generate di estremità delle legature:**

| N°Barra | X[cm] | Y[cm] |
|---------|-------|-------|
| 6       | 0.0   | -24.0 |
| 9       | 0.0   | 24.0  |
| 12      | -9.0  | -8.0  |
| 17      | 9.0   | -8.0  |
| 14      | -9.0  | 8.0   |
| 19      | 9.0   | 8.0   |

**CALCOLO DI RESISTENZA - SFORZI PER OGNI COMBINAZIONE ASSEGNATA**

|    |  |
|----|--|
| N  | Sforzo normale [kN] applicato nel baricentro (posit. se di compress.)  |
| Mx | Momento flettente [kNm] intorno all'asse x baric. della sezione con verso positivo se tale da comprimere il lembo sup. della sezione   |
| My | Momento flettente [kNm] intorno all'asse y baric. della sezione con verso positivo se tale da comprimere il lembo destro della sezione |
| Vy | Taglio [kN] in direzione parallela all'asse y baric. della sezione   |
| Vx | Taglio [kN] in direzione parallela all'asse x baric. della sezione   |

| N°Comb. | N       | Mx      | My     | Vy     | Vx     |
|---------|---------|---------|--------|--------|--------|
| 1       | -214.00 | -103.00 | -99.00 | -42.00 | -54.00 |
| 2       | -176.00 | 108.00  | 24.00  | 45.00  | 1.00   |
| 3       | -265.00 | -51.00  | -55.00 | -20.00 | -38.00 |
| 4       | -256.00 | 61.00   | -36.00 | 26.00  | -29.00 |
| 5       | 0.00    | 0.10    | 0.00   | 96.20  | 93.12  |

**COMB. RARE (S.L.E.) - SFORZI PER OGNI COMBINAZIONE ASSEGNATA**

|    |   |
|----|---|
| N  | Sforzo normale [kN] applicato nel baricentro (positivo se di compress.)   |
| Mx | Momento flettente [kNm] intorno all'asse x baricentrico della sezione con verso positivo se tale da comprimere il lembo superiore della sezione |
| My | Momento flettente [daNm] intorno all'asse y baricentrico della sezione  |

RELAZIONE DI CALCOLO FABBRICATO IS/PPM

| COMMESSA | LOTTO | CODIFICA | DOCUMENTO    | REV. | FOGLIO    |
|----------|-------|----------|--------------|------|-----------|
| RS3E     | 50    | D 78 CL  | FA 03 00 001 | A    | 82 di 111 |

con verso positivo se tale da comprimere il lembo destro della sezione

| N°Comb. | N       | Mx     | Mx     |
|---------|---------|--------|--------|
| 1       | -206.00 | -34.00 | -43.00 |
| 2       | -112.00 | 41.00  | -18.00 |

**COMB. FREQUENTI (S.L.E.) - SFORZI PER OGNI COMBINAZIONE ASSEGNATA**

N Sforzo normale [kN] applicato nel baricentro (positivo se di compress.)  
Mx Momento flettente [kNm] intorno all'asse x baricentrico della sezione con verso positivo se tale da comprimere il lembo superiore della sezione  
My Momento flettente [daNm] intorno all'asse y baricentrico della sezione con verso positivo se tale da comprimere il lembo destro della sezione

| N°Comb. | N       | Mx     | Mx     |
|---------|---------|--------|--------|
| 1       | -197.00 | -28.00 | -39.00 |
| 2       | -177.00 | 15.00  | 70.00  |

**COMB. QUASI PERMANENTI (S.L.E.) - SFORZI PER OGNI COMBINAZIONE ASSEGNATA**

N Sforzo normale [kN] applicato nel baricentro (positivo se di compress.)  
Mx Momento flettente [kNm] intorno all'asse x baricentrico della sezione con verso positivo se tale da comprimere il lembo superiore della sezione  
My Momento flettente [daNm] intorno all'asse y baricentrico della sezione con verso positivo se tale da comprimere il lembo destro della sezione

| N°Comb. | N       | Mx    | Mx     |
|---------|---------|-------|--------|
| 1       | -177.00 | -5.00 | 69.00  |
| 2       | -195.00 | 2.00  | -37.00 |

**RISULTATI DEL CALCOLO**

**Sezione verificata per tutte le combinazioni assegnate**

|  |        |
|--|--------|
| Copriferro netto minimo barre longitudinali: | 5.0 cm |
| Interferro netto minimo barre longitudinali: | 2.5 cm |
| Copriferro netto minimo staffe:              | 4.0 cm |

**VERIFICHE DI RESISTENZA IN PRESSO-TENSO FLESSIONE ALLO STATO LIMITE ULTIMO**

Ver S = combinazione verificata / N = combin. non verificata  
N Sforzo normale assegnato [kN] nel baricentro B sezione cls.(positivo se di compressione)  
Mx Componente del momento assegnato [kNm] riferito all'asse x princ. d'inerzia  
My Componente del momento assegnato [kNm] riferito all'asse y princ. d'inerzia  
N Res Sforzo normale resistente [kN] nel baricentro B sezione cls.(positivo se di compress.)  
Mx Res Momento flettente resistente [kNm] riferito all'asse x princ. d'inerzia  
My Res Momento flettente resistente [kNm] riferito all'asse y princ. d'inerzia  
Mis.Sic. Misura sicurezza = rapporto vettoriale tra (N r,Mx Res,My Res) e (N,Mx,My)  
Verifica positiva se tale rapporto risulta >=1.000  
As Totale Area totale barre longitudinali [cm²]. [Tra parentesi il valore minimo di normativa]

| N°Comb | Ver | N       | Mx      | My     | N Res   | Mx Res  | My Res  | Mis.Sic. | As Totale  |
|--------|-----|---------|---------|--------|---------|---------|---------|----------|------------|
| 1      | S   | -214.00 | -103.00 | -99.00 | -213.76 | -188.17 | -182.20 | 1.83     | 62.8(18.0) |
| 2      | S   | -176.00 | 108.00  | 24.00  | -176.26 | 407.45  | 92.01   | 3.78     | 62.8(18.0) |
| 3      | S   | -265.00 | -51.00  | -55.00 | -265.00 | -170.55 | -182.73 | 3.33     | 62.8(18.0) |
| 4      | S   | -256.00 | 61.00   | -36.00 | -255.90 | 262.37  | -155.96 | 4.31     | 62.8(18.0) |
| 5      | S   | 0.00    | 0.10    | 0.00   | 0.00    | 523.59  | 0.00    | 999.00   | 62.8(18.0) |

RELAZIONE DI CALCOLO FABBRICATO IS/PPM

| COMMESSA | LOTTO | CODIFICA | DOCUMENTO    | REV. | FOGLIO    |
|----------|-------|----------|--------------|------|-----------|
| RS3E     | 50    | D 78 CL  | FA 03 00 001 | A    | 83 di 111 |

**METODO AGLI STATI LIMITE ULTIMI - DEFORMAZIONI UNITARIE ALLO STATO ULTIMO**

|        |  |
|--------|--|
| ec max | Deform. unit. massima del conglomerato a compressione                  |
| Xc max | Ascissa in cm della fibra corrisp. a ec max (sistema rif. X,Y,O sez.)  |
| Yc max | Ordinata in cm della fibra corrisp. a ec max (sistema rif. X,Y,O sez.) |
| es min | Deform. unit. minima nell'acciaio (negativa se di trazione)            |
| Xs min | Ascissa in cm della barra corrisp. a es min (sistema rif. X,Y,O sez.)  |
| Ys min | Ordinata in cm della barra corrisp. a es min (sistema rif. X,Y,O sez.) |
| es max | Deform. unit. massima nell'acciaio (positiva se di compress.)          |
| Xs max | Ascissa in cm della barra corrisp. a es max (sistema rif. X,Y,O sez.)  |
| Ys max | Ordinata in cm della barra corrisp. a es max (sistema rif. X,Y,O sez.) |

| N°Comb | ec max  | Xc max | Yc max | es min  | Xs min | Ys min | es max   | Xs max | Ys max |
|--------|---------|--------|--------|---------|--------|--------|----------|--------|--------|
| 1      | 0.00350 | -15.0  | -30.0  | 0.00191 | -9.0   | -24.0  | -0.00425 | 9.0    | 24.0   |
| 2      | 0.00350 | 15.0   | 30.0   | 0.00224 | 9.0    | 24.0   | -0.00446 | -9.0   | -24.0  |
| 3      | 0.00350 | -15.0  | -30.0  | 0.00184 | -9.0   | -24.0  | -0.00445 | 9.0    | 24.0   |
| 4      | 0.00350 | -15.0  | 30.0   | 0.00203 | -9.0   | 24.0   | -0.00420 | 9.0    | -24.0  |
| 5      | 0.00350 | -15.0  | 30.0   | 0.00237 | -9.0   | 24.0   | -0.00671 | -9.0   | -24.0  |

**POSIZIONE ASSE NEUTRO PER OGNI COMB. DI RESISTENZA**

|         |   |
|---------|---|
| a, b, c | Coeff. a, b, c nell'eq. dell'asse neutro $aX+bY+c=0$ nel rif. X,Y,O gen.    |
| x/d     | Rapp. di duttilità (travi e solette)[§ 4.1.2.1.2.1 NTC]: deve essere < 0.45 |
| C.Rid.  | Coeff. di riduz. momenti per sola flessione in travi continue               |

| N°Comb | a            | b            | c            | x/d  | C.Rid. |
|--------|--------------|--------------|--------------|------|--------|
| 1      | -0.000217795 | -0.000046704 | -0.001168040 | ---- | ----   |
| 2      | 0.000113894  | 0.000096747  | -0.001110827 | ---- | ----   |
| 3      | -0.000231867 | -0.000044132 | -0.001301966 | ---- | ----   |
| 4      | -0.000183448 | 0.000060989  | -0.001081406 | ---- | ----   |
| 5      | 0.000000000  | 0.000189051  | -0.002171520 | ---- | ----   |

**VERIFICHE A TAGLIO E DUTTILITA'**

|                          |  |
|--------------------------|--|
| Diam. Staffe:            | 10 mm  |
| Diam. Legature:          | 10 mm  |
| Passo staffe e legature: | 10.0 cm [Passo massimo di normativa = 15.0 cm] |

|       |   |
|-------|---|
| Ver   | S = comb. verificata a taglio / N = comb. non verificata  |
| Ved   | Taglio di progetto [kN] = proiez. di $V_x$ e $V_y$ sulla normale all'asse neutro  |
| Vcd   | Taglio resistente ultimo [kN] lato conglomerato compresso [(4.1.28) NTC]  |
| Vwd   | Taglio resistente [kN] assorbito dalle staffe [(4.1.18) NTC]  |
| d   z | Altezza utile media pesata sezione ortogonale all'asse neutro   Braccio coppia interna [cm]<br>Vengono prese nella media le strisce con almeno un estremo compresso.<br>I pesi della media sono costituiti dalle stesse lunghezze delle strisce.  |
| bw    | Larghezza media resistente a taglio [cm] misurate parallel. all'asse neutro<br>E' data dal rapporto tra l'area delle sopradette strisce resistenti e Dmed.  |
| Ctg   | Cotangente dell'angolo di inclinazione dei puntoni di conglomerato  |
| Acw   | Coefficiente maggiorativo della resistenza a taglio per compressione  |
| Ast   | Area staffe+legature strettam. necessarie a taglio per metro di pil.[cm <sup>2</sup> /m]  |
| A.Eff | Area staffe+legature efficaci nella direzione del taglio di combinaz.[cm <sup>2</sup> /m]<br>Tra parentesi è indicata la quota dell'area relativa alle sole legature.<br>L'area della legatura è ridotta col fattore $L/d_{max}$ con $L$ =lungh.legat.proietta-<br>ta sulla direz. del taglio e $d_{max}$ = massima altezza utile nella direz.del taglio. |
| Alfa  | Coeff. di riduzione (efficienza) dell'armatura di confinamento [(7.4.29)NTC-(5.15)EC8]  |
| Owd   | Rapporto meccanico di armatura staffe $Owd = OwY + OwY$ di cui al primo membro (7.4.29)NTC<br>(tra parentesi vi è il rapporto meccanico minimo di normativa da rispettare = secondo membro (7.4.29)/Alfa)   |

| N°Comb | Ver | Ved | Vcd | Vwd | d   z | bw | Ctg | Acw | Ast | A.Eff | Alfa | Owd |
|--------|-----|-----|-----|-----|-------|----|-----|-----|-----|-------|------|-----|
|--------|-----|-----|-----|-----|-------|----|-----|-----|-----|-------|------|-----|

RELAZIONE DI CALCOLO FABBRICATO IS/PPM

| COMMESSA | LOTTO | CODIFICA | DOCUMENTO    | REV. | FOGLIO    |
|----------|-------|----------|--------------|------|-----------|
| RS3E     | 50    | D 78 CL  | FA 03 00 001 | A    | 84 di 111 |

|   |   |       |        |         |      |      |      |       |       |     |            |       |                    |
|---|---|-------|--------|---------|------|------|------|-------|-------|-----|------------|-------|--------------------|
| 1 | S | 61.61 | 322.64 | 508.57  | 26.2 | 20.2 | 58.3 | 2.500 | 1.000 | 3.1 | 25.7(10.0) | 0.488 | 0.277+0.152(0.080) |
| 2 | S | 29.90 | 267.40 | 609.33  | 32.4 | 26.4 | 37.0 | 2.500 | 1.000 | 1.2 | 23.6(7.9)  | 0.488 | 0.277+0.152(0.080) |
| 3 | S | 41.07 | 324.16 | 518.92  | 26.3 | 20.3 | 58.4 | 2.500 | 1.000 | 2.1 | 26.1(10.4) | 0.488 | 0.277+0.152(0.080) |
| 4 | S | 35.72 | 325.13 | 563.02  | 26.8 | 20.8 | 57.3 | 2.500 | 1.000 | 1.8 | 27.7(12.0) | 0.488 | 0.277+0.152(0.080) |
| 5 | S | 96.20 | 382.24 | 1073.98 | 54.0 | 46.6 | 30.0 | 2.500 | 1.000 | 2.1 | 23.6(7.9)  | 0.488 | 0.277+0.152(0.080) |

**COMBINAZIONI RARE IN ESERCIZIO - MASSIME TENSIONI NORMALI ED APERTURA FESSURE (NTC/EC2)**

|                |  |
|----------------|--|
| Ver            | S = comb. verificata/ N = comb. non verificata   |
| Sc max         | Massima tensione (positiva se di compressione) nel conglomerato [Mpa]                        |
| Xc max, Yc max | Ascissa, Ordinata [cm] del punto corrisp. a Sc max (sistema rif. X,Y,O)                      |
| Sf min         | Minima tensione (negativa se di trazione) nell'acciaio [Mpa]                                 |
| Xs min, Ys min | Ascissa, Ordinata [cm] della barra corrisp. a Sf min (sistema rif. X,Y,O)                    |
| Ac eff.        | Area di calcestruzzo [cm <sup>2</sup> ] in zona tesa considerata aderente alle barre         |
| As eff.        | Area barre [cm <sup>2</sup> ] in zona tesa considerate efficaci per l'apertura delle fessure |

| N°Comb | Ver | Sc max | Xc max | Yc max | Sf min | Xs min | Ys min | Ac eff. | As eff. |
|--------|-----|--------|--------|--------|--------|--------|--------|---------|---------|
| 1      | S   | 6.39   | -15.0  | -30.0  | -145.8 | 9.0    | 24.0   | 185     | 6.3     |
| 2      | S   | 4.06   | -15.0  | 30.0   | -88.1  | 9.0    | -24.0  | 172     | 6.3     |

**COMBINAZIONI RARE IN ESERCIZIO - APERTURA FESSURE [§ 7.3.4 EC2]**

|             |   |
|-------------|---|
| Ver.        | La sezione viene assunta sempre fessurata anche nel caso in cui la trazione minima del calcestruzzo sia inferiore a $f_{ctm}$ |
| e1          | Esito della verifica  |
| e2          | Massima deformazione di trazione del calcestruzzo, valutata in sezione fessurata  |
| k1          | Minima deformazione di trazione del cls. (in sezione fessurata), valutata nella fibra più interna dell'area Ac eff            |
| kt          | = 0.8 per barre ad aderenza migliorata [eq.(7.11)EC2]   |
| k2          | = 0.4 per comb. quasi permanenti / = 0.6 per comb. frequenti [cfr. eq.(7.9)EC2]   |
| k3          | = (e1 + e2)/(2*e1) [eq.(7.13)EC2]   |
| k4          | = 3.400 Coeff. in eq.(7.11) come da annessi nazionali   |
| Ø           | = 0.425 Coeff. in eq.(7.11) come da annessi nazionali   |
| Cf          | Diametro [mm] equivalente delle barre tese comprese nell'area efficace Ac eff [eq.(7.11)EC2]                                  |
| e sm - e cm | Copriferro [mm] netto calcolato con riferimento alla barra più tesa   |
| sr max      | Differenza tra le deformazioni medie di acciaio e calcestruzzo [(7.8)EC2 e (C4.1.7)NTC]                                       |
| wk          | Tra parentesi: valore minimo = 0.6 Smax / Es [(7.9)EC2 e (C4.1.8)NTC]   |
| Mx fess.    | Massima distanza tra le fessure [mm]  |
| My fess.    | Apertura fessure in mm calcolata = sr max*(e_sm - e_cm) [(7.8)EC2 e (C4.1.7)NTC]. Valore limite tra parentesi                 |
|             | Componente momento di prima fessurazione intorno all'asse X [kNm]   |
|             | Componente momento di prima fessurazione intorno all'asse Y [kNm]   |

| Comb. | Ver | e1       | e2 | k2    | Ø    | Cf | e sm - e cm       | sr max | wk           | Mx fess | My fess |
|-------|-----|----------|----|-------|------|----|-------------------|--------|--------------|---------|---------|
| 1     | S   | -0.00099 | 0  | 0.833 | 20.0 | 50 | 0.00044 (0.00044) | 336    | 0.147 (0.20) | -17.79  | -22.49  |
| 2     | S   | -0.00058 | 0  | 0.833 | 20.0 | 50 | 0.00026 (0.00026) | 325    | 0.086 (0.20) | 35.10   | -15.41  |

**COMBINAZIONI FREQUENTI IN ESERCIZIO - MASSIME TENSIONI NORMALI ED APERTURA FESSURE (NTC/EC2)**

| N°Comb | Ver | Sc max | Xc max | Yc max | Sf min | Xs min | Ys min | Ac eff. | As eff. |
|--------|-----|--------|--------|--------|--------|--------|--------|---------|---------|
| 1      | S   | 5.61   | -15.0  | -30.0  | -131.9 | 9.0    | 24.0   | 187     | 6.3     |
| 2      | S   | 8.37   | 15.0   | 30.0   | -178.3 | -9.0   | -24.0  | 276     | 12.6    |

**COMBINAZIONI FREQUENTI IN ESERCIZIO - APERTURA FESSURE [§ 7.3.4 EC2]**

| Comb. | Ver | e1       | e2 | k2    | Ø    | Cf | e sm - e cm       | sr max | wk           | Mx fess | My fess |
|-------|-----|----------|----|-------|------|----|-------------------|--------|--------------|---------|---------|
| 1     | S   | -0.00090 | 0  | 0.834 | 20.0 | 50 | 0.00040 (0.00040) | 338    | 0.134 (0.20) | -16.36  | -22.78  |
| 2     | S   | -0.00125 | 0  | 0.833 | 20.0 | 50 | 0.00066 (0.00053) | 294    | 0.194 (0.20) | 6.25    | 29.17   |

RELAZIONE DI CALCOLO FABBRICATO IS/PPM

| COMMESSA | LOTTO | CODIFICA | DOCUMENTO    | REV. | FOGLIO    |
|----------|-------|----------|--------------|------|-----------|
| RS3E     | 50    | D 78 CL  | FA 03 00 001 | A    | 85 di 111 |

**COMBINAZIONI QUASI PERMANENTI IN ESERCIZIO - MASSIME TENSIONI NORMALI ED APERTURA FESSURE (NTC/EC2)**

| N°Comb | Ver | Sc max | Xc max | Yc max | Sf min | Xs min | Ys min | Ac eff. | As eff. |
|--------|-----|--------|--------|--------|--------|--------|--------|---------|---------|
| 1      | S   | 7.67   | 15.0   | -30.0  | -169.1 | -9.0   | 24.0   | 393     | 22.0    |
| 2      | S   | 3.83   | -15.0  | 30.0   | -107.9 | 9.0    | -24.0  | 425     | 22.0    |

**COMBINAZIONI QUASI PERMANENTI IN ESERCIZIO - APERTURA FESSURE [§ 7.3.4 EC2]**

| Comb. | Ver | e1       | e2 | k2    | ∅    | Cf | e sm - e cm       | sr max | wk           | Mx fess | My fess |
|-------|-----|----------|----|-------|------|----|-------------------|--------|--------------|---------|---------|
| 1     | S   | -0.00120 | 0  | 0.833 | 20.0 | 50 | 0.00071 (0.00051) | 271    | 0.193 (0.20) | -2.23   | 30.71   |
| 2     | S   | -0.00074 | 0  | 0.833 | 20.0 | 50 | 0.00040 (0.00032) | 280    | 0.111 (0.20) | 1.51    | -27.85  |

### 9.3.-.Travi fondazione

| Frame | Station | OutputCase  | CaseType    | StepType | P  | V2   | V3 | T    | M2   | M3   | FrameElem | ElemStation |
|-------|---------|-------------|-------------|----------|----|------|----|------|------|------|-----------|-------------|
| Text  | m       | Text        | Text        | Text     | KN | KN   | KN | KN-m | KN-m | KN-m | Text      | m           |
| 72    | 0.3     | INV_SLV     | Combination | Min      | -1 | -96  | 0  | -3   | 0    | -112 | 72-1      | 0.3         |
| 72    | 1.2     | INV_SLV     | Combination | Max      | 0  | -3   | 0  | 6    | 0    | 40   | 72-1      | 1.2         |
| 73    | 0.3     | INV_SLV*1.1 | Combination | Max      | -1 | -105 | 0  | -4   | 0    | -123 | 72-1      | 0.3         |
| 74    | 1.2     | INV_SLV*1.1 | Combination | Max      | 0  | -3   | 0  | 7    | 0    | 44   | 72-1      | 1.2         |
| 72    | 0.3     | INV_SLU     | Combination | Min      | -1 | -104 | 0  | 1    | 0    | -101 | 72-1      | 0.3         |
| 72    | 1.65    | INV_SLU     | Combination | Max      | 0  | -1   | 0  | 3    | 0    | 35   | 72-1      | 1.65        |
| 72    | 0.3     | INV_SLER    | Combination | Min      | 0  | -78  | 0  | 1    | 0    | -73  | 72-1      | 0.3         |
| 72    | 1.65    | INV_SLER    | Combination | Max      | 0  | 6    | 0  | 2    | 0    | 25   | 72-1      | 1.65        |
| 72    | 0.3     | INV_SLEF    | Combination | Min      | 0  | -76  | 0  | 1    | 0    | -69  | 72-1      | 0.3         |
| 72    | 2.1     | INV_SLEF    | Combination | Max      | 0  | 1    | 0  | 2    | 0    | 14   | 72-1      | 2.1         |
| 72    | 3.9     | SLEQP       | Combination |          | 0  | 68   | 0  | 1    | 0    | -49  | 72-1      | 3.9         |
| 72    | 2.1     | SLEQP       | Combination |          | 0  | 1    | 0  | 1    | 0    | 14   | 72-1      | 2.1         |

Nelle verifiche agli stati limite ultimi finalizzate al dimensionamento strutturale (STR), si considerano gli stati limite ultimi per raggiungimento della resistenza negli elementi che costituiscono la fondazione. Le azioni trasmesse in fondazione derivano dall'analisi del comportamento dell'intera opera alla quale sono applicate le azioni statiche e sismiche.

Le fondazioni superficiali sono verificate in condizioni sismiche e in condizioni statiche:

In condizioni sismiche utilizzando le sollecitazioni ottenute amplificando i valori nelle SLV mediante il coefficiente 1,1. (combinazione di carico 1,1 x SLV), secondo quanto prescritto nel paragrafo 7.2.5 delle NTC 2008.

In condizioni statiche utilizzando le sollecitazioni non amplificate della combinazione non sismica SLU.

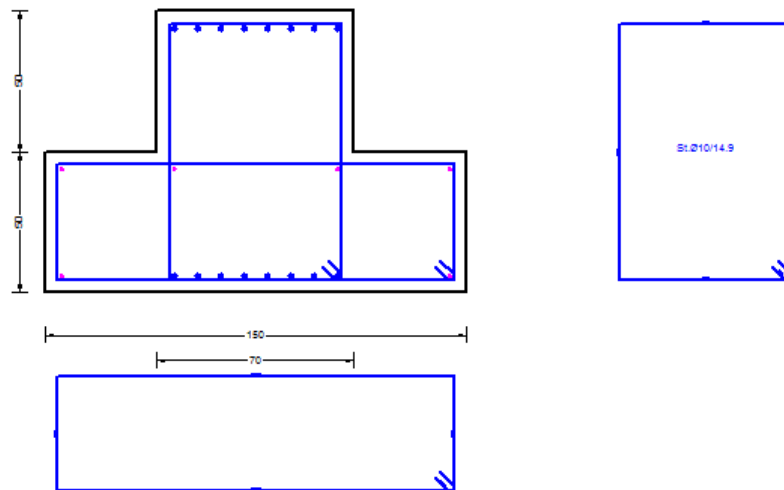
Inoltre sono state eseguite le verifiche a fessurazione e delle tensioni di esercizio per le combinazioni relative allo SLE.

- Verifica di resistenza allo SLU

Si riportano di seguito le sollecitazioni di calcolo, per l'elemento maggiormente sollecitato, in corrispondenza della sezione d'appoggio e della sezione di campata (convenzione sui segni: compressione negativa (-), momento flettente che tende le fibre superiori negativo (-)):

Come prescritto dalle NTC2008 nel paragrafo 7.2.5 la combinazione sismica SLV, andrà amplificata del fattore 1,1 per CDB.

In funzione delle sollecitazioni si è dimensionata opportunamente l'armatura longitudinale della trave tipo:



- Armatura superiore 8  $\Phi$  20
- Armatura inferiore 8  $\Phi$  20

➤ **Verifica a presso-flessione:**

Le verifiche di resistenza a flessione allo SLU (NTC2008 – 4.1.2.1.2.4) per le sezioni di appoggio e di campata sono state condotte con il supporto del software RC-SEC (che svolge in automatico anche il rispetto dei quantitativi minimi di norma) considerando le sollecitazioni riportate nei prospetti precedenti.

➤ **Verifica a taglio:**

Deve risultare (NTC2018 – 4.1.2.1.3.2):

$$V_{Rd} > V_d$$

dove:

$V_d$  = Valore di calcolo del taglio agente;

$$V_{Rd} = \min (V_{Rsd}, V_{Rcd})$$

Con riferimento all'armatura trasversale, la resistenza di calcolo a "taglio trazione" si calcola con:

$$V_{Rsd} = 0.9 \cdot d \cdot \frac{A_{sw}}{s} \cdot f_{yd} \cdot (\text{ctg}\alpha + \text{ctg}\theta) \cdot \sin\alpha$$

Con riferimento al calcestruzzo d'anima, la resistenza di calcolo a "taglio compressione" si calcola con:

$$V_{Rcd} = 0.9 \cdot d \cdot b_w \cdot \alpha_c \cdot f'_{cd} \cdot (\text{ctg}\alpha + \text{ctg}\theta) / (1 + \text{ctg}^2\theta)$$

dove:

$\alpha$  : Angolo d'inclinazione dell'armatura trasversale rispetto all'asse dell'elemento;

$\theta$  : Angolo d'inclinazione dei puntoni in calcestruzzo rispetto all'asse dell'elemento.

**Si adotteranno staffe  $\Phi$ 10/10 cm, mentre nelle zone centrali di campata staffe  $\Phi$ 10/20 cm.**

### e) Verifiche agli stati limite di esercizio - SLE

Le verifiche nei confronti degli stati limite di esercizio degli elementi strutturali si effettuano in termini di:

- verifica di fessurazione;
- verifica delle tensioni di esercizio.

Nel caso in esame non è necessario effettuare le verifiche degli elementi strutturali in termini di resistenza (punto 7.3.7.1 delle NTC2018) dato che il fabbricato tecnologico in esame non ricade in classe d'uso III e IV.

#### Verifiche di fessurazione:

Per assicurare la funzionalità e la durata della struttura è necessario:

- realizzare un sufficiente ricoprimento delle armature con calcestruzzo di buona qualità e compattezza, bassa porosità e bassa permeabilità;
- non superare uno stato limite di fessurazione adeguato alle condizioni ambientali, alle sollecitazioni ed alla sensibilità delle armature alla corrosione;
- tener conto delle esigenze estetiche.

#### **Verifiche alle tensioni**

La verifica delle tensioni in esercizio consiste nel controllare il rispetto dei limiti tensionali previsti per il calcestruzzo e per l'acciaio per ciascuna delle combinazioni di carico caratteristiche "Rara" e "Quasi Permanente"; i valori tensionali nei materiali sono valutati secondo le note teorie di analisi delle sezioni in c.a. in campo elastico e con calcestruzzo "non reagente" adottando come limiti di riferimento, trattandosi nel caso in specie di opere Ferroviarie, quelli indicati nel documento "Specifiche per la progettazione e l'esecuzione dei ponti ferroviari e di altre opere minori sotto binario RFI DTC INC PO SP IFS 001 A del 21-12-11", ovvero:

##### Strutture in c.a.

##### Tensioni di compressione del calcestruzzo

Devono essere rispettati i seguenti limiti per le tensioni di compressione nel calcestruzzo:

- per combinazione di carico caratteristica (rara):  $0,55 f_{ck}$ ;
- per combinazioni di carico quasi permanente:  $0,40 f_{ck}$ ;
- per spessori minori di 5 cm, le tensioni normali limite di esercizio sono ridotte del 30%.

##### Tensioni di trazione nell'acciaio

Per le armature ordinarie, la massima tensione di trazione sotto la combinazione di carico caratteristica (rara) non deve superare  $0,75 f_{yk}$

Per il caso in esame risulta in particolare :



Calcestruzzo:

$$\sigma_{\text{cmax QP}} = (0,40 f_{\text{ck}}) = \mathbf{10} \text{ MPa} \quad (\text{Combinazione di Carico Quasi Permanente})$$

$$\sigma_{\text{cmax R}} = (0,55 f_{\text{ck}}) = \mathbf{13.75} \text{ MPa} \quad (\text{Combinazione di Carico Caratteristica - Rara})$$

Acciaio:

$$\sigma_{\text{s max}} = (0,75 f_{\text{yk}}) = \mathbf{338} \text{ MPa} \quad \text{Combinazione di Carico Caratteristica(Rara)}$$

**Verifiche a fessurazione**

La verifica di fessurazione consiste nel controllare l'ampiezza dell'apertura delle fessure sotto combinazione di carico frequente e combinazione quasi permanente. Essendo la struttura a contatto col terreno si considerano condizioni ambientali aggressive; le armature di acciaio ordinario sono ritenute poco sensibili [NTC – Tabella 4.1.IV]

In relazione all'aggressività ambientale e alla sensibilità dell'acciaio, l'apertura limite delle fessure è riportato nel prospetto seguente:

**Tabella 3 – Criteri di scelta dello stato limite di fessurazione e Condizioni Ambientali**

| Gruppi di esigenza | Condizioni ambientali | Combinazione di azione | Armatura           |                 |                |                 |
|--------------------|-----------------------|------------------------|--------------------|-----------------|----------------|-----------------|
|                    |                       |                        | Sensibile          |                 | Poco sensibile |                 |
|                    |                       |                        | Stato limite       | wd              | Stato limite   | wd              |
| a                  | Ordinarie             | frequente              | ap. fessure        | ≤w <sub>2</sub> | ap. fessure    | ≤w <sub>3</sub> |
|                    |                       | quasi permanente       | ap. fessure        | ≤w <sub>1</sub> | ap. fessure    | ≤w <sub>2</sub> |
| b                  | Aggressive            | frequente              | ap. fessure        | ≤w <sub>1</sub> | ap. fessure    | ≤w <sub>2</sub> |
|                    |                       | quasi permanente       | decompressione     | -               | ap. fessure    | ≤w <sub>1</sub> |
| c                  | Molto Aggressive      | frequente              | formazione fessure | -               | ap. fessure    | ≤w <sub>1</sub> |
|                    |                       | quasi permanente       | decompressione     | -               | ap. fessure    | ≤w <sub>1</sub> |

Tabella 4.1.III – Descrizione delle condizioni ambientali

| CONDIZIONI AMBIENTALI | CLASSE DI ESPOSIZIONE             |
|-----------------------|-----------------------------------|
| Ordinarie             | X0, XC1, XC2, XC3, XF1            |
| Aggressive            | XC4, XD1, XS1, XA1, XA2, XF2, XF3 |
| Molto aggressive      | XD2, XD3, XS2, XS3, XA3, XF4      |

Risultando:

$$w_1 = 0.2 \text{ mm}$$

$$w_2 = 0.3 \text{ mm}$$

$$w_3 = 0.4 \text{ mm}$$

Alle prescrizioni normative presenti in NTC si sostituiscono in tal caso quelle fornite dal "Manuale di Progettazione delle Opere Civili" secondo cui la verifica nei confronti dello stato limite di apertura delle fessure va effettuata utilizzando le sollecitazioni derivanti dalla combinazione caratteristica (rara).

Per strutture in condizioni ambientali aggressive o molto aggressive, qual è il caso delle strutture in esame così come identificate nel par. 4.1.2.2.4.2 del DM 14.01.2008, per tutte le strutture a permanente contatto con il terreno e per le zone non ispezionabili di tutte le

strutture, l'apertura convenzionale delle fessure dovrà risultare:

- Combinazione Caratteristica (Rara)  $\delta_f \leq w_1 = 0.2 \text{ mm}$

Riguardo infine il valore di calcolo delle fessure da confrontare con i valori limite fissati dalla norma, si è utilizzata la procedura del D.M. 9 gennaio 1996, in accordo a quanto previsto al punto " C4.1.2.2.4.6 Verifica allo stato limite di fessurazione" della Circolare n.617/09.

### 9.3.1.-..Tabulato di verifica SLU – SLE e taglio

#### DATI GENERALI SEZIONE RETTANGOLARE DI PILASTRO IN C.A.

NOME SEZIONE: trave fondazione

(Percorso File: Z:\0147 Sicilia\LAVORO\Provvisori\04\_Verifiche\Strutture\PM Palomba - FA02 1+160\trave fondazione.sez)

Descrizione Sezione:

|                               |  |
|-------------------------------|--|
| Metodo di calcolo resistenza: | Resistenze in campo sostanzialmente elastico |
| Normativa di riferimento:     | N.T.C.                                       |
| Tipologia sezione:            | Sezione predefinita di Trave                 |
| Forma della sezione:          | a T o T rovescio                             |
| Percorso sollecitazione:      | A Sforzo Norm. costante                      |
| Condizioni Ambientali:        | Poco aggressive                              |
| Riferimento Sforzi assegnati: | Assi x,y principali d'inerzia                |
| Riferimento alla sismicità:   | Zona non sismica                             |

#### CARATTERISTICHE DI RESISTENZA DEI MATERIALI IMPIEGATI

|                |   |                     |     |
|----------------|---|---------------------|-----|
| CALCESTRUZZO - | Classe:   | C28/35              |     |
|                | Resistenza compress. di progetto fcd:               | 15.86               | MPa |
|                | Resistenza compress. ridotta fcd':                  | 7.930               | MPa |
|                | Deform. unitaria max resistenza ec2:                | 0.0020              |     |
|                | Deformazione unitaria ultima ecu:                   | 0.0035              |     |
|                | Diagramma tensioni-deformaz.:                       | Parabola-Rettangolo |     |
|                | Modulo Elastico Normale Ec:                         | 32308.0             | MPa |
|                | Resis. media a trazione fctm:                       | 2.760               | MPa |
|                | Coeff.Omogen. S.L.E.:                               | 15.00               |     |
|                | Sc limite S.L.E. comb. Rare:                        | 15.400              | MPa |
|                | Sc limite S.L.E. comb. Frequenti:                   | 15.400              | MPa |
|                | Ap.Fessure limite S.L.E. comb. Frequenti:           | 0.200               | mm  |
|                | Sc limite S.L.E. comb. Q.Permanenti:                | 11.200              | MPa |
|                | Ap.Fess.limite S.L.E. comb. Q.Perm.:                | 0.200               | mm  |
| ACCIAIO -      | Tipo:   | B450C               |     |
|                | Resist. caratt. a snervamento fyk:                  | 450.00              | MPa |
|                | Resist. caratt. a rottura ftk:                      | 450.00              | MPa |
|                | Resist. a snerv. di progetto fyd:                   | 391.30              | MPa |
|                | Resist. ultima di progetto ftd:                     | 391.30              | MPa |
|                | Deform. ultima di progetto Epu:                     | 0.068               |     |
|                | Modulo Elastico Ef:                                 | 200000.0            | MPa |
|                | Diagramma tensioni-deformaz.:                       | Bilineare finito    |     |
|                | Coeff. Aderenza istant. $\beta_1 \cdot \beta_2$ :   | 1.00                |     |
|                | Coeff. Aderenza differito $\beta_1 \cdot \beta_2$ : | 0.50                |     |
|                | Comb.Rare - Sf Limite:                              | 337.50              | MPa |

#### CARATTERISTICHE GEOMETRICHE ED ARMATURE SEZIONE

|                     |       |    |
|---------------------|-------|----|
| Base rett. inf.:    | 150.0 | cm |
| Altezza rett. inf.: | 50.0  | cm |
| Base rett. sup.:    | 70.0  | cm |

RELAZIONE DI CALCOLO FABBRICATO IS/PPM

| COMMESSA | LOTTO | CODIFICA | DOCUMENTO    | REV. | FOGLIO    |
|----------|-------|----------|--------------|------|-----------|
| RS3E     | 50    | D 78 CL  | FA 03 00 001 | A    | 91 di 111 |

|                                |             |                         |
|--------------------------------|-------------|-------------------------|
| Altezza rett. sup.:            | 50.0        | cm                      |
| Barre inferiori:               | 2Ø20 + 6Ø20 | (25.1 cm <sup>2</sup> ) |
| Barre superiori:               | 2Ø20 + 6Ø20 | (25.1 cm <sup>2</sup> ) |
| Coprif.Inf.(dal baric. barre): | 6.0         | cm                      |
| Coprif.Sup.(dal baric. barre): | 6.0         | cm                      |
| Coprif.Lat. (dal baric.barre): | 6.0         | cm                      |

**CALCOLO DI RESISTENZA - SFORZI PER OGNI COMBINAZIONE ASSEGNATA**

|    |  |
|----|--|
| N  | Sforzo normale [kN] applicato nel baricentro (posit. se di compress.)  |
| Mx | Momento flettente [kNm] intorno all'asse x baric. della sezione con verso positivo se tale da comprimere il lembo sup. della sezione |
| VY | Taglio [kN] in direzione parallela all'asse Y del riferim. generale  |
| MT | Momento torcente [kN m]  |

| N°Comb. | N     | Mx      | Vy      | MT   |
|---------|-------|---------|---------|------|
| 1       | -1.00 | -123.00 | -105.00 | 0.00 |
| 2       | 0.00  | 44.00   | -3.00   | 0.00 |
| 3       | -1.00 | -101.00 | -104.00 | 0.00 |
| 4       | 0.00  | 35.00   | -1.00   | 0.00 |

**COMB. RARE (S.L.E.) - SFORZI PER OGNI COMBINAZIONE ASSEGNATA**

|    |   |
|----|---|
| N  | Sforzo normale [kN] applicato nel baricentro (positivo se di compress.)   |
| Mx | Coppia [kNm] applicata all'asse x baricentrico (tra parentesi il Momento di fessurazione) con verso positivo se tale da comprimere il lembo superiore della sezione |

| N°Comb. | N     | Mx     |
|---------|-------|--------|
| 1       | -1.00 | -73.00 |
| 2       | 0.00  | 25.00  |

**COMB. FREQUENTI (S.L.E.) - SFORZI PER OGNI COMBINAZIONE ASSEGNATA**

|    |   |
|----|---|
| N  | Sforzo normale [kN] applicato nel baricentro (positivo se di compress.)   |
| Mx | Coppia [kNm] applicata all'asse x baricentrico (tra parentesi il Momento di fessurazione) con verso positivo se tale da comprimere il lembo superiore della sezione |

| N°Comb. | N    | Mx               |
|---------|------|------------------|
| 1       | 0.00 | -69.00 (-461.15) |
| 2       | 0.00 | 14.00 (650.26)   |

**COMB. QUASI PERMANENTI (S.L.E.) - SFORZI PER OGNI COMBINAZIONE ASSEGNATA**

|    |   |
|----|---|
| N  | Sforzo normale [kN] applicato nel baricentro (positivo se di compress.)   |
| Mx | Coppia [kNm] applicata all'asse x baricentrico (tra parentesi il Momento di fessurazione) con verso positivo se tale da comprimere il lembo superiore della sezione |

| N°Comb. | N    | Mx               |
|---------|------|------------------|
| 1       | 0.00 | -49.00 (-461.15) |
| 2       | 0.00 | 14.00 (650.26)   |

**RISULTATI DEL CALCOLO**

**Sezione verificata per tutte le combinazioni assegnate**

|  |     |    |
|--|-----|----|
| Copriferro netto minimo barre longitudinali: | 5.0 | cm |
| Interferro netto minimo barre longitudinali: | 6.3 | cm |

RELAZIONE DI CALCOLO FABBRICATO IS/PPM

| COMMESSA | LOTTO | CODIFICA | DOCUMENTO    | REV. | FOGLIO    |
|----------|-------|----------|--------------|------|-----------|
| RS3E     | 50    | D 78 CL  | FA 03 00 001 | A    | 92 di 111 |

Copriferro netto minimo staffe: 4.0 cm

**VERIFICHE DI RESISTENZA IN PRESSO-TENSO FLESSIONE ALLO STATO LIMITE SOSTANZIALMENTE ELASTICO**

|          |   |
|----------|---|
| Ver      | S = combinazione verificata / N = combin. non verificata  |
| N        | Sforzo normale baricentrico assegnato [kN] (positivo se di compressione)  |
| Mx       | Momento flettente assegnato [kNm] riferito all'asse x baricentrico  |
| N Ult    | Sforzo normale alla massima resistenza [kN] nella sezione (positivo se di compress.)  |
| Mx re    | Momento resistente sostanzialmente elastico [kNm] riferito all'asse x baricentrico  |
| Mis.Sic. | Misura sicurezza = rapporto vettoriale tra (N re, Mx re) e (N, Mx)<br>Verifica positiva se tale rapporto risulta $\geq 1.000$ |
| Yn       | Ordinata [cm] dell'asse neutro alla massima resistenza nel sistema di rif. X,Y,O sez.   |
| x/d      | Rapp. di duttilità (travi e solette) [§ 4.1.2.1.2.1 NTC]: deve essere $< 0.45$  |
| C.Rid.   | Coeff. di riduz. momenti in travi continue [formula (4.1.1)NTC]   |

| N°Comb | Ver | N     | Mx      | N re | Mx re | Mis.Sic. | Yn   | x/d  | C.Rid. |             |
|--------|-----|-------|---------|------|-------|----------|------|------|--------|-------------|
| 1      | S   | -1.00 | -123.00 |      |       | 7.047    | 17.3 | 0.18 | 0.70   | 25.1 (15.2) |
| 2      | S   | 0.00  | 44.00   |      |       | 19.329   | 76.7 | 0.25 | 0.75   | 25.1 (18.3) |
| 3      | S   | -1.00 | -101.00 |      |       | 8.583    | 17.3 | 0.18 | 0.70   | 25.1 (15.2) |
| 4      | S   | 0.00  | 35.00   |      |       | 24.300   | 76.7 | 0.25 | 0.75   | 25.1 (18.3) |

**DEFORMAZIONI UNITARIE ALLO STATO LIMITE SOSTANZIALMENTE ELASTICO**

|        |  |
|--------|--|
| ec max | Deform. unit. massima del conglomerato a compressione                  |
| Yc max | Ordinata in cm della fibra corrisp. a ec max (sistema rif. X,Y,O sez.) |
| es min | Deform. unit. minima nell'acciaio (negativa se di trazione)            |
| Ys min | Ordinata in cm della barra corrisp. a es min (sistema rif. X,Y,O sez.) |
| es max | Deform. unit. massima nell'acciaio (positiva se di compressione)       |
| Ys max | Ordinata in cm della barra corrisp. a es max (sistema rif. X,Y,O sez.) |

| N°Comb | ec max  | Yc max | es min  | Ys min | es max   | Ys max |
|--------|---------|--------|---------|--------|----------|--------|
| 1      | 0.00044 | 0.0    | 0.00029 | 6.0    | -0.00196 | 94.0   |
| 2      | 0.00064 | 100.0  | 0.00048 | 94.0   | -0.00196 | 6.0    |
| 3      | 0.00044 | 0.0    | 0.00029 | 6.0    | -0.00196 | 94.0   |
| 4      | 0.00064 | 100.0  | 0.00048 | 94.0   | -0.00196 | 6.0    |

**ARMATURE A TAGLIO E/O TORSIONE DI INVILUPPO PER LE COMBINAZIONI ASSEGNATE**

|                  |      |                    |  |
|------------------|------|--------------------|--|
| Diametro staffe: | 10   | mm                 |  |
| Passo staffe:    | 14.9 | cm                 | [Passo massimo di normativa = 15.0 cm]             |
| N.Bracci staffe: | 2    |                    |  |
| Area staffe/m :  | 10.5 | cm <sup>2</sup> /m | [Area Staffe Minima NTC = 10.5 cm <sup>2</sup> /m] |

**VERIFICHE A TAGLIO**

|      |  |
|------|--|
| Ver  | S = comb.verificata a taglio-tors./ N = comb. non verificata                               |
| Ved  | Taglio agente [kN] uguale al taglio Vy di comb. (sollecit. retta)                          |
| Vrd  | Taglio resistente [kN] in assenza di staffe [formula (4.1.23)NTC]                          |
| Vcd  | Taglio compressione resistente [kN] lato conglomerato [formula (4.1.28)NTC]                |
| Vwd  | Taglio trazione resistente [kN] assorbito dalle staffe [formula (4.1.27)NTC]               |
| bw d | Larghezza minima [cm] sezione misurata parallelam. all'asse neutro   Altezza utile sezione |
| Ctg  | Cotangente dell'angolo di inclinazione dei puntoni di conglomerato                         |
| Acw  | Coefficiente maggiorativo della resistenza a taglio per compressione                       |
| Ast  | Area staffe/metro strettamente necessaria per taglio e torsione [cm <sup>2</sup> /m]       |

| N°Comb | Ver | Ved | Vrd | Vcd | Vwd | bw d | Ctg | Acw | ASt |
|--------|-----|-----|-----|-----|-----|------|-----|-----|-----|
|--------|-----|-----|-----|-----|-----|------|-----|-----|-----|

RELAZIONE DI CALCOLO FABBRICATO IS/PPM

| COMMESSA | LOTTO | CODIFICA | DOCUMENTO    | REV. | FOGLIO    |
|----------|-------|----------|--------------|------|-----------|
| RS3E     | 50    | D 78 CL  | FA 03 00 001 | A    | 93 di 111 |

|   |   |         |        |         |        |            |       |       |     |
|---|---|---------|--------|---------|--------|------------|-------|-------|-----|
| 1 | S | -105.00 | 254.21 | 1619.37 | 872.48 | 70.0  94.0 | 2.500 | 1.000 | 1.3 |
| 2 | S | -3.00   | 254.21 | 1619.37 | 872.48 | 70.0  94.0 | 2.500 | 1.000 | 0.0 |
| 3 | S | -104.00 | 254.21 | 1619.37 | 872.48 | 70.0  94.0 | 2.500 | 1.000 | 1.3 |
| 4 | S | -1.00   | 254.21 | 1619.37 | 872.48 | 70.0  94.0 | 2.500 | 1.000 | 0.0 |

**COMBINAZIONI RARE IN ESERCIZIO - VERIFICA MASSIME TENSIONI NORMALI**

|         |  |
|---------|--|
| Ver     | S = combinazione verificata / N = combin. non verificata   |
| Sc max  | Massima tensione di compress.(+) nel conglom. in fase fessurata ([Mpa]   |
| Yc max  | Ordinata in cm della fibra corrisp. a Sc max (sistema rif. X,Y,O)  |
| Sc min  | Minima tensione di compress.(+) nel conglom. in fase fessurata ([Mpa]  |
| Yc min  | Ordinata in cm della fibra corrisp. a Sc min (sistema rif. X,Y,O)  |
| Sf min  | Minima tensione di trazione (-) nell'acciaio [Mpa]   |
| Ys min  | Ordinata in cm della barra corrisp. a Sf min (sistema rif. X,Y,O)  |
| Dw Eff. | Spessore di conglomerato [cm] in zona tesa considerata aderente alle barre   |
| Ac eff. | Area di congl. [cm <sup>2</sup> ] in zona tesa aderente alle barre (verifica fess.)  |
| As eff. | Area Barre tese di acciaio [cm <sup>2</sup> ] ricadente nell'area efficace(verifica fess.)   |
| D barre | Distanza in cm tra le barre tese efficaci.<br>(D barre = 0 indica spaziatura superiore a $5(c+\varnothing/2)$ e nel calcolo di fess. si usa la (C4.1.11)NTC/(7.14)EC2) |

| N°Comb | Ver | Sc max | Yc max | Sc min | Yc min | Sf min | Ys min | Dw Eff. | Ac Eff. | As Eff. | D barre |
|--------|-----|--------|--------|--------|--------|--------|--------|---------|---------|---------|---------|
| 1      | S   | 0.52   | 0.0    | 0.00   | 0.0    | -33.1  | 6.0    | 15.0    | 1050    | 25.1    | 8.3     |
| 2      | S   | 0.26   | 76.2   | 0.00   | 76.2   | -11.5  | 94.0   | 15.0    | 2250    | 25.1    | 8.3     |

**COMBINAZIONI RARE IN ESERCIZIO - VERIFICA APERTURA FESSURE (NTC/EC2)**

|         |   |
|---------|---|
| Ver     | Esito verifica  |
| e1      | Minima deformazione unitaria (trazione: segno -) nel calcestruzzo in sez. fessurata                                 |
| e2      | Massima deformazione unitaria (compress.: segno +) nel calcestruzzo in sez. fessurata                               |
| K2      | = $0.5$ per flessione; $=(e1 + e2)/(2 \cdot e2)$ in trazione eccentrica per la (7.13)EC2 e la (C4.1.11)NTC          |
| Kt      | fattore di durata del carico di cui alla (7.9) dell'EC2   |
| e sm    | Deformazione media acciaio tra le fessure al netto di quella del cls. Tra parentesi il valore minimo = 0.6 Ss/Es    |
| srm     | Distanza massima in mm tra le fessure   |
| wk      | Apertura delle fessure in mm fornito dalla (7.8)EC2 e dalla (C4.1.7)NTC. Tra parentesi è indicato il valore limite. |
| M fess. | Momento di prima fessurazione [kNm]   |

| N°Comb | Ver | e1       | e2      | K2   | Kt   | e sm                | srm | wk           | M Fess. |
|--------|-----|----------|---------|------|------|---------------------|-----|--------------|---------|
| 1      | S   | -0.00018 | 0.00004 | 0.50 | 0.60 | 0.000099 (0.000099) | 312 | 0.031 (0.20) | -460.29 |
| 2      | S   | -0.00006 | 0.00002 | 0.50 | 0.60 | 0.000034 (0.000034) | 474 | 0.016 (0.20) | 650.26  |

**COMBINAZIONI FREQUENTI IN ESERCIZIO - VERIFICA MASSIME TENSIONI NORMALI**

| N°Comb | Ver | Sc max | Yc max | Sc min | Yc min | Sf min | Ys min | Dw Eff. | Ac Eff. | As Eff. | D barre |
|--------|-----|--------|--------|--------|--------|--------|--------|---------|---------|---------|---------|
| 1      | S   | 0.49   | 0.0    | 0.00   | 0.0    | -31.2  | 6.0    | 15.0    | 1050    | 25.1    | 8.3     |
| 2      | S   | 0.15   | 76.2   | 0.00   | 76.2   | -6.4   | 94.0   | 15.0    | 2250    | 25.1    | 8.3     |

**COMBINAZIONI FREQUENTI IN ESERCIZIO - VERIFICA APERTURA FESSURE (NTC/EC2)**

| N°Comb | Ver | e1       | e2      | K2   | Kt   | e sm                | srm | wk           | M Fess. |
|--------|-----|----------|---------|------|------|---------------------|-----|--------------|---------|
| 1      | S   | -0.00017 | 0.00004 | 0.50 | 0.60 | 0.000094 (0.000094) | 312 | 0.029 (0.20) | -461.15 |
| 2      | S   | -0.00003 | 0.00001 | 0.50 | 0.60 | 0.000019 (0.000019) | 474 | 0.009 (0.20) | 650.26  |

**COMBINAZIONI QUASI PERMANENTI IN ESERCIZIO - VERIFICA MASSIME TENSIONI NORMALI**

| N°Comb | Ver | Sc max | Yc max | Sc min | Yc min | Sf min | Ys min | Dw Eff. | Ac Eff. | As Eff. | D barre |
|--------|-----|--------|--------|--------|--------|--------|--------|---------|---------|---------|---------|
| 1      | S   | 0.36   | 0.0    | 0.00   | 0.0    | -22.1  | 6.0    | 15.0    | 1050    | 25.1    | 8.3     |
| 2      | S   | 0.15   | 76.2   | 0.00   | 76.2   | -6.4   | 94.0   | 15.0    | 2250    | 25.1    | 8.3     |

RELAZIONE DI CALCOLO FABBRICATO IS/PPM

| COMMESSA | LOTTO | CODIFICA | DOCUMENTO    | REV. | FOGLIO    |
|----------|-------|----------|--------------|------|-----------|
| RS3E     | 50    | D 78 CL  | FA 03 00 001 | A    | 94 di 111 |

**COMBINAZIONI QUASI PERMANENTI IN ESERCIZIO - VERIFICA APERTURA FESSURE (NTC/EC2)**

| N°Comb | Ver | e1       | e2      | K2   | Kt   | e sm                | srm | wk           | M Fess. |
|--------|-----|----------|---------|------|------|---------------------|-----|--------------|---------|
| 1      | S   | -0.00012 | 0.00003 | 0.50 | 0.40 | 0.000066 (0.000066) | 312 | 0.021 (0.20) | -461.15 |
| 2      | S   | -0.00003 | 0.00001 | 0.50 | 0.40 | 0.000019 (0.000019) | 474 | 0.009 (0.20) | 650.26  |

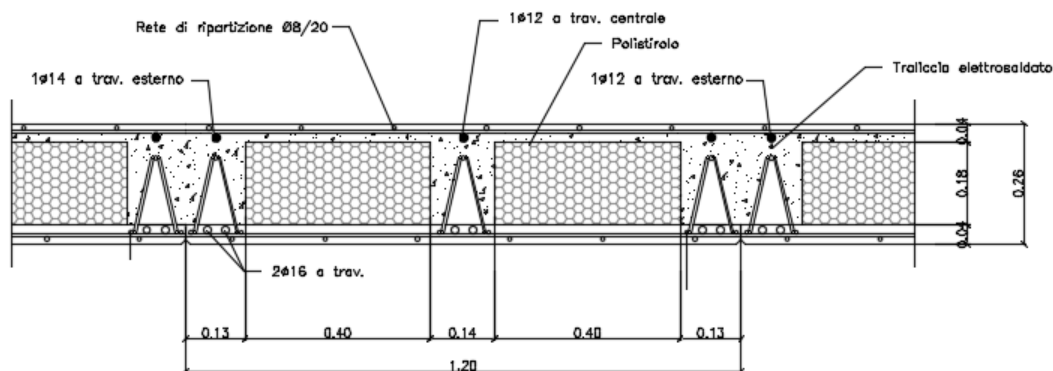
## 10.-..VERIFICA SOLAIO

### 10.1.-..Premessa

Il solaio è del tipo a predalle di spessore 4+16+4, nella fase di getto si considera puntellato e pertanto nei paragrafi successivi si esegue la verifica del solaio nella fase di esercizio.

### SEZIONE SOLAIO

SCALA 1:10



### 10.2.-..Analisi dei carichi

Dai paragrafi precedenti si ricavano le azioni agenti sul solaio di copertura

- Peso proprio ( $G_1$ ) = 3.37 kN/m<sup>2</sup>
- Permanenti ( $G_2$ ) = 3.10 kN/m<sup>2</sup>
- Accidentale cat. H1 ( $Q_{H1}$ ) = 0.50 kN/m<sup>2</sup>
- Neve = 0.49 kN/m<sup>2</sup>

### 10.3.-..Calcolo delle massime sollecitazioni agenti

Si considera uno schema statico a doppio appoggio su singola campata di luce pari a 4.20m, verificando il campo con luce maggiore.

Le massime sollecitazioni agenti risultano pertanto pari a:

$$M_{SLU} = (1.3 \cdot 3.37 + 1.5 \cdot 3.1 + 1.5 \cdot 0.5 + 1.5 \cdot 0.5 \cdot 0.49) \cdot 4.20^2 / 8 = 22.5 \text{ kNm/m}$$

$$T_{SLU} = (1.3 \cdot 3.37 + 1.5 \cdot 3.1 + 1.5 \cdot 0.5 + 1.5 \cdot 0.5 \cdot 0.49) \cdot 4.20 / 2 = 21.5 \text{ kN/m}$$

$$M_{SLE, rara} = (3.37 + 3.1 + 0.5 + 0.5 \cdot 0.49) \cdot 4.20^2 / 8 = 15.9 \text{ kNm/m}$$

#### 10.4.-. Verifica del solaio

Si esegue la verifica a flessione e taglio di una sezione a T equivalente alla predella di larghezza 1.20m armata con 2 $\phi$ 12 inferiori ed 1 $\phi$ 12 superiore a travetto per cui risulta:

$$M_{SLU} = 22.5 \cdot 1.20 = 27 \text{ kNm}$$

$$T_{SLU} = 21.5 \cdot 1.20 = 25.8 \text{ kN}$$

$$M_{SLE, rara} = 15.9 \cdot 1.20 = 19.1 \text{ kNm}$$

#### DATI GENERALI SEZIONE RETTANGOLARE DI PILASTRO IN C.A.

NOME SEZIONE: solaio\_vr

(Percorso File: Z:\0147 Sicilia\AVORO\Provvisori\04\_Verifiche\Strutture\fabbricato PPT\solaio\_vr.sez)

|                               |  |
|-------------------------------|--|
| Descrizione Sezione:          |  |
| Metodo di calcolo resistenza: | Stati Limite Ultimi  |
| Normativa di riferimento:     | N.T.C.   |
| Tipologia sezione:            | Sezione predefinita di trave (solette, nervature solai) senza staffe |
| Forma della sezione:          | a T o T rovescio   |
| Percorso sollecitazione:      | A Sforzo Norm. costante  |
| Condizioni Ambientali:        | Poco aggressive  |
| Riferimento Sforzi assegnati: | Assi x,y principali d'inerzia  |
| Riferimento alla sismicit :   | Zona non sismica   |

#### CARATTERISTICHE DI RESISTENZA DEI MATERIALI IMPIEGATI

|   |                                       |                     |
|---|---------------------------------------|---------------------|
| CALCESTRUZZO -                                    | Classe:                               | C28/35              |
|   | Resistenza compress. di progetto fcd: | 15.86 MPa           |
|   | Deform. unitaria max resistenza ec2:  | 0.0020              |
|   | Deformazione unitaria ultima ecu:     | 0.0035              |
|   | Diagramma tensioni-deformaz.:         | Parabola-Rettangolo |
|   | Modulo Elastico Normale Ec:           | 32308.0 MPa         |
|   | Resis. media a trazione fctm:         | 2.760 MPa           |
|   | Coeff.Omogen. S.L.E.:                 | 15.00               |
|   | Sc limite S.L.E. comb. Rare:          | 15.400 MPa          |
| ACCIAIO -   | Tipo:                                 | B450C               |
|   | Resist. caratt. a snervamento fyk:    | 450.00 MPa          |
|   | Resist. caratt. a rottura ftk:        | 450.00 MPa          |
|   | Resist. a snerv. di progetto fyd:     | 391.30 MPa          |
|   | Resist. ultima di progetto ftd:       | 391.30 MPa          |
|   | Deform. ultima di progetto Epu:       | 0.068               |
|   | Modulo Elastico Ef:                   | 200000.0 MPa        |
|   | Diagramma tensioni-deformaz.:         | Bilineare finito    |
| Coeff. Aderenza istant. $\beta_1 \cdot \beta_2$ : | 1.00                                  |                     |



RELAZIONE DI CALCOLO FABBRICATO IS/PPM

| COMMESSA | LOTTO | CODIFICA | DOCUMENTO    | REV. | FOGLIO    |
|----------|-------|----------|--------------|------|-----------|
| RS3E     | 50    | D 78 CL  | FA 03 00 001 | A    | 97 di 111 |

Coeff. Aderenza differito  $\beta_1 \cdot \beta_2$ : 0.50  
Comb.Rare - Sf Limite: 337.50 MPa

**CARATTERISTICHE GEOMETRICHE ED ARMATURE SEZIONE**

|                                |       |                        |
|--------------------------------|-------|------------------------|
| Base rett. inf.:               | 40.0  | cm                     |
| Altezza rett. inf.:            | 20.0  | cm                     |
| Base rett. sup.:               | 120.0 | cm                     |
| Altezza rett. sup.:            | 4.0   | cm                     |
| Barre inferiori:               | 6Ø12  | (6.8 cm <sup>2</sup> ) |
| Barre superiori:               | 3Ø12  | (3.4 cm <sup>2</sup> ) |
| Coprif.Inf.(dal baric. barre): | 4.6   | cm                     |
| Coprif.Sup.(dal baric. barre): | 4.0   | cm                     |
| Coprif.Lat. (dal baric.barre): | 4.0   | cm                     |

**CALCOLO DI RESISTENZA - SFORZI PER OGNI COMBINAZIONE ASSEGNATA**

N Sforzo normale [kN] applicato nel baricentro (posit. se di compress.)  
Mx Momento flettente [kNm] intorno all'asse x baric. della sezione  
con verso positivo se tale da comprimere il lembo sup. della sezione  
Vy Taglio [kN] in direzione parallela all'asse Y del riferim. generale  
MT Momento torcente [kN m]

| N°Comb. | N    | Mx    | Vy    | MT   |
|---------|------|-------|-------|------|
| 1       | 0.00 | 27.00 | 25.80 | 0.00 |

**COMB. RARE (S.L.E.) - SFORZI PER OGNI COMBINAZIONE ASSEGNATA**

N Sforzo normale [kN] applicato nel baricentro (positivo se di compress.)  
Mx Coppia [kNm] applicata all'asse x baricentrico (tra parentesi il Momento di fessurazione)  
con verso positivo se tale da comprimere il lembo superiore della sezione

| N°Comb. | N    | Mx    |
|---------|------|-------|
| 1       | 0.00 | 19.10 |

**RISULTATI DEL CALCOLO**

Copriferro netto minimo barre longitudinali: 3.4 cm  
Interferro netto minimo barre longitudinali: 5.2 cm  
Copriferro netto minimo staffe: 3.4 cm

**VERIFICHE DI RESISTENZA IN PRESSO-TENSO FLESSIONE ALLO STATO LIMITE ULTIMO**

Ver S = combinazione verificata / N = combin. non verificata  
N Sforzo normale baricentrico assegnato [kN] (positivo se di compressione)  
Mx Momento flettente assegnato [kNm] riferito all'asse x baricentrico  
N Ult Sforzo normale alla massima resistenza [kN] nella sezione (positivo se di compress.)  
Mx rd Momento resistente ultimo [kNm] riferito all'asse x baricentrico  
Mis.Sic. Misura sicurezza = rapporto vettoriale tra (N rd, Mx rd) e (N, Mx)  
Verifica positiva se tale rapporto risulta  $\geq 1.000$   
Yn Ordinata [cm] dell'asse neutro alla massima resistenza nel sistema di rif. X,Y,O sez.  
x/d Rapp. di duttilità (travi e solette) [§ 4.1.2.1.2.1 NTC]; deve essere  $< 0.45$   
C.Rid. Coeff. di riduz. momenti in travi continue [formula (4.1.1)NTC]

| N°Comb | Ver | N    | Mx    | N rd | Mx rd | Mis.Sic. | Yn   | x/d  | C.Rid. |            |
|--------|-----|------|-------|------|-------|----------|------|------|--------|------------|
| 1      | S   | 0.00 | 27.00 | 0.13 | 52.52 | 1.945    | 21.4 | 0.13 | 0.70   | 10.2 (1.2) |

RELAZIONE DI CALCOLO FABBRICATO IS/PPM

| COMMESSA | LOTTO | CODIFICA | DOCUMENTO    | REV. | FOGLIO    |
|----------|-------|----------|--------------|------|-----------|
| RS3E     | 50    | D 78 CL  | FA 03 00 001 | A    | 98 di 111 |

**DEFORMAZIONI UNITARIE ALLO STATO LIMITE ULTIMO**

|        |  |
|--------|--|
| ec max | Deform. unit. massima del conglomerato a compressione                  |
| Yc max | Ordinata in cm della fibra corrisp. a ec max (sistema rif. X,Y,O sez.) |
| es min | Deform. unit. minima nell'acciaio (negativa se di trazione)            |
| Ys min | Ordinata in cm della barra corrisp. a es min (sistema rif. X,Y,O sez.) |
| es max | Deform. unit. massima nell'acciaio (positiva se di compressione)       |
| Ys max | Ordinata in cm della barra corrisp. a es max (sistema rif. X,Y,O sez.) |

| N°Comb | ec max  | Yc max | es min   | Ys min | es max   | Ys max |
|--------|---------|--------|----------|--------|----------|--------|
| 1      | 0.00350 | 24.0   | -0.00195 | 20.0   | -0.02293 | 4.6    |

**VERIFICHE A TAGLIO SENZA ARMATURE TRASVERSALI (§ 4.1.2.1.3.1 NTC)**

|      |  |
|------|--|
| Ver  | S = comb.verificata a taglio/ N = comb. non verificata                     |
| Ved  | Taglio agente [daN] uguale al taglio Vy di comb. (sollecit. retta)         |
| Vwct | Taglio trazione resistente [kN] in assenza di staffe [formula (4.1.23)NTC] |
| d    | Altezza utile sezione [cm]   |
| bw   | Larghezza minima sezione [cm]  |
| Ro   | Rapporto geometrico di armatura longitudinale [ $<0.02$ ]                  |
| Scp  | Tensione media di compressione nella sezione [Mpa]                         |

| N°Comb | Ver | Ved   | Vwct  | d    | bw   | Ro     | Scp  |
|--------|-----|-------|-------|------|------|--------|------|
| 1      | S   | 25.80 | 61.91 | 19.4 | 40.0 | 0.0131 | 0.00 |

**COMBINAZIONI RARE IN ESERCIZIO - VERIFICA MASSIME TENSIONI NORMALI**

|         |  |
|---------|--|
| Ver     | S = combinazione verificata / N = combin. non verificata   |
| Sc max  | Massima tensione di compress.(+) nel conglom. in fase fessurata ([Mpa])  |
| Yc max  | Ordinata in cm della fibra corrisp. a Sc max (sistema rif. X,Y,O)  |
| Sc min  | Minima tensione di compress.(+) nel conglom. in fase fessurata ([Mpa])   |
| Yc min  | Ordinata in cm della fibra corrisp. a Sc min (sistema rif. X,Y,O)  |
| Sf min  | Minima tensione di trazione (-) nell'acciaio [Mpa]   |
| Ys min  | Ordinata in cm della barra corrisp. a Sf min (sistema rif. X,Y,O)  |
| Dw Eff. | Spessore di conglomerato [cm] in zona tesa considerata aderente alle barre   |
| Ac eff. | Area di congl. [cm <sup>2</sup> ] in zona tesa aderente alle barre (verifica fess.)  |
| As eff. | Area Barre tese di acciaio [cm <sup>2</sup> ] ricadente nell'area efficace(verifica fess.)   |
| D barre | Distanza in cm tra le barre tese efficaci.<br>(D barre = 0 indica spaziatura superiore a $5(c+\varnothing/2)$ e nel calcolo di fess. si usa la (C4.1.11)NTC/(7.14)EC2) |

| N°Comb | Ver | Sc max | Yc max | Sc min | Yc min | Sf min | Ys min | Dw Eff. | Ac Eff. | As Eff. | D barre |
|--------|-----|--------|--------|--------|--------|--------|--------|---------|---------|---------|---------|
| 1      | S   | 3.61   | 24.0   | 0.00   | 19.1   | -158.6 | 20.0   | 6.4     | 254     | 6.8     | 6.2     |

**COMBINAZIONI RARE IN ESERCIZIO - VERIFICA APERTURA FESSURE (NTC/EC2)**

|         |   |
|---------|---|
| Ver     | Esito verifica  |
| e1      | Minima deformazione unitaria (trazione: segno -) nel calcestruzzo in sez. fessurata                                 |
| e2      | Massima deformazione unitaria (compress.: segno +) nel calcestruzzo in sez. fessurata                               |
| K2      | = 0.5 per flessione; $=(e1 + e2)/(2*e2)$ in trazione eccentrica per la (7.13)EC2 e la (C4.1.11)NTC                  |
| Kt      | fattore di durata del carico di cui alla (7.9) dell'EC2   |
| e sm    | Deformazione media acciaio tra le fessure al netto di quella del cls. Tra parentesi il valore minimo = 0.6 Ss/Es    |
| srm     | Distanza massima in mm tra le fessure   |
| wk      | Apertura delle fessure in mm fornito dalla (7.8)EC2 e dalla (C4.1.7)NTC. Tra parentesi è indicato il valore limite. |
| M fess. | Momento di prima fessurazione [kNm]   |

| N°Comb | Ver | e1 | e2 | K2 | Kt | e sm | srm | wk | M Fess. |
|--------|-----|----|----|----|----|------|-----|----|---------|
|--------|-----|----|----|----|----|------|-----|----|---------|



DIRETTRICE FERROVIARIA MESSINA - CATANIA - PALERMO  
NUOVO COLLEGAMENTO PALERMO - CATANIA  
PROGETTO DEFINITIVO  
FA03/FA04 - PM Palomba al Km 9+310

RELAZIONE DI CALCOLO FABBRICATO IS/PPM

| COMMESSA | LOTTO | CODIFICA | DOCUMENTO    | REV. | FOGLIO    |
|----------|-------|----------|--------------|------|-----------|
| RS3E     | 50    | D 78 CL  | FA 03 00 001 | A    | 99 di 111 |

1 S-0.001050.00027 0.50 0.600.000476 (0.000476) 2120.101 (0.20) 16.11

## 11.-..INCIDENZA ARMATURE

Per l'incidenza dell'opera oggetto della presente relazione di calcolo si rimanda all'elaborato dal titolo: Tabella Incidenza Armature opere civili.

## 12.-..VERIFICA DEGLI ELEMENTI STRUTTURALI IN TERMINI DI CONTENIMENTO DEL DANNO AGLI ELEMENTI NON STRUTTURALI (SLO)

Per le costruzioni ricadenti in classe d'uso III e IV si deve verificare che l'azione sismica di progetto non produca danni agli elementi costruttivi senza funzione strutturale tali da rendere temporaneamente non operativa la costruzione.

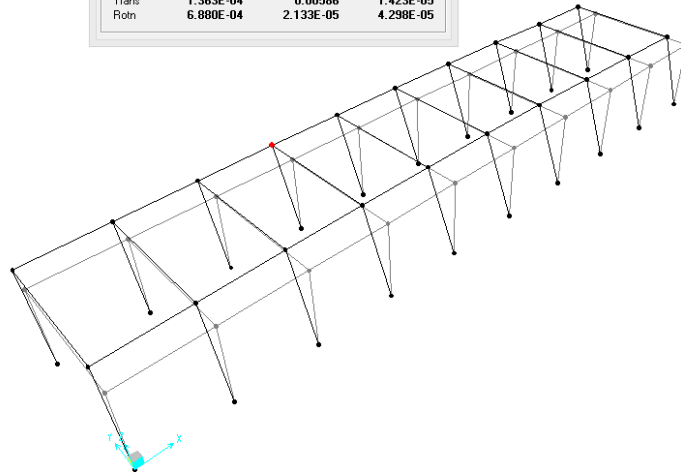
Nel caso delle costruzioni civili e industriali questa condizione si può ritenere soddisfatta quando gli spostamenti interpiano ottenuti dall'analisi in presenza dell'azione sismica di progetto relativa allo SLO (v. § 3.2.1 e § 3.2.3.2) siano inferiori a:

- per tamponamenti progettati in modo da non subire danni a seguito di spostamenti d'interpiano, per effetto della loro deformabilità intrinseca ovvero dei collegamenti alla struttura:

$$d_r \leq 2 \times 0.01h / 3 = 2.75 \text{ cm}$$

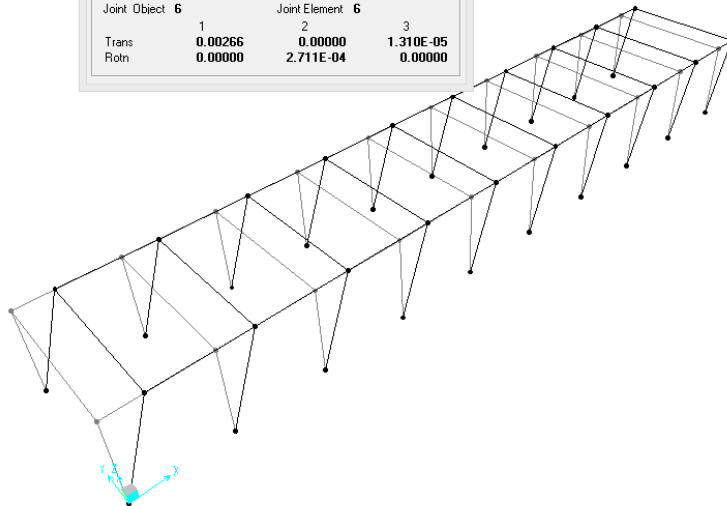
Si riportano gli spostamenti della Combinazione SLO (il raffronto è con la fondazione a nodi incastrati)

| Joint Object | Joint Element 16 |           |           |
|--------------|------------------|-----------|-----------|
|              | 1                | 2         | 3         |
| Trans        | 1.363E-04        | 0.00586   | 1.423E-05 |
| Rotn         | 6.880E-04        | 2.133E-05 | 4.298E-05 |



$$d_r = u_2 = 0.59 \text{ cm} < 2.75 \text{ cm}$$

| Joint Object | Joint Element 6 |           |           |
|--------------|-----------------|-----------|-----------|
|              | 1               | 2         | 3         |
| Trans        | 0.00266         | 0.00000   | 1.310E-05 |
| Rotn         | 0.00000         | 2.711E-04 | 0.00000   |



$$d_r = u_1 = 0.27 \text{ cm} < 2.75 \text{ cm}$$

La verifica risulta soddisfatta.

## 13.-..VERIFICA DI CAPACITÀ PORTANTE

La norma 2008 al punto 7.2.5 recita come segue:

Per le strutture progettate sia per CD "A" sia per CD "B" il dimensionamento delle strutture di fondazione e la verifica di sicurezza del complesso fondazione-terreno devono essere eseguiti assumendo come azioni in fondazione le resistenze degli elementi strutturali soprastanti. Più precisamente, la forza assiale negli elementi strutturali verticali derivante dalla combinazione delle azioni di cui al § 3.2.4 deve essere associata al concomitante valore resistente del momento flettente e del taglio; si richiede tuttavia che tali azioni risultino non maggiori di quelle trasferite dagli elementi soprastanti, amplificate con un  $\gamma_{Rd}$  pari a 1,1 in CD "B" e 1,3 in CD "A", e comunque non maggiori di quelle derivanti da una analisi elastica della struttura in elevazione eseguita con un fattore di struttura  $q$  pari a 1.

Poiché le azioni associate ai momenti resistenti dei pilastri sono superiori a quelle di calcolo amplificate di un fattore 1.1, di seguito si considereranno proprio le azioni\*1.1.

Avendo adottato un graticcio di travi le azioni derivanti dai pilastri verranno così suddivise:

- Trave lungo direzione 1 (X) verranno caricate dalle azioni N, M2 ed F1
- Trave lungo direzione 2 (Y) verranno caricate dalle azioni N, M1 ed F2

In cui

F1= taglio in direzione 1 (X)

F2= taglio in direzione 2 (Y)

M1= momento intorno all'asse 1 (X)

M2= momento intorno all'asse 2 (Y)

Per il calcolo delle sollecitazioni all'intradosso si ha:

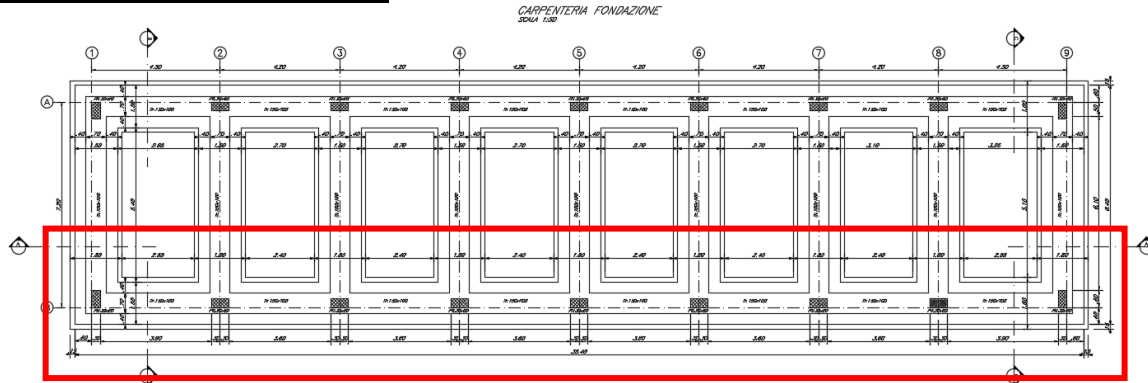
$$M_{1tot} = M_1 - F_2 * h$$

$$M_{2tot} = M_2 + F_1 * h$$

$$F_{3tot} = F_3 + W$$

Tutte le reazioni concorrenti su una trave verranno sommate e divise per la lunghezza della stessa, per ottenere un carico unitario per metro di trave.

Trave in direzione 1 (X) L=35.4m



SLU

| Joint | OutputCase | F1  | F2 | F3  | M1   | M2   |
|-------|------------|-----|----|-----|------|------|
| Text  | Text       | KN  | KN | KN  | KN-m | KN-m |
| 3     | SLU_Q1     | 14  | 0  | 207 | 0    | 27   |
| 5     | SLU_Q1     | -14 | 0  | 208 | 0    | -28  |
| 27    | SLU_Q1     | 19  | 0  | 264 | 0    | 49   |
| 29    | SLU_Q1     | 16  | 0  | 253 | 0    | 38   |
| 31    | SLU_Q1     | 9   | 0  | 254 | 0    | 21   |
| 33    | SLU_Q1     | 2   | 0  | 254 | 0    | 6    |
| 35    | SLU_Q1     | -4  | 0  | 254 | 0    | -10  |
| 37    | SLU_Q1     | -11 | 0  | 254 | 0    | -26  |
| 39    | SLU_Q1     | -18 | 0  | 253 | 0    | -42  |
| 41    | SLU_Q1     | -21 | 0  | 264 | 0    | -53  |

| F1*h |
|------|
| 14   |
| -14  |
| 19   |
| 16   |
| 9    |
| 2    |
| -4   |
| -11  |
| -18  |
| -21  |



RELAZIONE DI CALCOLO FABBRICATO IS/PPM

| COMMESSA | LOTTO | CODIFICA | DOCUMENTO    | REV. | FOGLIO     |
|----------|-------|----------|--------------|------|------------|
| RS3E     | 50    | D 78 CL  | FA 03 00 001 | A    | 105 di 111 |

Si ottiene:

| F1 tot | F2 tot | F3 tot | M1 tot | M2 tot |
|--------|--------|--------|--------|--------|
| -8     | 0      | 3439   | 0      | -25    |

Dividendo sulla lunghezza:

| FL | FB | N  | MB | ML |
|----|----|----|----|----|
| 0  | 0  | 97 | 0  | -1 |

SLV

| Joint | OutputCase | F1 | F2 | F3  | M1   | M2   |
|-------|------------|----|----|-----|------|------|
| Text  | Text       | KN | KN | KN  | KN-m | KN-m |
| 33    | SLV_X1     | 44 | 0  | 195 | 0    | 105  |
| 5     | SLV_X1     | 11 | 0  | 173 | 0    | 26   |
| 27    | SLV_X1     | 42 | 0  | 206 | 0    | 103  |
| 29    | SLV_X1     | 45 | 0  | 195 | 0    | 108  |
| 3     | SLV_X1     | 18 | 0  | 173 | 0    | 37   |
| 31    | SLV_X1     | 44 | 0  | 195 | 0    | 106  |
| 35    | SLV_X1     | 44 | 0  | 195 | 0    | 105  |
| 37    | SLV_X1     | 44 | 0  | 195 | 0    | 106  |
| 39    | SLV_X1     | 45 | 0  | 195 | 0    | 107  |
| 41    | SLV_X1     | 45 | 0  | 206 | 0    | 108  |

Si moltiplicano i valori per 1.1

| Joint | OutputCase | F1 | F2 | F3  | M1   | M2   |
|-------|------------|----|----|-----|------|------|
| Text  | Text       | KN | KN | KN  | KN-m | KN-m |
| 33    | SLV_X1*1.1 | 48 | 0  | 214 | 0    | 115  |
| 5     | SLV_X1*1.1 | 12 | 0  | 191 | 0    | 29   |
| 27    | SLV_X1*1.1 | 46 | 0  | 226 | 0    | 113  |
| 29    | SLV_X1*1.1 | 50 | 0  | 214 | 0    | 118  |
| 3     | SLV_X1*1.1 | 20 | 0  | 191 | 0    | 41   |
| 31    | SLV_X1*1.1 | 49 | 0  | 214 | 0    | 116  |
| 35    | SLV_X1*1.1 | 48 | 0  | 214 | 0    | 115  |
| 37    | SLV_X1*1.1 | 49 | 0  | 214 | 0    | 117  |
| 39    | SLV_X1*1.1 | 49 | 0  | 214 | 0    | 118  |
| 41    | SLV_X1*1.1 | 50 | 0  | 226 | 0    | 119  |

RELAZIONE DI CALCOLO FABBRICATO IS/PPM

| COMMESSA | LOTTO | CODIFICA | DOCUMENTO    | REV. | FOGLIO     |
|----------|-------|----------|--------------|------|------------|
| RS3E     | 50    | D 78 CL  | FA 03 00 001 | A    | 106 di 111 |

| F1*h |
|------|
| 48   |
| 12   |
| 46   |
| 50   |
| 20   |
| 49   |
| 48   |
| 49   |
| 49   |
| 50   |

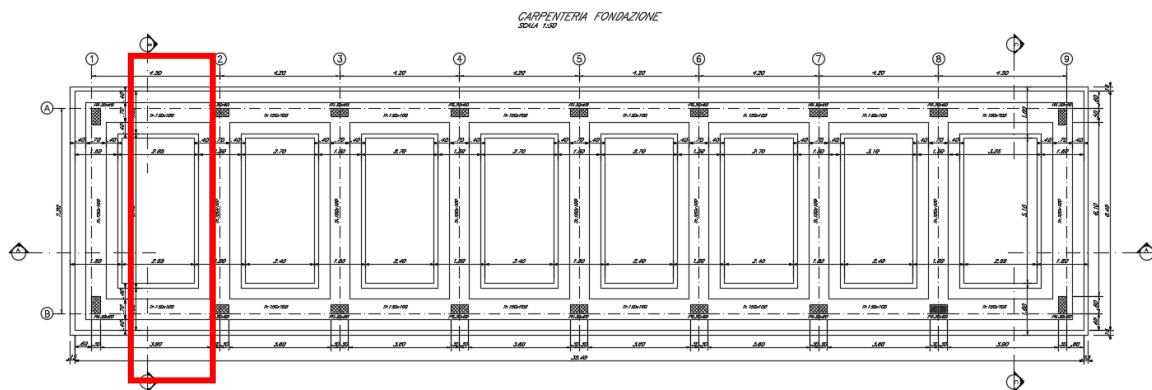
Si ottiene:

| F1 tot | F2 tot | F3 tot | M1 tot | M2 tot |
|--------|--------|--------|--------|--------|
| 421    | 0      | 3093   | 0      | 1422   |

Dividendo sulla lunghezza:

| FL | FB | N  | MB | ML |
|----|----|----|----|----|
| 12 | 0  | 87 | 0  | 40 |

Trave in direzione 2 (Y) L=8.4m



SLU

RELAZIONE DI CALCOLO FABBRICATO IS/PPM

| COMMESSA | LOTTO | CODIFICA | DOCUMENTO    | REV. | FOGLIO     |
|----------|-------|----------|--------------|------|------------|
| RS3E     | 50    | D 78 CL  | FA 03 00 001 | A    | 107 di 111 |

| Joint | OutputCase | F1 | F2  | F3  | M1   | M2   |
|-------|------------|----|-----|-----|------|------|
| Text  | Text       | KN | KN  | KN  | KN-m | KN-m |
| 11    | SLU_Q1     | 0  | -38 | 264 | 55   | 0    |
| 27    | SLU_Q1     | 0  | 38  | 264 | -55  | 0    |

| F2*h |
|------|
| 38   |
| -38  |

Si ottiene:

| F1 tot | F2 tot | F3 tot | M1 tot | M2 tot |
|--------|--------|--------|--------|--------|
| 0      | 0      | 760    | 0      | 0      |

Dividendo sulla lunghezza:

| FB | FL | N  | ML | MB |
|----|----|----|----|----|
| 0  | 0  | 90 | 0  | 0  |

SLV

| Joint | OutputCase | F1 | F2 | F3  | M1   | M2   |
|-------|------------|----|----|-----|------|------|
| Text  | Text       | KN | KN | KN  | KN-m | KN-m |
| 27    | SLV_Y9     | 0  | 54 | 214 | 24   | 0    |
| 11    | SLV_Y9     | 0  | 1  | 214 | 99   | 0    |

Si moltiplicano i valori per 1.1

| Joint | OutputCase | F1   | F2 | F3  | M1   | M2   |
|-------|------------|------|----|-----|------|------|
| Text  | Text       | KN   | KN | KN  | KN-m | KN-m |
| 27    | SLV_Y9*1.1 | 0    | 59 | 235 | 27   | 0    |
| 11    | SLV_Y9*1.1 | 0    | 1  | 235 | 109  | 0    |
| h     | 1          | m    |    |     |      |      |
| pp    | 27.5       | kN/m |    |     |      |      |
| L     | 8.4        | m    |    |     |      |      |
| W     | 231        | kN   |    |     |      |      |

| F2*h |
|------|
| 59   |
| 1    |

Si ottiene:

RELAZIONE DI CALCOLO FABBRICATO IS/PPM

| COMMESSA | LOTTO | CODIFICA | DOCUMENTO    | REV. | FOGLIO     |
|----------|-------|----------|--------------|------|------------|
| RS3E     | 50    | D 78 CL  | FA 03 00 001 | A    | 108 di 111 |

| F1 tot | F2 tot | F3 tot | M1 tot | M2 tot |
|--------|--------|--------|--------|--------|
| 0      | 60     | 702    | 196    | 0      |

Dividendo sulla lunghezza:

| FB | FL | N  | ML | MB |
|----|----|----|----|----|
| 0  | 7  | 84 | 23 | 0  |

Di seguito si riporta la verifica di capacità portante per la combinazione più gravosa per la trave in direzione 1 (X) con  $N_{max}$  e  $M_{2max}$ :

RELAZIONE DI CALCOLO FABBRICATO IS/PPM

| COMMESSA | LOTTO | CODIFICA | DOCUMENTO    | REV. | FOGLIO     |
|----------|-------|----------|--------------|------|------------|
| RS3E     | 50    | D 78 CL  | FA 03 00 001 | A    | 109 di 111 |

**Fondazioni Dirette**  
**Verifica in tensioni totali**

$$q_{lim} = c_u \cdot N_c \cdot s_c \cdot d_c \cdot i_c \cdot b_c \cdot g_c + q \cdot N_q$$

D = Profondità del piano di appoggio

$e_B$  = Eccentricità in direzione B ( $e_B = Mb/N$ )

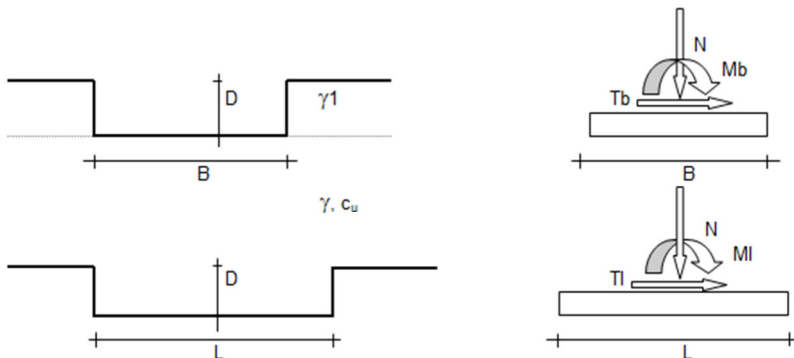
$e_L$  = Eccentricità in direzione L ( $e_L = MI/N$ ) (per fondazione nastriforme  $e_L = 0$ ;  $L^* = L$ )

$B^*$  = Larghezza fittizia della fondazione ( $B^* = B - 2 \cdot e_B$ )

$L^*$  = Lunghezza fittizia della fondazione ( $L^* = L - 2 \cdot e_L$ )

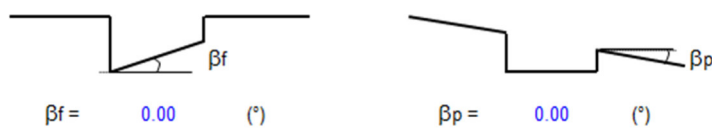
**coefficienti parziali**

| Metodo di calcolo        |          | azioni     |                      | proprietà del terreno | resistenze |       |      |
|--------------------------|----------|------------|----------------------|-----------------------|------------|-------|------|
|                          |          | permanenti | temporanee variabili | $c_u$                 | $q_{lim}$  | scorr |      |
| Stato Limite Ultimo      | A1+M1+R1 | ○          | 1.30                 | 1.50                  | 1.00       | 1.00  | 1.00 |
|                          | A2+M2+R2 | ○          | 1.00                 | 1.30                  | 1.40       | 1.80  | 1.00 |
|                          | SISMA    | ○          | 1.00                 | 1.00                  | 1.40       | 1.80  | 1.00 |
|                          | A1+M1+R3 | ○          | 1.30                 | 1.50                  | 1.00       | 2.30  | 1.10 |
|                          | SISMA    | ○          | 1.00                 | 1.00                  | 1.00       | 2.30  | 1.10 |
| Tensioni Ammissibili     | ●        | 1.00       | 1.00                 | 1.00                  | 1.00       | 3.00  | 3.00 |
| Definiti dal Progettista | ○        | 1.10       | 1.10                 | 1.00                  | 1.00       | 3.00  | 3.00 |



(Per fondazioni nastriformi  $L=100$  m)

B = 1.50 (m)  
L = 35.40 (m)  
D = 1.00 (m)



**AZIONI**

|          | valori di input |            | Valori di calcolo |
|----------|-----------------|------------|-------------------|
|          | permanenti      | temporanee |                   |
| N [kN]   | 0.00            | 164.00     | 164.00            |
| Mb [kNm] | 0.00            | 0.00       | 0.00              |
| MI [kNm] | 0.00            | 59.00      | 59.00             |
| Tb [kN]  | 0.00            | 0.00       | 0.00              |
| TI [kN]  | 0.00            | 18.00      | 18.00             |
| H [kN]   | 0.00            | 18.00      | 18.00             |

Peso unità di volume del terreno

$$\gamma_1 = 19.50 \quad (\text{kN/mc})$$

$$\gamma = 19.50 \quad (\text{kN/mc})$$

Valore caratteristico di resistenza del terreno

$$c_u = 75.00 \quad (\text{kN/mq})$$

$$e_B = 0.00 \quad (\text{m})$$

$$e_L = 0.36 \quad (\text{m})$$

Valore di progetto

$$c_u = 75.00 \quad (\text{kN/mq})$$

$$B^* = 1.50 \quad (\text{m})$$

$$L^* = 34.68 \quad (\text{m})$$

**q : sovraccarico alla profondità D**

$$q = 19.50 \quad (\text{kN/mq})$$

**$\gamma$  : peso di volume del terreno di fondazione**

$$\gamma = 19.50 \quad (\text{kN/mc})$$

**$N_c$  : coefficiente di capacità portante**

$$N_c = 2 + \pi$$

$$N_c = 5.14$$

**$s_c$  : fattori di forma**

$$s_c = 1 + 0,2 B^* / L^*$$

$$s_c = 1.01$$

**$i_c$  : fattore di inclinazione del carico**

$$m_b = (2 + B^* / L^*) / (1 + B^* / L^*) = 1.96$$

$$m_l = (2 + L^* / B^*) / (1 + L^* / B^*) = 1.04$$

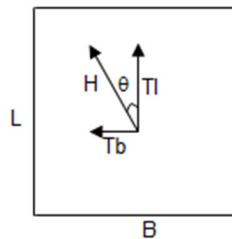
$$\theta = \arctg(T_b/TI) = 0.00 \quad (^\circ)$$

$$m = 1.04$$

( $m=2$  nel caso di fondazione nastriforme e  $m=(m_b \sin^2 \theta + m_l \cos^2 \theta)$  in tutti gli altri casi)

$$i_c = (1 - m H / (B^* L^* c_u N_c))$$

$$i_c = 1.00$$



RELAZIONE DI CALCOLO FABBRICATO IS/PPM

| COMMESSA | LOTTO | CODIFICA | DOCUMENTO    | REV. | FOGLIO     |
|----------|-------|----------|--------------|------|------------|
| RS3E     | 50    | D 78 CL  | FA 03 00 001 | A    | 111 di 111 |

$d_c$  : fattore di profondità del piano di appoggio

per  $D/B^* \leq 1$ ;  $d_c = 1 + 0,4 D / B^*$

per  $D/B^* > 1$ ;  $d_c = 1 + 0,4 \arctan (D / B^*)$

$$d_c = 1.27$$

$b_c$  : fattore di inclinazione base della fondazione

$$b_c = (1 - 2 \beta_f / (\pi + 2)) \quad \beta_f + \beta_p = 0.00 \quad \beta_f + \beta_p < 45^\circ$$

$$b_c = 1.00$$

$g_c$  : fattore di inclinazione piano di campagna

$$g_c = (1 - 2 \beta_f / (\pi + 2)) \quad \beta_f + \beta_p = 0.00 \quad \beta_f + \beta_p < 45^\circ$$

$$g_c = 1.00$$

*Carico limite unitario*

$$q_{lim} = 511.56 \quad (\text{kN/m}^2)$$

*Pressione massima agente*

$$q = N / B^* L^*$$

$$q = 3.15 \quad (\text{kN/m}^2)$$

Verifica di sicurezza capacità portante

$$q_{lim} / \gamma_R = 170.52 \geq q = 3.15 \quad (\text{kN/m}^2)$$

VERIFICA A SCORRIMENTO

Carico agente

$$H_d = 18.00 \quad (\text{kN})$$

Azione Resistente

$$S_d = c_u B^* L^*$$

$$S_d = 3901.55 \quad (\text{kN})$$

Verifica di sicurezza allo scorrimento

$$S_d / \gamma_R = 1300.52 \geq H_d = 18.00 \quad (\text{kN})$$